

# อภินันทนาการ

รายงานการวิจัย

เรื่อง



สำนักหอสมุด

## การออกแบบตัวแปลงสัญญาณรีโซลเวอร์เป็นสัญญาณเดซิบิลโดยใช้วงจร สังเคราะห์อาร์คไซน์แบบไฮโอดีเป็นพื้นฐานในการออกแบบ

Design of Resolver-to-DC Converter

Using OTA-Based  $\sin^{-1}$  Function Circuit

สำนักหอสมุด มหาวิทยาลัยแม่ฟ้า
วันลงทะเบียน... ๒๕ JUL ๒๐๑๑...
เลขทะเบียน... ๑๖๖๙๙๕๗
เดือนเก็บหนังสือ... ๒ พ.ศ.
๑๔๗๘
๑๙๕๐

อนุชา แก้วพูลสุข

ANUCHA KAEWPOONSUK

ภาควิชาฟิสิกส์ คณะวิทยาศาสตร์ มหาวิทยาลัยแม่ฟ้า  
โครงการวิจัยเงินอุดหนุนรายได้คณะวิทยาศาสตร์ ประจำปีงบประมาณ ๒๕๕๐

## กิตติกรรมประกาศ

การศึกษาวิจัยในครั้งนี้สำเร็จฉลุล่วงด้วยดี โดยได้รับการสนับสนุนจากกองทุนอุดหนุนโครงการวิจัย เงินอุดหนุนรายได้คณะวิทยาศาสตร์ มหาวิทยาลัยนเรศวร ประจำปีงบประมาณ 2550 ซึ่งข้าพเจ้าขอขอบพระคุณมา ณ โอกาสนี้ และขอขอบคุณภาควิชาฟิสิกส์ คณะวิทยาศาสตร์ที่ได้ให้การส่งเสริมสนับสนุนกระบวนการเผยแพร่ความรู้ของบุคลากรอย่างจริงจัง

อนุชา แก้วพูลสุข  
หัวหน้าโครงการวิจัย

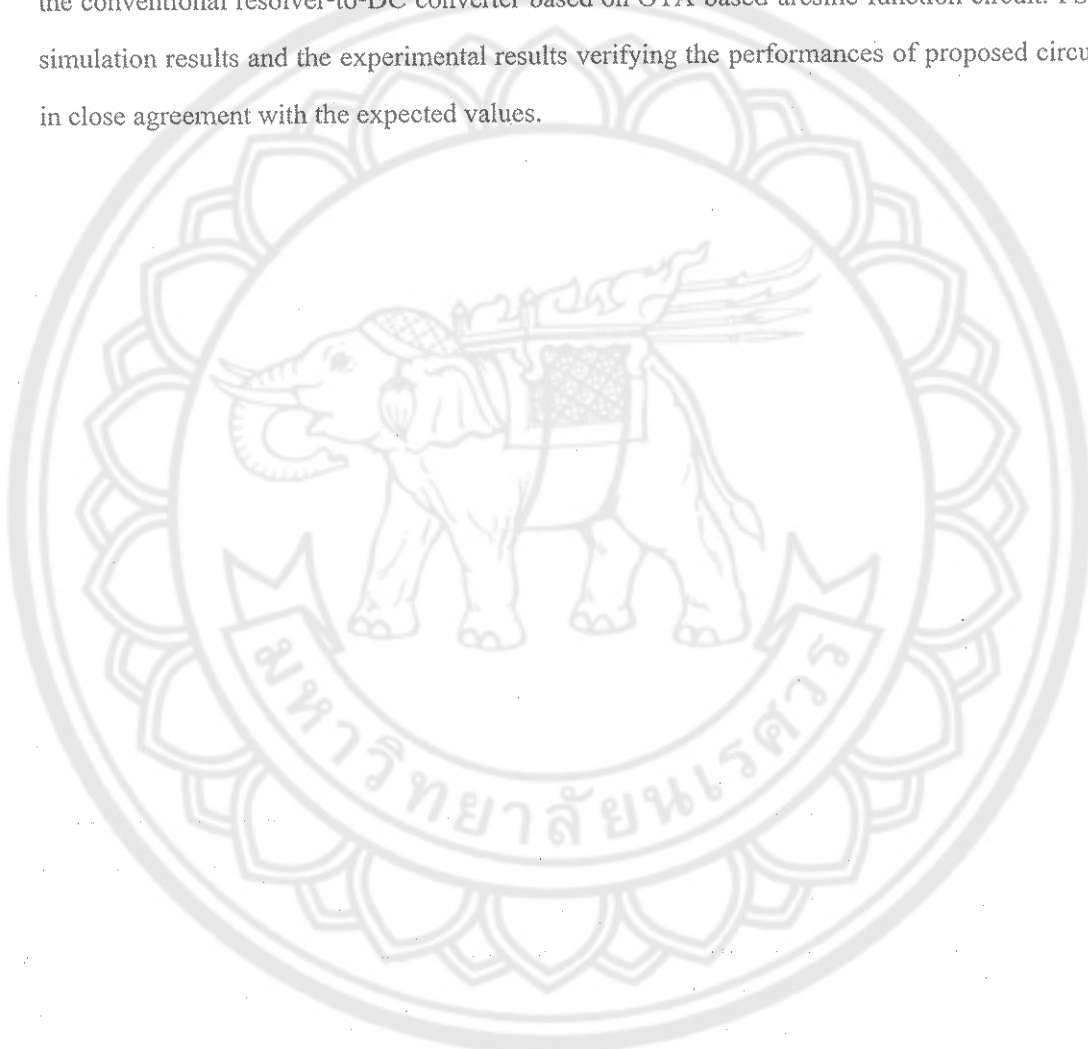


บทคัดย่อ

ในโครงการวิจัยนี้เป็นการพัฒนาออกแบบตัวแปลงสัญญาณรีโซลเวอร์เป็นสัญญาณดิจิทัลแบบที่ใช้งานโดยที่เอกสารรับสั่งเคราะห์ฟังก์ชันอาร์คไซน์แบบใหม่ โครงสร้างของตัวแปลงสัญญาณที่ได้พัฒนาออกแบบขึ้นประกอบด้วยวงจรดีมอนดูเลเตอร์ วงจรหาค่าสัมบูรณ์ วงจรหาค่าต่ำสุด วงจรขยาย  $\pm 1$  เท่า วงจรสร้างสัญญาณถอดจิกควบคุม และวงจรสั่งเคราะห์ฟังก์ชันอาร์คไซน์แบบที่ใช้ไอทีເອเป็นพื้นฐานในการออกแบบ ซึ่งจากเทคนิคดังกล่าวนี้จะทำให้ได้ตัวแปลงสัญญาณรีโซลเวอร์เป็นสัญญาณดิจิทัลที่มีความเป็นเชิงเส้นอย่างถูกต้องกับค่ามุนเเกenh มุนของรีโซลเวอร์ โดยมีค่าความผิดพลาดสูงสุดตลอดช่วงการทำงานประมาณ  $\pm 0.195\%$  ซึ่งเป็นค่าต่ำกว่าหลักการเดิมที่ใช้ไอทีເອสำหรับสั่งเคราะห์ฟังก์ชันอาร์คไซน์ซึ่งได้เคยมีการนำเสนอไว้ การทดสอบและการยืนยันถึงคุณสมบัติการทำงานของตัวแปลงสัญญาณที่นำเสนอในเบื้องต้นได้ใช้โปรแกรม PSPICE เลียนแบบการทำงาน ต่อจากนั้นได้ใช้วิธีต่อวงจรลงบนบอร์ดทดลองจริง ซึ่งจากการทดสอบการทำงานสามารถยืนยันได้ว่าหลักการที่นำเสนอสามารถใช้งานได้จริง

## ABSTRACT

In this project, a new technique for realization of the resolver-to-DC converter based on the OTA-based arcsine function circuit is proposed. The proposed converter comprises of demodulator, absolute detector, minimum detector,  $\pm$  unity-gain amplifier, control signals logic circuit and OTA-based arcsine function circuit. The output signal voltage is linearly proportional to the resolver angle with maximum absolute error of about 0.195%, which is less than error from the conventional resolver-to-DC converter based on OTA-based arcsine function circuit. PSPICE simulation results and the experimental results verifying the performances of proposed circuit are in close agreement with the expected values.



# สารบัญ

	หน้า
กิตติกรรมประกาศ .....	I
บทคัดย่อภาษาไทย.....	II
บทคัดย่อภาษาอังกฤษ.....	III
สารบัญ .....	IV
สารบัญตาราง.....	VI
สารบัญรูป .....	VII
บทที่ 1 บทนำ .....	1
1.1 ความเป็นมาและความสำคัญของปัจจุบัน.....	1
1.2 วัตถุประสงค์ของโครงการวิจัย .....	2
1.3 ทฤษฎีหรือแนวคิดที่ใช้ในการทำโครงการวิจัย .....	2
1.4 ขอบเขตของโครงการวิจัย .....	3
1.5 รายละเอียดของรายงานการวิจัย .....	3
บทที่ 2 ทฤษฎีและงานวิจัยที่เกี่ยวข้อง.....	5
2.1 หลักการทำงานของรีไซล์เวอร์.....	5
2.2 ตัวแปลงสัญญาณรีไซล์เวอร์ในอดีต.....	9
2.3 วงจรสั่งเคราะห์ฟังก์ชันอาร์ไซน์ แบบใช้ไอทีເອີ້ນພື້ນຖານໃນการອອກແບນ .....	15
2.4 สรุป .....	23
บทที่ 3 การปรับปรุงความถูกต้องของวงจรสั่งเคราะห์ฟังก์ชันอาร์ไซน์ แบบใช้ไอทีເອີ້ນພື້ນຖານໃນการອອກແບນ .....	24
3.1 การวิเคราะห์หาค่าพารามิเตอร์ที่เหมาะสม ของวงจรสั่งเคราะห์วงจรสั่งเคราะห์ฟังก์ชันอาร์ไซน์ .....	24
3.2 ผลการวิเคราะห์หาค่าพารามิเตอร์ที่เหมาะสม ของวงจรสั่งเคราะห์วงจรสั่งเคราะห์ฟังก์ชันอาร์ไซน์ .....	26
3.3 การเลียนแบบและผลการเลียนแบบการทำงานของวงจรด้วยโปรแกรม PSPICE .....	29
3.4 การทดสอบและผลการทดสอบการทำงานของวงจร โดยการต่อวงจรจริง .....	34
3.5 สรุป .....	37

# สารบัญ (ต่อ)

หน้า

บทที่ 4 การออกแบบตัวแปลงสัญญาณรีโซลเวอร์เป็นสัญญาณดิจิทัล	39
4.1 หลักการเบื้องต้นของตัวแปลงสัญญาณรีโซลเวอร์เป็นสัญญาณดิจิทัล	39
4.2 วงจรดิจิตอลดูเลเตอร์	44
4.3 วงจรขยาย $\pm 1$ เท่า	46
4.4 วงจรสร้างสัญญาณลองจิกควบคุม	49
4.5 วงจรแปลงสัญญาณรีโซลเวอร์เป็นสัญญาณดิจิทัล และการทดสอบการทำงานของวงจร	51
4.6 ผลการทดสอบการทำงานและการวิเคราะห์	53
4.7 สรุป	57
บทที่ 5 บทสรุปและวิจารณ์	58
5.1 บทสรุปและวิจารณ์	58
5.2 ข้อเสนอแนะและแนวทางในการทำวิจัยต่อ	58
เอกสารอ้างอิง	60
ภาคผนวก	63
ภาคผนวก ก. การวิเคราะห์ความล้มเหลวที่ระหว่างค่ากระแส负载 $I_o$ กับค่าแรงดันอินพุต $V_{in}$ ของวงจรโอลีโอดิจิตอล	64
ภาคผนวก ข. การวิเคราะห์หาคุณสมบัติการทำงานของวงจรสังเกตระบบฟังก์ชันอาร์คไซน์	68
ภาคผนวก ค. ตัวอย่าง Source code ที่ใช้สำหรับการวิเคราะห์วิเคราะห์หาค่าพารามิเตอร์ $K_T$	72
ภาคผนวก ง. บทความวิจัยที่ได้เผยแพร่	73
ภาคผนวก จ. ประวัติผู้วิจัย	82

# สารบัญตาราง

ตารางที่

หน้า

4.1 ความสัมพันธ์ระหว่างสัญญาณอิจิกความคุณ  $Q_s$ ,  $Q_c$  และ  $Q_m$  กับค่ามุมแกนหมุน  $\theta$  ..... 49



# สารบัญรูป

รูปที่	หน้า
2.1 รีไซลเวอร์.....	6
2.2 ขดลวดภายในและวงจรสมอ่อนของรีไซลเวอร์ .....	7
2.3 สัญญาณ $V_{ex}$ , $V_{st}$ และ $V_2$ ของรีไซลเวอร์.....	9
2.4 ตัวแปลงสัญญาณรีไซลเวอร์โดยใช้เทคนิคแบบเฟลต์อกลุป .....	10
2.5 ตัวแปลงสัญญาณรีไซลเวอร์โดยใช้เทคนิคแบบการเปิดตาราง .....	11
2.6 ตัวแปลงสัญญาณรีไซลเวอร์โดยใช้เทคนิคการกลับสถานะการทำงาน ของโรเตอเร่อและสเตเตอเร่อ .....	12
2.7 ตัวแปลงสัญญาณรีไซลเวอร์โดยใช้เทคนิคแบบการนำสัญญาณสเตเตอเร้มานับกัน และใช้วงจรชุดเชยความผิดพลาด.....	13
2.8 ตัวแปลงสัญญาณรีไซลเวอร์โดยใช้ไอทีเอสั้นเคราะห์ฟังก์ชันอาร์คไซน์.....	14
2.9 วงจรไอทีเอ .....	16
2.10 วงจรสั้นเคราะห์ฟังก์ชันอาร์คไซน์แบบใช้ไอทีเอเป็นพื้นฐานในการออกแบบ.....	17
2.11 ผลการทดสอบคุณสมบัติทางคีซีของวงจรสั้นเคราะห์ฟังก์ชันอาร์คไซน์ .....	21
2.12 สัญญาณอินพุตและสัญญาณเอาต์พุตของวงจรสั้นเคราะห์ฟังก์ชันอาร์คไซน์ .....	22
3.1 วงจรสั้นเคราะห์ฟังก์ชันอาร์คไซน์ต่อร่วมกับวงจรตามแรงดัน .....	24
3.2 ผลการวิเคราะห์หาค่าพารามิเตอร์ $K_T$ ที่เหมาะสม ณ ช่วงปฏิบัติการ $V_{in}/I_{B2}R_{st}$ มีค่าเท่ากับ 0 ถึง 1.....	27
3.3 ผลการวิเคราะห์หาค่าพารามิเตอร์ $K_T$ ที่เหมาะสม ณ ช่วงปฏิบัติการ $V_{in}/I_{B2}R_{st}$ มีค่าเท่ากับ 0 ถึง 0.707 .....	28
3.4 ผลการทดสอบคุณสมบัติทางคีซีของวงจร จากการเลียนแบบการทำงาน ในช่วงแรงดันอินพุต $V_{in}$ มีค่าเท่ากับ 0 V ถึง 1 V.....	30
3.5 ผลการทดสอบคุณสมบัติทางคีซีของวงจร จากการเลียนแบบการทำงาน ในช่วงแรงดันอินพุต $V_{in}$ มีค่าเท่ากับ 0 V ถึง 0.8 V.....	31
3.6 วงจรอ่าค่าสัมบูรณ์ต่อร่วมกับวงจรอ่าค่าต่ำสุด .....	32
3.7 ผลการทดสอบวงจรด้วยสัญญาณไขนูชอยด์ จากการเลียนแบบการทำงาน .....	33
3.8 ผลการทดสอบคุณสมบัติทางคีซีของวงจร จากการต่อวงจรบนบอร์ดทดลอง ในช่วงแรงดันอินพุต $V_{in}$ มีค่าเท่ากับ -1 V ถึง 1 V .....	35

## สารบัญรูป (ต่อ)

รูปที่	หน้า
3.9 ผลการทดสอบคุณสมบัติทางดีซีของวงจร จากการต่อวงจรบนบอร์ดทดลอง ในช่วงแรงดันอินพุต $V_{in}$ มีค่าเท่ากับ 0 V ถึง 1 V .....	35
3.10 ผลการทดสอบการทำงานของวงจร เมื่ออินพุตเป็นสัญญาณแรงดันรูปสามเหลี่ยม ที่มีแอมเพลจิตูดเท่ากับ 1 V ความถี่เท่ากับ 50 Hz .....	36
3.11 ผลการทดสอบการทำงานของวงจร เมื่ออินพุตเป็นสัญญาณแรงดันรูปไอน์ ที่มีแอมเพลจิตูดเท่ากับ 1 V ความถี่เท่ากับ 50 Hz .....	36
3.12 ผลการทดสอบการทำงานของวงจร เมื่อสัญญาณแรงดันอินพุต ถูกจำกัดให้อยู่ในช่วง 0 V ถึง 0.707 V .....	37
4.1 บล็อกໄ/doze แกรมของตัวแปลงสัญญาณรีไซลิเวอร์เป็นสัญญาณดีซี .....	39
4.2 สัญญาณที่สำหรับตัวแปลงสัญญาณรีไซลิเวอร์ .....	40
4.3 วงจรดีมอคูลิเตอร์ .....	44
4.4 วงจรขยาย $\pm 1$ เท่า .....	48
4.5 ความสัมพันธ์ระหว่างสัญญาณคลอกิกวนคุณ $Q_{out}$ กับสัญญาณอินๆ .....	50
4.6 วงจรแปลงสัญญาณรีไซลิเวอร์เป็นสัญญาณดีซีที่ใช้ทดสอบการทำงาน .....	52
4.7 ผลการเลียนแบบการทำงานของวงจรแปลงสัญญาณรีไซลิเวอร์เป็นสัญญาณดีซี .....	53
4.8 ผลการทำงานของวงจรแปลงสัญญาณรีไซลิเวอร์เป็นสัญญาณดีซี .....	54
ก1 วงจรภายในและสัญลักษณ์วงจรโดยทั่วไป .....	64
ข1 การวิเคราะห์หาค่า $V_x$ และ $I_{in}$ .....	68

บทที่ 1

លេខ៖

## 1.1 ความเป็นมาและความสำคัญของปั้นหยุห์

รีไซลิเวอร์เป็นทรานส์ดิวเตอร์ (transducer) ใช้สำหรับวัดค่าความเร็วและตำแหน่งมุนแกนหมุนของอุปกรณ์ที่มีแกนหมุน ตัวอย่างเช่น มอเตอร์ และเพลาของเครื่องจักรกล เป็นต้น [1-3] การทำงานของรีไซลิเวอร์มีความถูกต้องแม่นยำและเป็นที่น่าเชื่อถือสำหรับการเก็บข้อมูลในสถานที่ที่มีห้องอุ่นหรือฟูนลั่อม หรือแม้แต่ในสภาพที่มีความสั่นสะเทือน ทำให้รีไซลิเวอร์ถูกนำไปประยุกต์ใช้ในงานต่างๆ อย่างกว้างขวาง เช่น ในระบบหุ้นยนต์ เครื่องมือกล ระบบดาวเทียม เสาอากาศในระบบเคราร์ ในปีกเครื่องบิน และในรถถัง [19] ปกติรูปร่างของรีไซลิเวอร์จะถูกดัดแปลงตามความต้องการ เช่น ออกแบบให้สามารถสัมผัสระหว่างชุดคลาวด์ rotor (rotor) และสเตเตอร์ (stator) ผันแปรไปตามค่ามุนแกนหมุนของรีไซลิเวอร์ การประยุกต์ใช้งานโดยทั่วไปส่วนใหญ่มักกำหนดให้คลาวด์ rotor เป็นชุดคลาวด์ปั๊มน้ำมันและใช้สัญญาณไซนุซoidal (sinusoidal) เป็นตัวกระตุ้น ผลที่ได้คือตัวรีไซลิเวอร์จะให้สัญญาณแรงดันเอาร์พุตออกมาน้ำที่ชุดคลาวด์สเตเตอร์ ซึ่งมีอยู่สองข้อดึงตัวทั้งจากกัน โดยชุดคลาวด์แรงดันจะเป็นสัญญาณที่อยู่ในรูปของฟังก์ชันไซน์ (sine) ค่ามุนแกนหมุนของรีไซลิเวอร์คุณอยู่กับสัญญาณแรงดันกระตุ้น จากคุณสมบัติดังกล่าวนี้จะเห็นได้ว่าสัญญาณแรงดันเอาร์พุตที่ได้จากการรีไซลิเวอร์ไม่เป็นเชิงเส้นกับค่ามุนของแกนหมุน ดังนั้นการนำรีไซลิเวอร์ไปประยุกต์ใช้งานจึงจำเป็นต้องใช้งานร่วมกับอุปกรณ์หรือวงจรซึ่งทำหน้าที่แปลงสัญญาณเอาร์พุตที่ได้จากการรีไซลิเวอร์ให้เป็นเชิงเส้นกับค่ามุนของแกนหมุน โดยอุปกรณ์หรือวงจรดังกล่าวมีชื่อว่าresolver converter ที่ผ่านมา กวิจัยในต่างประเทศมีการศึกษาวิจัยเพื่อพัฒนาอุปกรณ์ที่แปลงสัญญาณรีไซลิเวอร์ซึ่งมีทั้งการนำเสนองานการออกแบบฝาทางการสารวิชาการ และการจดสิทธิบัตรสำหรับการผลิตเป็นวงจรรวมหรือไอซีเพื่อประโยชน์ทั่วโลก [1-22]

ในโครงการนี้ได้ทำการศึกษาและพัฒนาปรับปรุงการออกแบบตัวแปลงสัญญาณเริ่มต้นเป็นสัญญาณดิจิทัลที่ใช้โอดิโอทีเดสังเคราะห์าร์คใหม่ โดยมุ่งเน้นให้เจ้าตัวหลักของตัวแปลงสัญญาณเริ่มต้นเป็นสัญญาณอนาล็อกที่มีความเป็นเชิงเส้นอย่างถูกต้องกับค่ามุมของแกนหมุนของเริ่มต้น

## 1.2 วัตถุประสงค์ของโครงการนิจัย

- พัฒนาปรับปรุงและวิเคราะห์หาค่าพารามิเตอร์ต่าง ๆ ที่เหมาะสมของชรสังเคราะห์ฟังก์ชันอาร์คไซน์แบบที่ใช้อิโอทีเอเป็นพื้นฐานในการออกแบบ เพื่อทำให้วงจรดักล่ารสามารถทำงานในช่วงปฏิบัติการที่กำหนด โดยมีความถูกต้องแม่นยำขึ้น
- พัฒนาออกแบบตัวเปล่งสัญญาณรีโซลเวอร์เป็นสัญญาณดิจิทัลโดยใช้วงจรสังเคราะห์ฟังก์ชันอาร์คไซน์เป็นส่วนประกอบหนึ่ง โดยมุ่งเน้นที่การปรับปรุงความถูกต้องในการทำงานเมื่อเปรียบเทียบกับหลักการเดิม

## 1.3 ทฤษฎีหรือแนวคิดที่ใช้ในการทำโครงการนิจัย

แนวคิดในการออกแบบวงจรสังเคราะห์ฟังก์ชันอาร์คไซน์ที่ใช้อิโอทีเอเป็นพื้นฐานในการออกแบบ [23] เป็นหลักการใหม่ที่ค่อนข้างเรียนง่าย มีความสะดวกสำหรับการพัฒนาสร้างขึ้นเพื่อใช้งาน หลักการของการออกแบบวงจรสังเคราะห์ฟังก์ชันอาร์คไซน์ดังกล่าวนี้เป็นการอาศัยคุณสมบัติที่เป็นฟังก์ชันไฮเปอร์โบลิก-แทนเจนต์ (hyperbolic-tangent) ของวงจรคู่ผลต่าง (differential pair) แบบใบโพลาร์ทรายซิสเตอร์ซึ่งประกอบอยู่ภายใน อิโอทีเอ พร้อมทั้งอาศัยหลักการประมาณค่าของฟังก์ชันที่ได้สังเคราะห์ขึ้นให้มีค่าใกล้เคียงกับฟังก์ชันอาร์คไซน์ที่ต้องการ โดยที่ผ่านมาได้มีการนำเสนอการออกแบบตัวเปล่งสัญญาณรีโซลเวอร์เป็นสัญญาณดิจิทัลโดยใช้วงจรสังเคราะห์ฟังก์ชันอาร์คไซน์เป็นส่วนประกอบ [22] โดยได้นำมาต่อร่วมกับวงจรดีมอคุเลเตอร์ วงจรเปล่งสัญญาณรูปสามเหลี่ยมเป็นสัญญาณรูปฟินแล็ป และวงจรสร้างสัญญาณลองจิกควบคุม ทั้งนี้ในงานนิจัยดังกล่าวได้ใช้วิธีการนำสัญญาณที่ได้จากการดีมอคุเลเตอร์ไปผ่านวงจรสังเคราะห์ฟังก์ชันอาร์คไซน์โดยตรง พร้อมทั้งได้ออกแบบและกำหนดพารามิเตอร์ต่าง ๆ ให้กับวงจรสังเคราะห์ฟังก์ชันอาร์คไซน์ให้สามารถรองรับช่วงปฏิบัติการได้เท่ากับมุม  $\pm \pi/2$  เ雷เดียน และถือว่าค่าผิดพลาดสูงสุดของตัวเปล่งสัญญาณรีโซลเวอร์เป็นสัญญาณดิจิทัลนี้ค่าเท่ากับค่าผิดพลาดสูงสุดของวงจรสังเคราะห์ฟังก์ชันอาร์คไซน์ซึ่งมีค่าเท่ากับ 0.92 เปอร์เซ็นต์

ในงานนิจัยนี้ได้ทำการออกแบบตัวเปล่งสัญญาณรีโซลเวอร์เป็นสัญญาณดิจิทัลแบบที่ใช้อิโอทีเอสังเคราะห์ฟังก์ชันอาร์คไซน์เป็นส่วนประกอบหนึ่ง นั่นเน้นที่การปรับปรุงความถูกต้องในการทำงานของตัวเปล่งสัญญาณโดยใช้วิธีการจำคัดขนาดของสัญญาณก่อนที่จะนำไปป้อนเป็นอินพุตให้กับวงจรสังเคราะห์ฟังก์ชันอาร์คไซน์ ทำให้สามารถออกแบบและกำหนดพารามิเตอร์ต่าง ๆ ให้กับวงจรสังเคราะห์ฟังก์ชันอาร์คไซน์ค่าใหม่ ซึ่งจะมีผลทำให้การทำงานของวงจรสังเคราะห์ฟังก์ชันอาร์คไซน์และตัวเปล่งสัญญาณรีโซลเวอร์เป็นสัญญาณดิจิทัลนี้มีความถูกต้องแม่นยำขึ้น

## 1.4 ขอบเขตของโครงการวิจัย

- การออกแบบตัวแปลงสัญญาณรีไซล์เวอร์เป็นสัญญาณดิจิทัลภายในโครงการวิจัยนี้ ใช้ วงจรสังเคราะห์ฟังก์ชันอาร์คไซน์เป็นส่วนประกอบหลัก โดยวงจรสังเคราะห์ฟังก์ชัน อาร์คไซน์ดังกล่าวใช้โอลีโอเป็นพื้นฐานในการออกแบบ
- สัญญาณเอาต์พุตหลักของตัวแปลงสัญญาณรีไซล์เวอร์จะอยู่ในรูปของสัญญาณอนาล็อก ที่มีความเป็นเชิงเส้นแบบเป็นช่วงกับค่ามุมแกนหมุนกับรีไซล์เวอร์ โดยมีสัญญาณ ดิจิตอลเป็นสัญญาณที่ช่วยระบุช่วงบูรณาการต่าง ๆ ของค่ามุมแกนหมุน

## 1.5 รายละเอียดของรายงานการวิจัย

ในรายงานวิจัยนี้ได้แบ่งเนื้อหาออกเป็น 5 บทและภาคผนวกอีก 4 ภาค ซึ่งมีรายละเอียด ดังต่อไปนี้

**บทที่ 1 ศึกษาพื้นฐาน** ซึ่งเป็นการกล่าวถึงความเป็นมาและความสำคัญของปัญหา วัตถุประสงค์ของงานวิจัย ทฤษฎีหรือแนวคิดที่ใช้ในการทำวิจัย ขอบเขตของงานวิจัย และ รายละเอียดของรายงานวิจัยในแต่ละบท

**บทที่ 2 กล่าวถึงทฤษฎีและงานวิจัยที่เกี่ยวข้อง** ซึ่งได้แก่หลักการทำงานของรีไซล์เวอร์ หลักการทำงานของตัวแปลงสัญญาณรีไซล์เวอร์ที่สำคัญซึ่งได้เคยมีการนำเสนอไว้ในอดีต ต่อมาก็ขยายถึงหลักการของวงจรสังเคราะห์ฟังก์ชันอาร์คไซน์แบบที่ใช้โอลีโอเป็นพื้นฐานในการออกแบบ สุดท้ายเป็นการสรุปท้ายบท

**บทที่ 3 กล่าวถึงการปรับปรุงความถูกต้องในการทำงานของวงจรสังเคราะห์ฟังก์ชันอาร์คไซน์แบบที่ใช้โอลีโอเป็นพื้นฐาน** ในการออกแบบ การวิเคราะห์หาค่าพารามิเตอร์ต่างๆ ที่เหมาะสม ผลการวิเคราะห์ การเลียนแบบการทำงานของวงจรด้วยโปรแกรม PSPICE การทดสอบและการ ทดสอบการทำงานของวงจรด้วยวิธีการต่อวงจรจริง และการสรุปสิ่งท้ายบท

**บทที่ 4 กล่าวถึงการออกแบบตัวแปลงสัญญาณรีไซล์เวอร์เป็นสัญญาณดิจิทัลภายในงานวิจัย** โดยเรียงลำดับจากหลักการเบื้องต้น และวงจรกลุ่มย่อยต่าง ๆ ที่ใช้ได้แก่ วงจรคีมอยด์ เทอร์ วงจรขยาย ± 1 เท่า วงจรสร้างสัญญาณลองจิคบุคุม ในลำดับต่อมาก็ขยายถึงการทดสอบการทำงาน ของวงจร ผลการทดสอบและการวิเคราะห์ สุดท้ายเป็นการสรุปสิ่งท้ายบท

**บทที่ 5 เป็นการสรุปและวิเคราะห์ผลการศึกษาวิจัย** ข้อดีและข้อเสียของตัวแปลงสัญญาณรีไซล์เวอร์ที่ได้พัฒนาออกแบบขึ้น ข้อเสนอแนะและแนวทางในการทำวิจัยต่อ

ในส่วนท้ายของรายงานวิจัยจะเป็นภาคผนวกซึ่งจะรวมการวิเคราะห์สมการต่าง ๆ ของแต่ละบทเอาไว้ และรายละเอียดของบทความวิจัยที่ได้รับการเผยแพร่ โดยมีรายละเอียดดังต่อไปนี้

ภาคผนวก ก เป็นการวิเคราะห์ความสัมพันธ์ระหว่างค่ากระแทกพืด  $I_0$  กับค่าแรงดันอินพุต  $N_m$  ของวงจรโอทีเอ

ภาคผนวก ข เป็นการวิเคราะห์หาคุณสมบัติการทำงานของวงจรตั้งเคราะห์ฟังก์ชันอาร์คไซน์แบบที่ใช้โอทีเอเป็นพื้นฐานในการออกแบบ

ภาคผนวก ก เป็นตัวอย่าง Source code ที่ใช้สำหรับการวิเคราะห์วิเคราะห์หากำเพร้ามิเตอร์  $K_T$

ภาคผนวก ง แสดงบทความวิจัยที่ได้เผยแพร่

ภาคผนวก จ ประวัติผู้วิจัย



## บทที่ 2

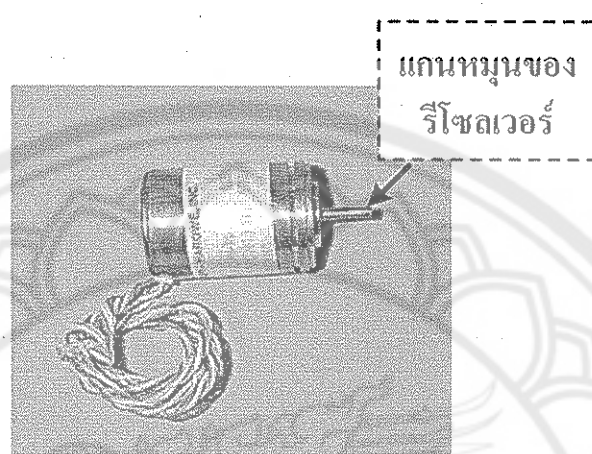
### ทฤษฎีและงานวิจัยที่เกี่ยวข้อง

ในงานวิจัยนี้เป็นการศึกษาและวิจัยพัฒนาออกแบบตัวแปลงสัญญาณรีไซล์เวอร์เป็นสัญญาณดิจิทัลแบบที่ใช้โดยอิสระที่ฟังก์ชันอาร์คไซน์แบบใหม่ ดังนั้นเพื่อใช้เป็นแนวทางในการศึกษาในบทนี้จึงเป็นการอธิบายถึงทฤษฎีและงานวิจัยที่เกี่ยวข้องซึ่งได้แก่ หลักการทำงานของรีไซล์เวอร์ และหลักการของตัวแปลงสัญญาณรีไซล์เวอร์ที่เกี่ยมกับการนำเสนอไว้รวมทั้งหลักการของวงจรลังแคระห์ฟังก์ชันอาร์คไซน์แบบที่ใช้โดยเป็นพื้นฐานในการออกแบบ

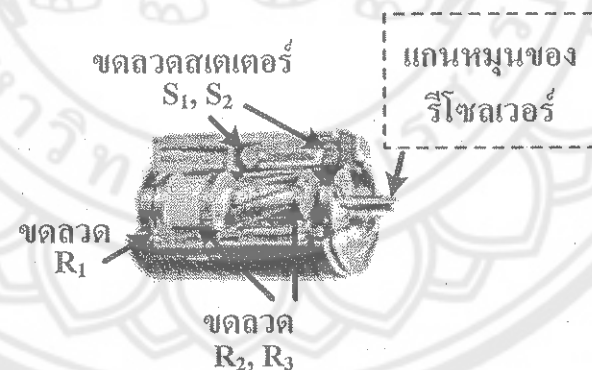
#### 2.1 หลักการทำงานของรีไซล์เวอร์ [1-4]

รีไซล์เวอร์เป็นทรานส์ฟอร์มเมอร์ที่ใช้สำหรับการวัดตำแหน่งหมุนของแกนหมุน ในรูปที่ 2.1 แสดงรูปของรีไซล์เวอร์โดยจะเห็นได้ว่ามีรูปร่างคล้ายกับบันдолเตอร์ขนาดเล็ก การประยุกต์ใช้งานสามารถทำได้โดยการต่อแกนหมุนของอุปกรณ์ที่ต้องการวัดหมุนเข้ากับแกนหมุนของรีไซล์เวอร์หรืออาจใช้กลไกเช่นเพียงหรือสายพานเป็นตัวกลางขับเคลื่อน รูปที่ 2.2(ก) และภาพคลื่นภายในเพื่อใช้อธิบายถึงหลักการทำงานของรีไซล์เวอร์ ซึ่งสามารถอธิบายได้ดังนี้คือ เมื่อทำการป้อนสัญญาณแรงดันกระแสต้น  $V$ , ที่เป็นสัญญาณไขนูซอยค์ให้กับขดลวด  $R_1$  จะทำให้เกิดกระแสหนึ่งวนไหลในขดลวด  $R_2$  และ  $R_3$  ซึ่งสามารถเคลื่อนที่หมุนได้เนื่องจากถูกยึดติดไว้กับแกนหมุนของรีไซล์เวอร์ ขดลวด  $R_3$  จะทำให้เกิดกระแสหนึ่งวนไหลและเกิดเป็นแรงดันต่อกรุ่นขดลวด  $S_1$  และ  $S_2$  โดยขนาดแอมเพลจูด (amplitude) ของสัญญาณที่ปรากฏบนขดลวด  $S_1$  และ  $S_2$  จะขึ้นอยู่กับตำแหน่งหมุนของขดลวด  $R_3$  ที่ทำกับ  $S_1$  และ  $S_2$  หรือกล่าวได้ว่าขึ้นอยู่กับตำแหน่งหมุนแกนหมุนของรีไซล์เวอร์ จากลักษณะการส่งผ่านสัญญาณผ่านขดลวดตัวกลาง  $R_2$  และ  $R_3$  ซึ่งสามารถเคลื่อนที่หมุนได้เนื่องจากลักษณะคล้ายกับเป็นหม้อแปลงที่มีขดลวดค้านหนึ่งสามารถหมุนได้ (rotary transformer) ในส่วนของขดลวด  $S_1$  และ  $S_2$  เนื่องจากถูกออกแบบให้วางตั้งฉากซึ้งกันและกัน และอยู่กับที่จึงได้มีการตั้งชื่อขดลวดที่ตั้งสองนี้ว่าขดลวดสเตเตอเรอร์ (stator winding) โดยในขณะที่ขดลวด  $R_3$  ทำหมุนตั้งฉากกับขดลวด  $S_1$  จะทำหมุนบนกับขดลวด  $S_2$  ในทางกลับกันตัวขดลวด  $R_3$  ทำหมุนตั้งฉากกับขดลวด  $S_2$  ก็จะทำหมุนบนกับขดลวด  $S_1$  จากหลักการดังกล่าวที่สามารถเขียนเป็นวงจรสมมูลร่วมของรีไซล์เวอร์ได้ดังแสดงในรูปที่ 2.2(ข) และมีอิฐารณาในส่วนของขดลวด  $R_1$  ถึง  $R_3$  ถึงแม้ว่าส่วนที่เคลื่อนที่ได้มีเพียง  $R_2$  และ  $R_3$  แต่เพื่อความสะดวกในการอธิบายการทำงานของรีไซล์เวอร์จะใช้วงจรสมมูลแบบง่ายในรูปที่ 2.2(ก) แทนวงจรในรูปที่ 2.2(ข) โดยได้ยุบขดลวด  $R_1$  ถึง  $R_3$  แต่ให้

เหลือเพียงขดลวดเดียวคือ R และถ้าว่าขดลวด R นี้สามารถเคลื่อนที่หมุนได้ หรือเรียกว่าขดลวดโรเตอร์ (rotor winding)

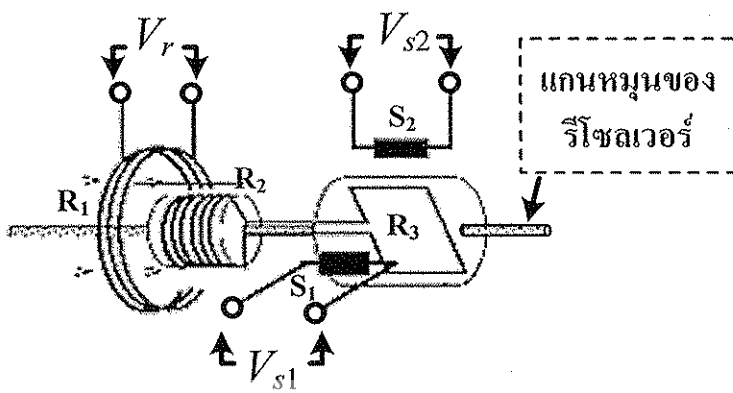


(ก) ภายนอก

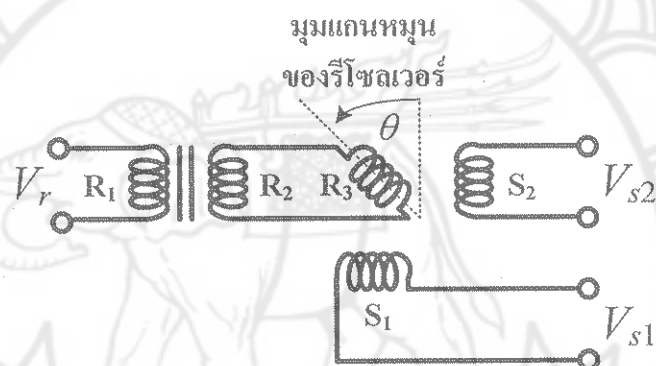


(ข) ภายใน

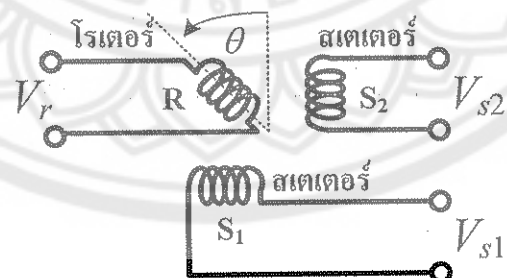
รูปที่ 2.1 รีไซลิเวอร์



(ก) ขดลวดภายใน



(ข) วงจร stemmingแบบสมบูรณ์



(ค) วงจร stemmingแบบง่าย

รูปที่ 2.2 ขดลวดภายในและวงจร stemmingของรีไซลิเวอร์

จากวงจรเสนีอนแบบง่ายในรูปที่ 2.2(ค) เมื่อกำหนดให้  $R$  เป็นขดลวดปั๊มน้ำมิโดยใช้สัญญาณไซนุชອบดี  $V_{ex}$  เป็นตัวกระตุ้น ซึ่งสามารถแสดงได้ดังสมการที่ (2.1)

$$V_r = V_{ex} = A_{ex} \sin(\omega t) \quad (2.1)$$

เมื่อ	$V_{ex}$	คือ สัญญาณแรงดันกระตุ้น (V)
	$A_{ex}$	ค่าแอมเพลจูดของสัญญาณกระตุ้น (V)
	$\omega$	ค่าความถี่เชิงมุมของสัญญาณกระตุ้น (rad./s)
	$t$	ค่าเวลา (s)

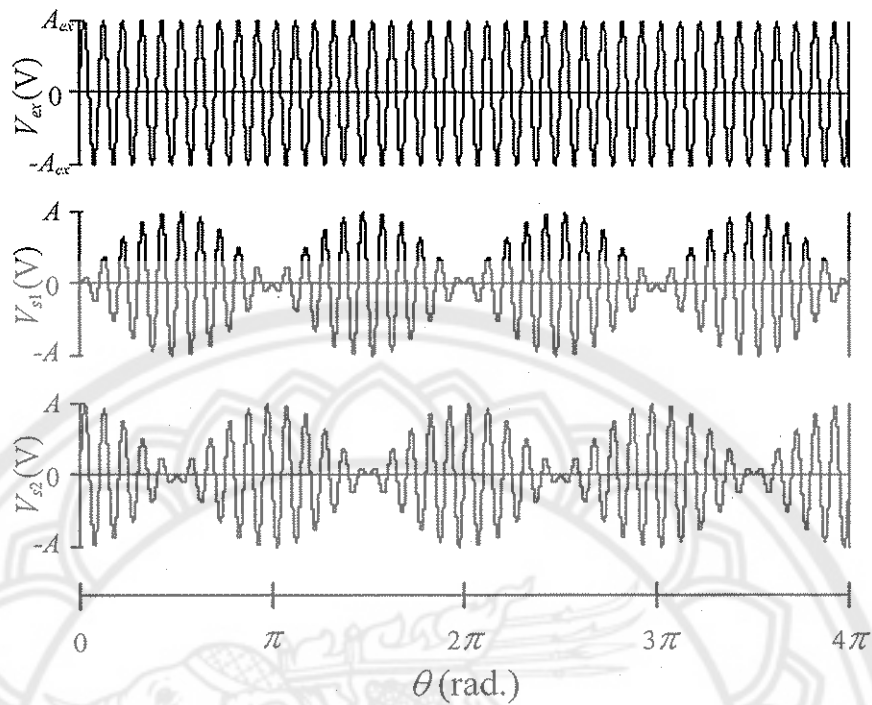
โดยจะได้สัญญาณแรงดันที่ขดลวดสเตเตอร์ทั้งสองมีค่าเป็น

$$V_{s1} = A \sin(\omega t) \sin(\theta) \quad (2.2)$$

$$V_{s2} = A \sin(\omega t) \cos(\theta) \quad (2.3)$$

เมื่อ	$V_{s1}$	คือ สัญญาณแรงดันของขดลวดสเตเตอร์ขดแรก (V)
	$V_{s2}$	คือ สัญญาณแรงดันของขดลวดสเตเตอร์ขดที่สอง (V)
	$\theta$	ค่ามุมแกนหมุนของเรียโซลเวอร์ (rad.)
	$A$	ค่าคงที่ซึ่งถูกกำหนดโดยขนาดแอมเพลจูดของสัญญาณกระตุ้น ( $A_{ex}$ ) และอัตราการส่งผ่าน ระหว่างขดลวดสเตเตอร์กับขดลวดโรเตอร์ โดยที่ $A=kA_{ex}$ (V)

จากสมการที่ (2.2) และ (2.3) จะเห็นได้ว่าเป็นสมการที่อยู่ในรูปแบบของฟังก์ชันตรีโกรณิติ (trigonometric functions) ซึ่งไม่ใช่สมการเส้นตรง ดังนั้นหากต้องการทราบค่ามุมที่แท้จริง ( $\theta$ ) จึงจำเป็นต้องใช้อุปกรณ์หรือวิธีที่ชื่อว่าตัวแปลงสัญญาณเรียโซลเวอร์เพื่อทำหน้าที่แปลงสัญญาณดังกล่าวให้อยู่ในรูปตัวแปรที่เป็นสมการเส้นตรงของค่ามุม  $\theta$  โดยตัวอย่างของตัวแปลงสัญญาณเรียโซลเวอร์ในอีตที่นำเสนอไว้จะได้กล่าวในหัวข้อต่อไป



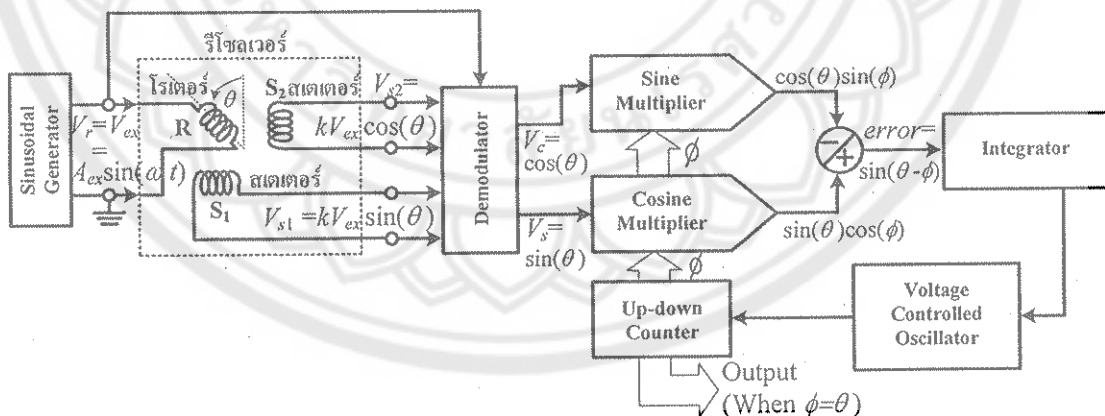
รูปที่ 2.3 สัญญาณ  $V_{ex}$ ,  $V_{sl}$  และ  $V_{s2}$  ของรีโซลเวอร์

## 2.2 ตัวแปลงสัญญาณรีโซลเวอร์ในอดีต

ตัวแปลงสัญญาณรีโซลเวอร์ที่ได้เคยมีการนำเสนอไว้ [5-22] สามารถแบ่งออกเป็นสองประเภทใหญ่ ๆ ได้แก่ ตัวแปลงสัญญาณรีโซลเวอร์เป็นสัญญาณดิจิตอล และตัวแปลงสัญญาณรีโซลเวอร์เป็นสัญญาอนalog หรือบางบทความเรียกว่าตัวแปลงสัญญาณรีโซลเวอร์เป็นสัญญาณดิจีต [16, 19] อย่างไรก็ตามหน้าที่ที่สำคัญของตัวแปลงสัญญาณรีโซลเวอร์คือการแปลงสัญญาณที่เป็นฟังก์ชันตรีโภณมิติ (ฟังก์ชันไซน์ หรือโคไซน์) ของค่ามุมแกนหมุน ( $\theta$ ) ของรีโซลเวอร์ให้เป็นสัญญาณที่เป็นเชิงเส้นกับค่ามุมแกนหมุน ( $\theta$ ) โดยตัวอย่างของตัวแปลงสัญญาณรีโซลเวอร์ที่สำคัญซึ่งได้เคยมีการนำเสนอไว้ จะอธิบายในหัวข้อต่อไปนี้

### 2.2.1 ตัวแปลงสัญญาณริโซลเวอร์โดยใช้เทคนิคแบบเฟสล็อกลูป [5-9]

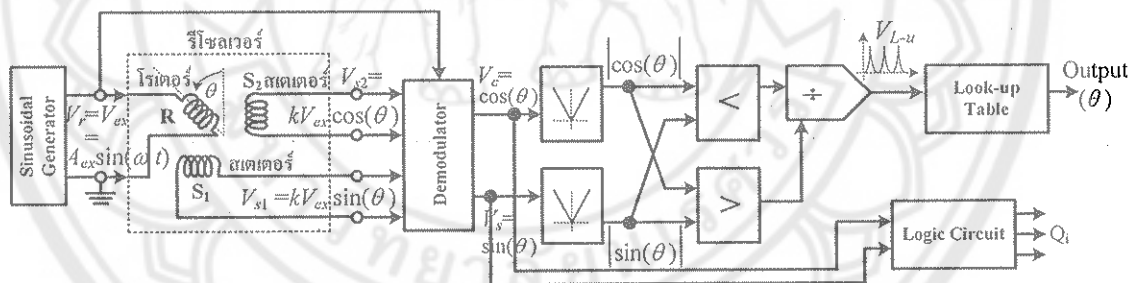
ตัวอย่างของตัวแปลงสัญญาณริโซลเวอร์โดยใช้เทคนิคแบบเฟสล็อกลูป (Phase lock loop) แสดงดังรูปที่ 2.4 [5-6] ซึ่งสามารถอธิบายหลักการทำงานได้ดังนี้คือ เมื่อตัวกำเนิดสัญญาณ (sinusoidal generator) จ่ายสัญญาณกระแสที่เป็นสัญญาณไซนุชอยด์ ( $V_{ex}$ ) ให้กับคลาดโรเตอร์ เป็นไปตามสมการที่ (2.1) ซึ่งจะทำให้ได้สัญญาณที่ออกมายจากคลาดสแตเตอเรอร์ทั้งสองเป็นไปตามสมการที่ (2.2) และ (2.3) ตามลำดับ ต่อจากนั้นนำสัญญาณ  $V_c$  และ  $V_s$  ไปผ่านวงจรเดมอดูลेटอร์ (demodulator) โดยใช้  $V_{ex}$  เป็นสัญญาณอ้างอิงซึ่งจะเป็นการกำจัดสัญญาณกระแส  $V_{ex}$  ออกไปให้เหลือเพียงค่าไซน์และโคไซน์ค่ามุมแกนหมุน ( $\theta$ ) ของริโซลเวอร์ ต่อจากนั้นนำค่าไซน์ ( $\sin(\theta)$ ) ไปคูณกับค่าโคไซน์ของมุมอ้างอิง ( $\phi$ ) และนำค่าโคไซน์ ( $\cos(\theta)$ ) คูณกับค่าไซน์ของมุมอ้างอิง ( $\phi$ ) นำสัญญาณทั้งสองมาลบกันจะได้ค่าไซน์ของผลต่างค่ามุมทั้งสอง ( $\sin(\theta - \phi)$ ) ซึ่งจะมีจำนวนมากเมื่อค่า  $\theta$  และ  $\phi$  มีค่าใกล้เคียงกัน ในกรณีที่  $\theta$  และ  $\phi$  มีค่าไม่เท่ากันจะถือว่ามีค่าผิดพลาด (error) เกิดขึ้นซึ่งจะถูกส่งไปที่วงจรอนดิเกรต (integrator) เพื่อทำหน้าที่สร้างสัญญาณไปควบคุมวงจรกำเนิดสัญญาณชนิดแรงดันควบคุม (voltage controlled oscillator) ซึ่งจะทำหน้าที่สร้างสัญญาณส่งไปให้กับตัวนับสัญญาโนอิกต่อหนึ่ง ตัวนับสัญญาโนสามารถทำงานได้ทั้งแบบนับขึ้นและนับลง(up-down counter) ซึ่งจะเป็นตัวกำเนิดค่ามุมอ้างอิง  $\phi$  ออกมา การทำงานจะดำเนินไปจนกระทั่งค่า  $\phi$  มีค่าเท่ากับค่า  $\theta$  ซึ่งจะได้  $\sin(\theta - \phi) = 0$  โดยค่า  $\phi = \theta$  นี้จะถูกส่งไปเป็นเอกสารพุทธของตัวแปลงสัญญาณ



รูปที่ 2.4 ตัวแปลงสัญญาณริโซลเวอร์โดยใช้เทคนิคแบบเฟสล็อกลูป

## 2.2.2 ตัวแปลงสัญญาณรีโซลเวอร์โดยใช้เทคนิคแบบการเปิดตาราง [10-15]

การออกแบบตัวแปลงสัญญาณรีโซลเวอร์โดยใช้เทคนิคแบบการเปิดตารางจัดเป็นวิธีพื้นฐานอีกเทคนิคหนึ่งที่ได้มีการนำมาประยุกต์ใช้กันจนถึงปัจจุบัน ในรูปที่ 2.5 แสดงรูปแบบหนึ่งของการออกแบบตัวแปลงสัญญาณรีโซลเวอร์โดยใช้เทคนิคดังกล่าวนี้ ซึ่งหลักการทำงานของตัวแปลงสัญญาณในรูปสามารถอธิบายได้ดังนี้ คือ ส่วนของการจ่ายสัญญาณกระแสให้กับรีโซลเวอร์ใช้เทคนิคเดียวกันกับแบบเฟสล็อกสูปในหัวข้อที่ 2.2.1 นั้นคือการจ่ายสัญญาณกระแสที่เป็นสัญญาณไซนัสอยู่ที่กับDUCT โรเตอร์ และนำสัญญาณที่ได้จากDUCT เตอเรอร์ทั้งสองไปผ่านวงจรดีมอคูลเตอร์ ซึ่งจะทำให้ได้สัญญาณที่เป็นค่าไซน์และโคไซน์ของมุมแกนหมุน ( $\theta$ ) ของรีโซลเวอร์ ส่วนที่แตกต่างกับเทคนิคแบบเฟสล็อกสูปคือ การนำสัญญาณ  $\sin(\theta)$  และ  $\cos(\theta)$  ไปผ่านวงจรหาค่าสัมบูรณ์ของสัญญาณ ต่อจากนั้นนำสัญญาณที่ได้ทั้งสองไปผ่านวงจรเปรียบเทียบสัญญาณ และใช้ค่าสัญญาณตัวที่มีค่าบันยะกว่าไปหารด้วยค่าสัญญาณที่มีค่าบันยะกว่า ทั้งนี้เพื่อเป็นการหลีกเลี่ยงในการณ์ที่ตัวหารมีค่าเป็นศูนย์ ผลลัพธ์ที่ได้จากการหารกันนี้ถูกนำไปใช้สำหรับการเปิดตารางเพื่อหาค่ามุม  $\theta$  ซึ่งได้มีการกำหนดไว่ว่างหน้าแล้ว แต่เนื่องจากค่าอินพุตที่ใช้สำหรับการเปิดตารางตลอดช่วงมุม 360 องศา ( $2\pi$  เรเดียน) ยังมีส่วนที่มีค่าซ้ำกันอยู่ ดังนั้นจึงได้มีการนำสัญญาณ  $\sin(\theta)$  และ  $\cos(\theta)$  ป้อนให้กับวงจรลอจิก (logic circuit) เพื่อใช้สำหรับการจำแนกช่วงมุมและทิศทางการหมุนของรีโซลเวอร์

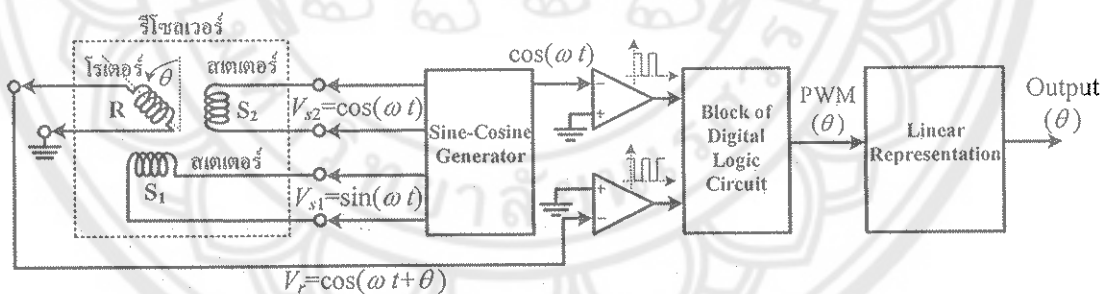


รูปที่ 2.5 ตัวแปลงสัญญาณรีโซลเวอร์โดยใช้เทคนิคแบบการเปิดตาราง

จากตัวอย่างของตัวแปลงสัญญาณรีโซลเวอร์ในหัวข้อที่ 2.2.1 และหัวข้อ 2.2.2 จัดเป็นตัวแปลงสัญญาณรีโซลเวอร์ให้เป็นสัญญาณดิจิตอล การประมวลผลเพื่อกำนัมุมแกนหมุนของรีโซลเวอร์เป็นการอาศัยตัวประมวลผลแบบดิจิตอลและการอาศัยหน่วยความจำเพื่อใช้สำหรับทำเป็นตารางเก็บข้อมูลตามลำดับ โดยทั้งสองหลักการนี้หมายความสำหรับนำไปเป็นส่วนประกอบของระบบวัดและความคุณภาพหมุนของเครื่องจักรกลต่าง ๆ ในแบบดิจิตอล

### 2.2.3 ตัวแปลงสัญญาณรีโซลูเวอร์โดยใช้เทคนิคแบบการกลับสถานะการทำงานของโรเตอร์และสเตเตอเร่ [16-18]

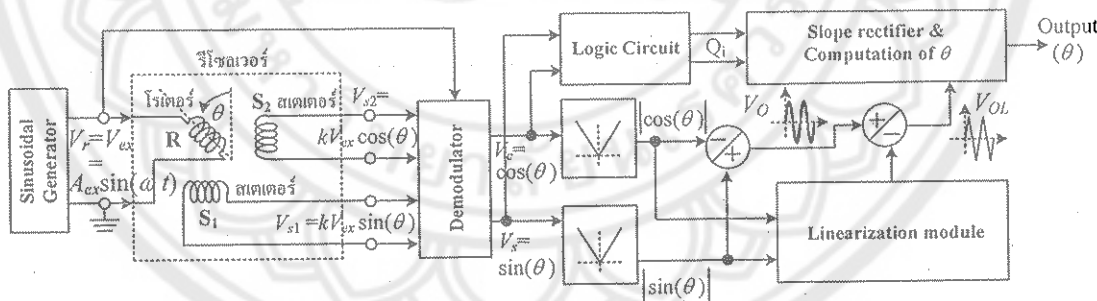
การออกแบบตัวแปลงสัญญาณรีโซลูเวอร์โดยใช้เทคนิคการกลับสถานะการทำงานของโรเตอร์และสเตเตอเร่เป็นเทคนิคที่แตกต่างกับหลักการในหัวข้อที่ 2.2.1 และหัวข้อ 2.2.2 ดังแต่เริ่มต้นนั่นคือ การจ่ายสัญญาณกระแสที่เป็นสัญญาณไซนุสอยด์ให้กับคลาวด์สเตเตอเร่ทั้งสองแทนคลาวด์โรเตอร์ และบังคับให้สัญญาณที่คลาวด์สเตเตอเร่ทั้งสองมีค่าขนาดและความถี่เท่ากันแต่มีเฟสต่างกัน 90 องศา ดังแสดงตัวอย่างในรูปที่ 2.6 นั่นคือค่า  $V_{s2} = \cos(\omega t)$  และ  $V_{s1} = \sin(\omega t)$  ตามลำดับซึ่งผลที่เกิดขึ้นคือค่าแรงดันที่คลาวด์โรเตอร์จะมีค่าเท่ากับ  $V_r = \cos(\omega t - \theta)$  เมื่อ  $\theta$  คือค่ามุมของรีโซลูเวอร์ที่ต้องการทราบ ขั้นตอนต่อไปนำค่า  $\cos(\omega t)$  และ  $\cos(\omega t - \theta)$  ไปผ่านวงจรตรวจขั้บผ่านศูนย์ (zero crossing detector) เพื่อสร้างเป็นสัญญาณสี่เหลี่ยม โดยสัญญาณสี่เหลี่ยมนี้สองจะมีเฟสต่างกันอยู่  $\theta$  และเมื่อนำสัญญาณสี่เหลี่ยมทั้งสองไปผ่านวงจรดิจิตอล (digital logic circuit) จะได้สัญญาณ PWM( $\theta$ ) ที่มีลักษณะคล้ายกับสัญญาณที่ได้จากตัวพัลส์วิคท์มอดูลেชัน(pulse width modulation; PWM) นั่นคือเป็นสัญญาณสี่เหลี่ยมที่มีค่าดิวตี้ไซเคิล (duty cycle) ขึ้นอยู่กับค่า  $\theta$  ขั้นตอนสุดท้ายนำสัญญาณ PWM( $\theta$ ) ที่ได้ดังกล่าวไปผ่านการกรองสัญญาณและการปรับสภาพสัญญาณให้เป็นเชิงเส้น (linear representation) จะทำให้ได้อเอาจรูดของตัวแปลงสัญญาณคือค่ามุม  $\theta$



รูปที่ 2.6 ตัวแปลงสัญญาณรีโซลูเวอร์โดยใช้เทคนิคการกลับสถานะการทำงานของโรเตอร์และสเตเตอเร่

## 2.2.4 ตัวแปลงสัญญาณรีโซลเวอร์โดยใช้เทคนิคการนำสัญญาณสเตเตเตอร์มาลงกันและใช้วงจรดูดเชยความผิดพลาด [19-21]

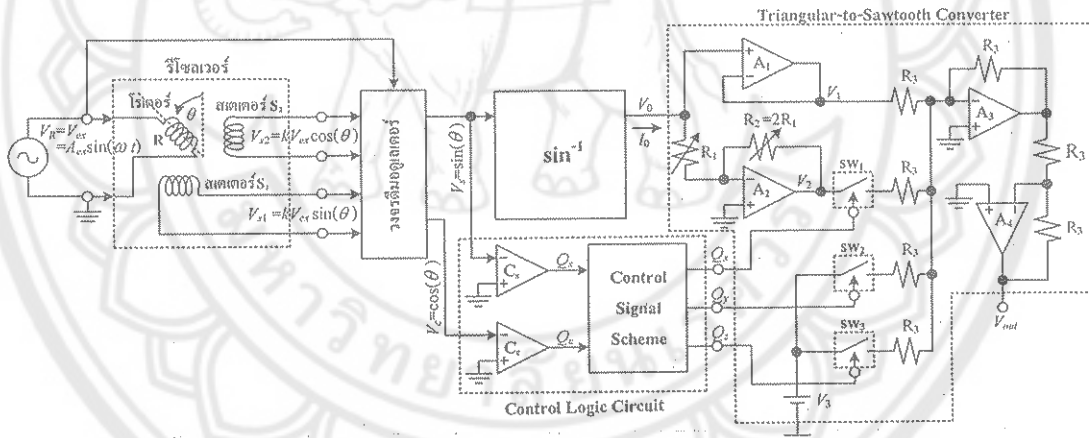
เทคนิคการออกแบบตัวแปลงสัญญาณรีโซลเวอร์นี้ในส่วนของการนำสัญญาณกระแสตู้นให้กับรีโซลเวอร์จะเหมือนกับหลักการในหัวข้อที่ 2.2.1 และหัวข้อ 2.2.2 นั่นคือการป้อนสัญญาณกระแสตู้นที่เป็นสัญญาณไซนุซoidalให้กับคลาด风波เตอร์ และนำสัญญาณที่ได้จากคลาด风波เตอร์ทั้งสองไปประมวลผลเพื่อคำนวณหาค่า  $\theta$  ต่อไป โดยเทคนิคนี้จะใช้วิธีการนำสัญญาณ  $\sin(\theta)$  และ  $\cos(\theta)$  ไปผ่านตัวหาค่าสัมบูรณ์ของสัญญาณ ต่อจากนั้นนำสัญญาณที่ได้มาลงกันโดยจะได้สัญญาณ  $V_o$  ที่มีลักษณะลักษณะเป็นสัญญาณรูปสามเหลี่ยมแต่ยังมีความผิดพลาดที่ค่อนข้างสูง ซึ่งผู้ออกแบบได้ใช้วิธีนำสัญญาณที่ได้จากตัวหาค่าสัมบูรณ์ทั้งสองไปผ่านตัวจัดการให้เป็นเชิงเส้น (linearization module) ซึ่งภายในประกอบด้วยวงจรคูณสัญญาณ วงจรยกกำลังสอง และวงจรบวกสัญญาณ ทั้งนี้เพื่อสร้างสัญญาณมาตรฐานดูดเชยความผิดพลาดที่เกิดขึ้น ซึ่งจะทำให้ได้สัญญาณรูปสามเหลี่ยมนี้มีความถูกต้องและเที่ยงตรงยิ่งขึ้น โดยสัญญาณสามเหลี่ยมนี้เกิดจากการหมุนของรีโซลเวอร์อย่างต่อเนื่องด้วยอัตราเร็วเชิงมุมคงที่ แต่อย่างไรก็ตามสัญญาณที่ได้ยังไม่สามารถออกถึงค่ามุนอินพุตของรีโซลเวอร์ได้ตลอดช่วงมุม 360 องศา ดังนั้นจึงมีการนำสัญญาณที่ได้ไปผ่านกระบวนการจัดเรียงความชันใหม่ (slope rectifier) และกระบวนการคำนวณหาค่ามุมแทนหมุนต่อไป โดยใช้สัญญาณที่ออกมาจากวงจรลอจิกเป็นตัวควบคุม



รูปที่ 2.7 ตัวแปลงสัญญาณรีโซลเวอร์โดยใช้เทคนิคแบบการนำสัญญาณสเตเตเตอร์มาลงกันและใช้วงจรดูดเชยความผิดพลาด

## 2.2.5 ตัวแปลงสัญญาณรีไซล์เวอร์โดยใช้โอลิอิเอสั่งกระแสห้าฟังก์ชันอาร์คไซน์

การออกแบบตัวแปลงสัญญาณรีไซล์เวอร์วิธีการนี้ [22] เป็นหลักการใหม่ที่ค่อนข้างเรียบง่าย มีความสะดวกสำหรับการพัฒนาสร้างขึ้นเพื่อใช้งานนิ่องจากโอลิอิเอสั่งกระแสห้าฟังก์ชันอาร์คไซน์เป็นแบบในโพลาร์ทรายนิสเตอร์เป็นวงจรสำเร็จรูปที่ได้มีการผลิตออกมากำหนดอย่างหลายรุ่นด้วยกัน เช่น CA3080, CA3280 และ LM13600 เป็นต้น รวมถึงความสะดวกสำหรับการพัฒนาสร้างในรูปแบบของวงจรรวมที่สามารถดำเนินการได้โดยไม่ยุ่งยาก ในรูปที่ 2.8 แสดงบล็อกไซน์ไดอะแกรมของตัวแปลงสัญญาณรีไซล์เวอร์เป็นสัญญาณเดซิบเบิลที่ใช้โอลิอิเอสั่งกระแสห้าฟังก์ชันอาร์คไซน์ที่ได้เคยมีการนำเสนอไว้ โดยจะเห็นได้ว่าในส่วนของการจ่ายสัญญาณกระแสตู้น้ำให้กับรีไซล์เวอร์ได้ใช้วิธีการที่นิยมดำเนินการนั่นคือการจ่ายสัญญาณกระแสตู้น้ำให้กับบัดคลาดโตร เทอร์ และนำสัญญาณที่ได้จากบัดคลาดสเตรเตอร์ทั้งสองไปผ่านวงจรดีมอคูลเเตเตอร์ ต่อจากนั้นได้ใช้วิธีนำสัญญาณไซน์ค่ามุมแกนหมุนของรีไซล์เวอร์ ( $\sin \theta$ ) ไปผ่านวงจรสั่งกระแสห้าฟังก์ชันอาร์คไซน์ ( $\sin^{-1}$ ) และวงจรแปลงสัญญาณรูปสามเหลี่ยมเป็นสัญญาณรูปฟันเลื่อย (triangular-to-sawtooth converter) ตามลำดับ



รูปที่ 2.8 ตัวแปลงสัญญาณรีไซล์เวอร์โดยใช้โอลิอิเอสั่งกระแสห้าฟังก์ชันอาร์คไซน์

จากรูปที่ 2.8 วงจรสั่งกระแสห้าฟังก์ชันอาร์คไซน์ที่ใช้เป็นการออกแบบโดยใช้โอลิอิเอสั่งกระแสห้าฟังก์ชันอาร์คไซน์ที่ใช้เป็นพื้นฐานในการออกแบบ [23] โดยได้กำหนดช่วงปฏิบัติการทางขนาดด้านอินพุตไว้ที่  $\pm 1$  โวลต์ ซึ่งใช้สำหรับรองรับช่วงมุม  $\pm \pi/2$  เรเดียน หรือเท่ากับ  $\pm 90$  องศา ดังนั้นมีแกนหมุนของรีไซล์เวอร์หมุนด้วยอัตราเร็วเชิงมุมคงที่ครบหนึ่งรอบซึ่งเท่ากับมุม  $2\pi$  เรเดียน หรือเท่ากับ 360 องศา จะทำให้ได้อัตราพุ่งของวงจรสั่งกระแสห้าฟังก์ชันอาร์คไซน์

ฟังก์ชันอาร์คไชน์เป็นสัญญาณรูปสามเหลี่ยม โดยสัญญาณรูปสามเหลี่ยมนี้คือสัญญาณที่มีความสัมพันธ์เป็นสมการเส้นตรงกับค่ามุมแกนหมุนของเรซิโซลเวอร์ อ้าง ไว้ตามสัญญาณดังกล่าว นี้บ่งบอกว่ามีความชันไม่คงที่ โดยจะมีทั้งความชันที่มีค่าเป็นบวกและความชันที่มีค่าเป็นลบ แบ่งออกเป็น ช่วง ๆ ตลอดการหมุนของเรซิโซลเวอร์หนึ่งรอบ ( $2\pi$  เรเดียน) ในงานวิจัยดังกล่าวจึงได้มีการนำวงจร แปลงสัญญาณรูปสามเหลี่ยมเป็นสัญญาณรูปฟันเลื่อยเข้ามาต่อร่วม โดยใช้วงจรลอจิกเป็นตัวสร้าง สัญญาณลอจิกควบคุมจังหวะการทำงานซึ่งจะทำให้ได้ออต์พุตของตัวแปลงสัญญาณเรซิโซลเวอร์ ดังกล่าวเป็นสัญญาณแรงดันที่มีความเป็นเชิงเส้นกับค่ามุมแกนหมุนของเรซิโซลเวอร์

เมื่อพิจารณาถึงค่าความถูกต้องในการทำงานของวงจรสังเคราะห์ฟังก์ชันอาร์คไชน์ ซึ่งใช้ เป็นค่าที่บ่งบอกถึงความถูกต้องในการทำงานของตัวแปลงสัญญาณเรซิโซลเวอร์เป็นสัญญาณดิจิตาม หลักการดังกล่าวเนี้ย เป็นจากสัญญาณไชน์ค่ามุมแกนหมุนของเรซิโซลเวอร์ที่ออกมากจากวงจรดิจิตอล เตอร์จูกกำหนดให้มีค่าขนาดสูงสุดเท่ากับ  $1$  โวลต์ที่ค่ามุมเท่ากับ  $\pi/2$  เรเดียน ดังนั้นในหลักการ ดังกล่าวจึงได้ทำการออกแบบและเลือกใช้พารามิเตอร์ต่าง ๆ ภายในวงจรสังเคราะห์ฟังก์ชันอาร์ค ไชน์ให้สามารถรองรับช่วงปฏิบัติการ ±  $\pi/2$  เรเดียนดังกล่าวไว้ได้ โดยจะมีค่าความผิดพลาดสูงสุด ตลอดช่วงการทำงานประมาณเท่ากับ  $0.92\%$  สำหรับรายละเอียดของวงจรสังเคราะห์ฟังก์ชันอาร์ค ไชน์ที่ใช้โอทีเอเป็นพื้นฐานในการออกแบบ [23] ที่ใช้ในงานวิจัยดังกล่าว และที่จะนำมาใช้ใน การศึกษาครั้งนี้ จะได้กล่าวในหัวข้อต่อไป

### 2.3 วงจรสังเคราะห์ฟังก์ชันอาร์คไชน์ แบบไฮโอดิจิตเป็นพื้นฐานในการออกแบบ

ไฮโอดิจิต (operational transconductance amplifier; OTA) จัดเป็นวงจรขยายแบบแอคทีฟ (active element) ประเภทหนึ่งซึ่งสามารถนำไปประยุกต์ใช้งานได้อย่างกว้างขวาง ตัวอย่างเช่น วงจรกรองสัญญาณแบบแอคทีฟ (active filter) [24-25] วงจรอสซิลเลเตอร์ (oscillator) [26] วงจร สังเคราะห์ค่าความด้านท่าน และวงจรขยายสัญญาณแบบอินสทรูเมนต์ (instrument amplifier) [27] เป็นต้น หลักการทำงานเบื้องต้นของไฮโอดิจิตจะให้สัญญาณเอาต์พุตที่เป็นสัญญาณกระแสซึ่งแบร พันกับสัญญาณแรงดันอินพุต จากคุณสมบัติดังกล่าวนี้ทำให้สามารถกล่าวได้ว่าไฮโอดิจิตสมบัติ การทำงานเป็นแหล่งจ่ายกระแสชนิดควบคุมด้วยแรงดัน (voltage controlled current source; VCCS) [28] หรือในบางครั้งจะมีการเรียกไฮโอดิจิตเป็นวงจรขยายความนำ (transconductance amplifier)

ในรูปที่ 2.9 แสดงโครงสร้างภายในแบบพื้นฐานและสัญลักษณ์โดยทั่วไปของวงจรไฮโอดิจิต ซึ่งประกอบด้วยวงจรคู่ผิดต่าง (differential pair) ต่อร่วมอยู่กับวงจรสะท้อนกระแส (current mirror; CM) โดยจะได้ความสัมพันธ์ระหว่างค่ากระแสเอาต์พุต  $I_o$  กับค่าแรงดันอินพุต  $V_i$  ของไฮโอดิจิต ดังนี้คือ

$$I_o = I_B \tanh \frac{V_i}{2V_T} \quad (2.4)$$

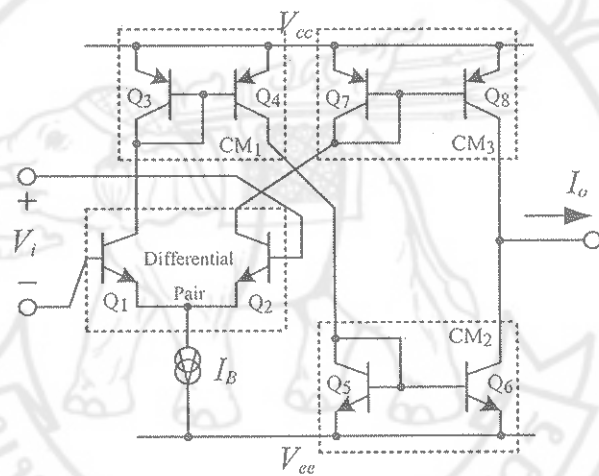
เมื่อ  $V_T = kT/q$  คือ ค่าแรงดันเชิงอุณหภูมิ (Thermal Voltage) (V)

$k$  คือ Boltzmann's Constant ซึ่งมีค่าเท่ากับ  $1.38 \times 10^{-23} \text{ J/K}$

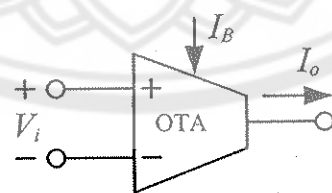
$T$  คือ ค่าอุณหภูมิรอบข้าง ( $^{\circ}\text{K}$ )

$q$  คือ ค่าประจุไฟฟ้าอิเล็กตรอน (Electron Charge)  
มีค่าเท่ากับ  $1.602 \times 10^{-19} \text{ C}$

$I_B$  คือ ค่ากระแสใบอัลตราไบ昂อก (A)



(ก) วงจรภายในของ โอทีเอ



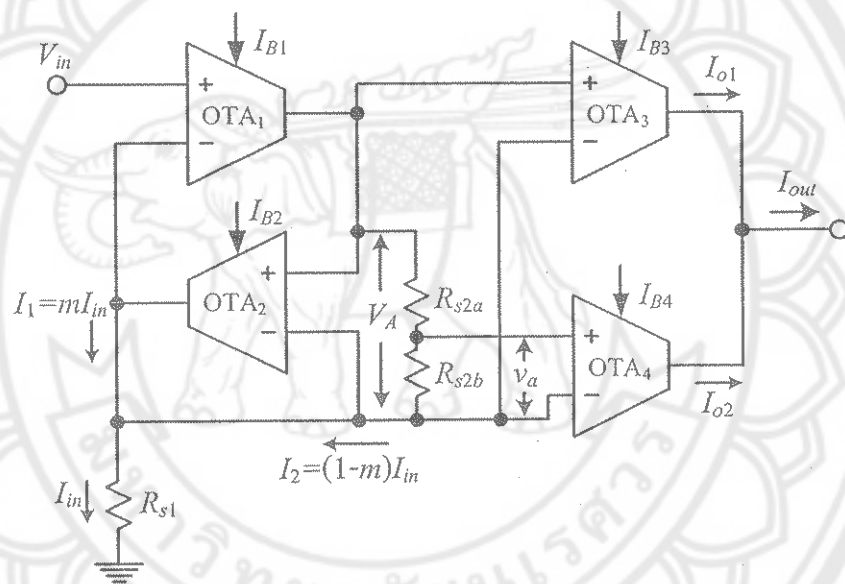
(ข) สัญลักษณ์ของ โอทีเอ

รูปที่ 2.9 วงจร โอทีเอ

จากสมการที่ (2.4) เมื่อกำหนดให้  $V_i \ll 2V_T$  จะสามารถประมาณได้ว่า

$$\frac{I_o}{I_B} = -\frac{V_i}{2V_T} \quad (2.5)$$

จากความสัมพันธ์ตามสมการที่ (2.4) และ (2.5) เมื่อไม่นานมานี้ได้มีการนำเสนอการประยุกต์ใช้โอลิเอสำหรับการออกแบบวงจรสังเคราะห์ฟังก์ชันอาร์คไชน์หรือวงจรแปลงสัญญาณคลื่นไอน์เป็นสัญญาณรูปสามเหลี่ยม [23] ดังแสดงในรูปที่ 2.10



รูปที่ 2.10 วงจรสังเคราะห์ฟังก์ชันอาร์คไชน์แบบใช้โอลิเอเป็นพื้นฐานในการออกแบบ [23]

จากรูปที่ 2.10 จะได้ความสัมพันธ์ระหว่างค่ากระแสเอาต์พุต  $I_{out}$  ของวงจรกับค่ากระแสอินพุต  $I_{in}$  และค่าแรงดันอินพุต  $V_{in}$  ของวงจรดังนี้คือ

$$I_{in} = \frac{g_{m1}(1+g_{m2}R_{s2})}{1+g_{m1}R_{s1}(1+g_{m2}R_{s2})} V_{in} \quad (2.6)$$

โดยที่  $g_{m1} = I_{B1}/2V_T$  และ  $I_{B1}$  คือค่าต่อผ่านความนำและค่ากระแสในอั้สของ OTA ลำดับที่  $i$  ตามลำดับ และ  $R_{s2} = R_{s2a} + R_{s2b}$  จากสมการที่ (2.6) เมื่อกำหนดให้ค่า  $g_{m2}R_{s2} \gg 1$  และ  $g_{m1}g_{m2}R_{s1}R_{s2} \gg 1$  จะมีผลทำให้ค่าแรงดันตกคร่อม  $R_{s1}$  มีค่าประมาณเท่ากับค่าแรงดัน  $V_{in}$  และค่ากระแส  $I_{in}$  จะมีค่าประมาณเท่ากับ

$$I_{in} = \frac{V_{in}}{R_{s1}} \quad (2.7)$$

แล้วจะได้

$$I_{out} = mI_{in} + bI_{B4} \tanh^{-1}\left(\frac{mI_{in}}{I_{B2}}\right) \quad (2.8a)$$

$$I_{out} = \frac{mV_{in}}{R_{s1}} + \frac{I_{B2}}{K_T} \tanh^{-1}\left(\frac{mV_{in}}{I_{B2}R_{s1}}\right) \quad (2.8b)$$

$$m = 1 - \frac{V_{A(\max)}}{(R_{s2a} + R_{s2b})I_{in(\max)}} \quad (2.8c)$$

$$K_T = \frac{I_{B2}}{bI_{B4}} \quad (2.8d)$$

$$b = \frac{R_{s2b}}{(R_{s2a} + R_{s2b})} \quad (2.8e)$$

เมื่อ  $I_{Bi}$  คือ ค่ากระแสในอั้สของ โอลีโอด์ลำดับที่  $i$  (A)

$I_{in(\max)}$  คือ ค่าแอนเพลจูดหรือค่าขอยดสูงสุดของสัญญาณกระแสอินพุต  $I_{in}$  (A)

$V_{A(\max)}$  คือ ค่าแรงดันตกคร่อมขาอินพุตของ OTA<sub>2</sub> จะเป็นมีกระแส  $I_{in(\max)}$

ไฟล์ผ่านตัวด้านท่าน  $R_{s1}$  (V)

จากสมการที่ (2.8) อาศัยการกระจายอนุกรมกำลังของสมการดังกล่าว โดยจะสามารถประมาณค่ากระแสเอาต์พุต  $I_{out}$  ของวงจรได้เท่ากับ

$$I_{out} = mbI_{B4}(1+K_T) \left\{ \frac{V_{in}}{I_{B2}R_{s1}} + \frac{m^2}{(1+K_T)} \frac{1}{3} \left( \frac{V_{in}}{I_{B2}R_{s1}} \right)^3 + \frac{m^4}{(1+K_T)} \frac{1}{5} \left( \frac{V_{in}}{I_{B2}R_{s1}} \right)^5 + \dots \right\} \quad (2.9)$$

จากสมการที่ (2.9) เห็นมaky ในวงเล็บปีกกา จะสังเกตได้ว่าเป็นอนุกรมกำลังที่เป็นฟังก์ชันคี่ ซึ่งมีลักษณะคล้ายคลึงกับอนุกรมกำลังของฟังก์ชันอาร์คไซน์ ซึ่งสามารถเปลี่ยนได้เป็น

$$G \sin^{-1}(x) = G \left( x + B_3 \frac{x^3}{3} + B_5 \frac{x^5}{5} + \dots \right) \quad (2.10a)$$

โดยที่

$$B_i = \prod_{j=1}^{\frac{(i-1)}{2}} \left\{ \frac{(i-2j)}{(i-2j+1)} \right\} \quad \text{เมื่อ } i = 3, 5, 7, \dots \quad (2.10b)$$

เมื่อ  $G$  คือ ค่าคงที่ซึ่งคูณอยู่กับฟังก์ชันอาร์คไซน์ พิจารณาเปรียบเทียบสมการที่ (2.9) กับสมการที่ (2.10) โดยเลือกใช้พารามิเตอร์  $A_i$  ให้มีค่าใกล้เคียงกับพารามิเตอร์  $B_i$  จะสามารถประมาณได้ว่า

$$I_{out} = mbI_{B4}(1+K_T) \sin^{-1} \left( \frac{V_{in}}{I_{B2}R_{s1}} \right) \quad (2.11)$$

จากสมการที่ (2.11) แสดงให้เห็นว่าในรูปที่ 2.10 มีคุณสมบัติเป็นวงจรสังเคราะห์ฟังก์ชันอาร์คไซน์ ซึ่งมีช่วงปฏิบัติงานทางขนาดเท่ากับ

$$V_{in(max)} = \pm I_{B2}R_{s1} \quad (2.12)$$

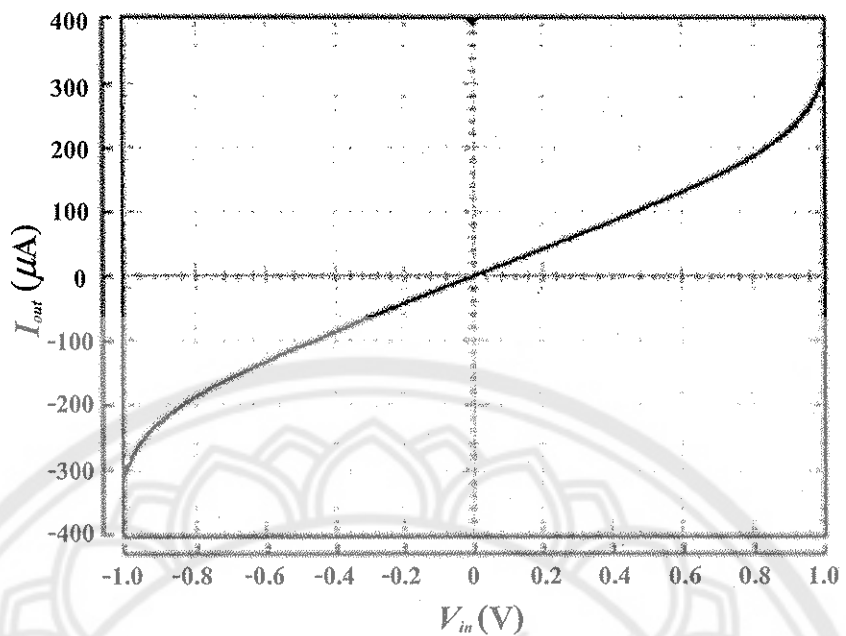
เมื่อ  $V_{in(max)}$  คือค่าแอนเพลจูดหรือค่าขอดสูงสุดของแรงดันอินพุต  $V_{in}$  ของวงจร ยกตัวอย่าง เช่นเมื่อกำหนดให้  $I_{B2} = 100 \mu\text{A}$  และ  $R_{s1} = 10 \text{ k}\Omega$  จะได้ค่า  $V_{in(max)}$  มีค่าเท่ากับ  $\pm 1 \text{ โวลต์}$  ซึ่งค่าแรงดันอินพุตสูงสุดดังกล่าวจะเมื่อพิจารณาเปรียบเทียบกับค่ามุน จะตรงกับค่ามุนเท่ากับ  $\pm \pi/2 \text{ เรเดียน}$

หรือเท่ากับ  $\pm 90$  องศา และเมื่อกำหนดให้สัญญาณแรงดันอินพุต  $V_{in}$  ของวงจรสัมเคราะห์ฟังก์ชัน อาร์คไซน์เป็นสัญญาณไซนوزอยด์ที่มีแอมเพลจูดเท่ากับ 1 โวลต์ จะได้ค่ากระแสเอาต์พุต  $I_{out}$  ของ วงจรเป็นสัญญาณรูปสามเหลี่ยมที่มีค่าแอมเพลจูดหรือค่ายอดสูงสุด ( $I_{out(max)}$ ) เท่ากับ

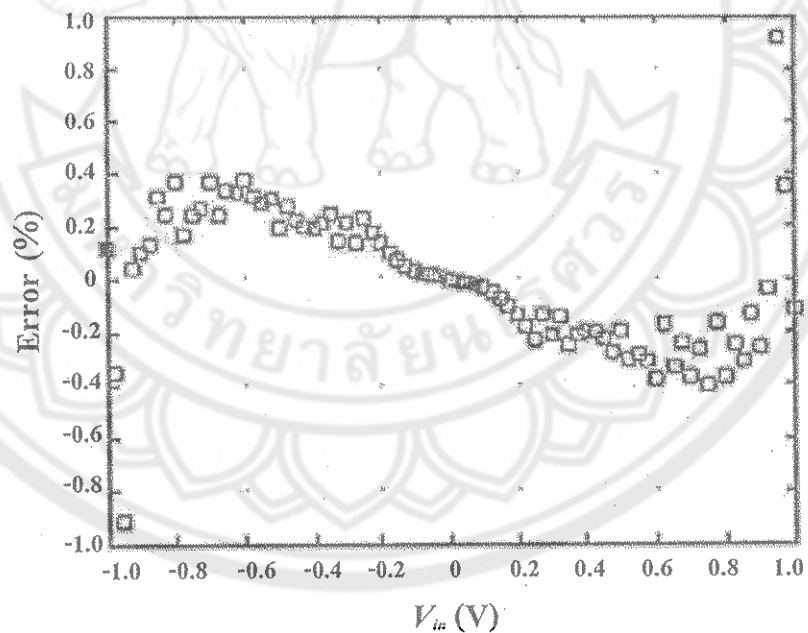
$$I_{out(max)} = mI_{B2} \left(1 + \frac{1}{K_T}\right) \frac{\pi}{2} \quad (2.13)$$

พิจารณาสมการที่ (2.8) ซึ่งเป็นสมการที่วิเคราะห์ได้จากการในรูปที่ 2.10 และสมการที่ (2.11) ซึ่ง เป็นสมการที่ต้องการสัมเคราะห์ เพื่อทำให้สมการทั้งสองมีค่าใกล้เคียงกันมากที่สุดตลอดช่วงการ ทำงานแรงดันอินพุตตั้งแต่ -1 โวลต์ ถึง +1 โวลต์ หรือเท่ากับ  $\pm\pi/2$  เรเดียน โดยผู้ออกแบบ [22-23] ได้เลือกกำหนดให้พารามิเตอร์  $m$  มีค่าเท่ากับ 0.966 และพารามิเตอร์  $K_T$  มีค่าเท่ากับ 0.927 โดยจะมี ค่าความผิดพลาดสูงสุดตลอดช่วงการทำงานประมาณเท่ากับ 0.92%

ในรูปที่ 2.11 แสดงผลการทดสอบคุณสมบัติทางคีซีของวงจรสัมเคราะห์ฟังก์ชันอาร์คไซน์ จากรูปที่ 2.10 เมื่อกำหนดให้พารามิเตอร์  $m=0.966$  พารามิเตอร์  $K_T=0.927$  และพารามิเตอร์  $b=0.125$ ,  $R_{s1}=10 \text{ k}\Omega$ ,  $R_{s2a}=28 \text{ k}\Omega$ ,  $R_{s2b}=4 \text{ k}\Omega$ ,  $I_{B1}=500 \mu\text{A}$ ,  $I_{B2}=I_{B3}=100 \mu\text{A}$ ,  $I_{B4}=869 \mu\text{A}$  และ ทำการแปรค่าสัญญาณแรงดันอินพุต  $V_{in}$  จาก -1V ถึง +1V ในรูปที่ 2.11(ข) แสดงค่าความผิดพลาด (Error) ของวงจรที่วัด ได้ โดยเปรียบเทียบระหว่างค่ากระแสเอาต์พุต  $I_{out}$  ตามสมการที่ (2.11) เปรียบเทียบกับค่ากระแสเอาต์พุตที่วัด ได้จริง โดยจะเห็นได้ว่ามีค่าผิดพลาดสูงสุดประมาณเท่ากับ  $\pm 0.92\%$  ในรูปที่ 2.12 แสดงผลการทำงานของวงจรสัมเคราะห์ฟังก์ชันอาร์คไซน์ เมื่อป้อนอินพุต เป็นสัญญาณแรงดันรูปไข่น์ แอมเพลจูดเท่ากับ 1V ความถี่เท่ากับ 1 kHz ซึ่งจะเห็นได้ว่า เอาต์พุต ของวงจรที่ได้จะเป็นสัญญาณกระแสรูปสามเหลี่ยม ความถี่ 1 kHz โดยมีแอมเพลจูดสอดคล้องกับ สมการที่ (2.12) คือประมาณเท่ากับ 315  $\mu\text{A}$

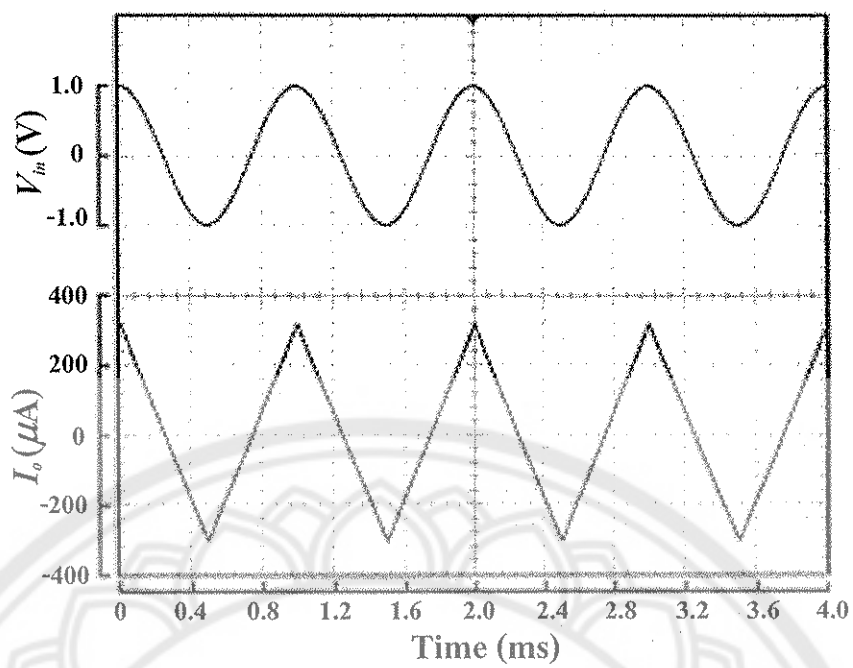


(ก) สัญญาณกระแสเอาต์พุต

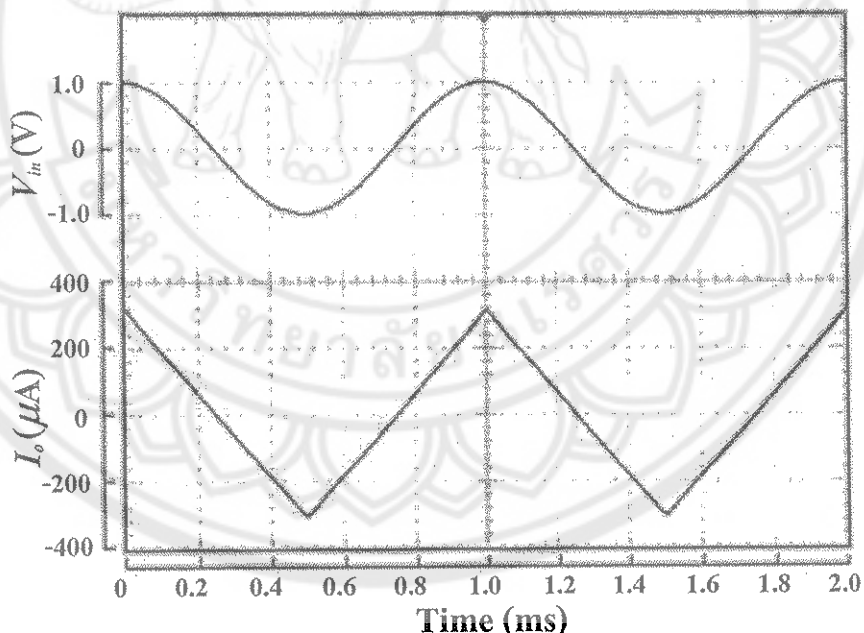


(ข) ค่าความผิดพลาด (Error)

รูปที่ 2.11 ผลการทดสอบคุณสมบัติทางดีซีของวงจรสัมเคราะห์ฟิงก์ชันอาร์คไชน์



(ก) สเกลแนวโน้มเท่ากับ 0.4 ms/div.



(ข) สเกลแนวโน้มเท่ากับ 0.2 ms/div.

รูปที่ 2.12 สัญญาณอินพุตและสัญญาณเอาต์พุตของวงจรสัมเคราะห์ฟังก์ชันอาร์คไน์

## 2.4 สรุป

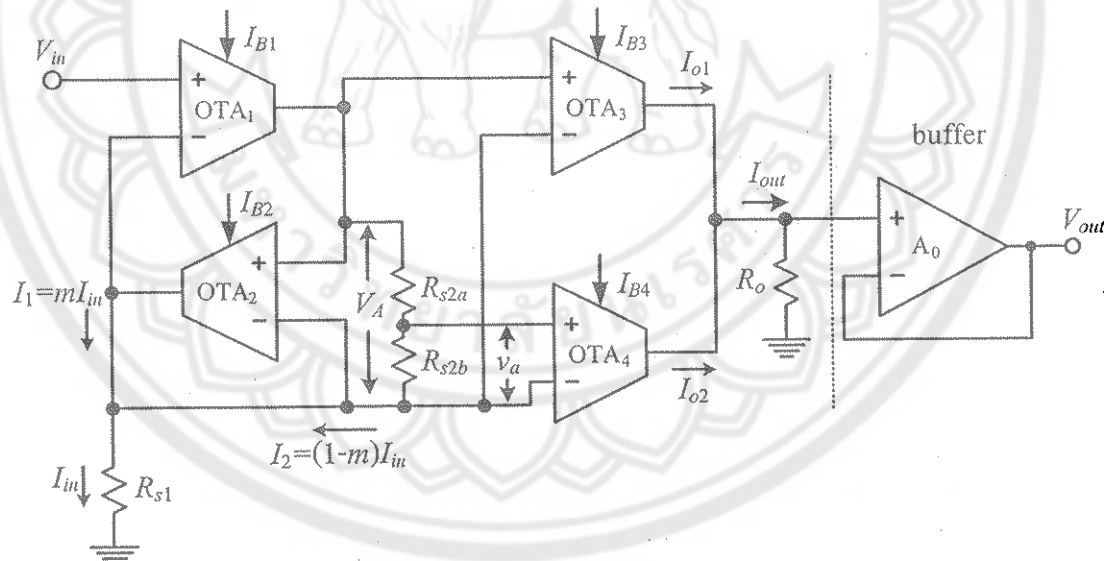
รีโฉลเวอร์เป็นทราบส์ดิวเซอร์ที่ใช้สำหรับวัดค่าแทนงบประมาณของอุปกรณ์ที่มีแกนหมุน วิธีการใช้งานสามารถทำได้โดยการต่อแกนหมุนของอุปกรณ์ที่ต้องการวัดเข้ากับแกนหมุน ของรีโฉลเวอร์ และใช้สัญญาณแรงดันไซนัลซอยด์เป็นตัวกระตุ้นให้กับขดลวดภายในให้กับรีโฉลเวอร์ ผลที่ได้คือ ตัวรีโฉลเวอร์จะจ่ายสัญญาณแรงดันเอาต์พุตออกมา ซึ่งอยู่ในรูปของฟังก์ชันไซน์ และฟังก์ชันโคไซน์ ดังนั้นการประยุกต์ใช้งานรีโฉลเวอร์จึงจำเป็นต้องใช้งานร่วมกับตัวแปลงสัญญาณรีโฉลเวอร์ ซึ่งจะทำหน้าที่สำหรับแปลงสัญญาณที่ไม่เป็นเชิงเส้นดังกล่าวให้เป็นเชิงเส้น กับค่าบันทุณภาพนุนของรีโฉลเวอร์ จากความสำคัญของตัวแปลงสัญญาณรีโฉลเวอร์กันอย่างต่อเนื่อง ในการออกแบบตัวแปลงสัญญาณรีโฉลเวอร์ภายในโครงงานวิจัยนี้จะอาศัยวงจรสังเคราะห์ฟังก์ชันอาร์คไซน์แบบที่ใช้ไอทีเอเป็นพื้นฐานในการออกแบบเป็นส่วนประกอบ ซึ่งจะคล้ายคลึงกับหลักการในหัวข้อที่ 2.2.5 เนื่องจากวงจรสังเคราะห์ฟังก์ชันอาร์คไซน์ดังกล่าววนนี้มีโครงสร้างที่เรียบง่ายไม่ซับซ้อน รวมทั้งไอทีเอซึ่งเป็นอุปกรณ์อิเล็กทรอนิกส์แบบไฟงานที่มีการผลิตออกมากำหนดรายรุ่นทำให้สามารถหาซื้อได้ง่ายและสะดวกต่อการออกแบบ อย่างไรก็ตามในการศึกษาครั้งนี้มุ่งเน้นที่การปรับปรุงความถูกต้องในการทำงานของตัวแปลงสัญญาณรีโฉลเวอร์ ซึ่งจะขึ้นอยู่กับความถูกต้องในการทำงานของวงจรสังเคราะห์ฟังก์ชันอาร์คไซน์ โดยรายละเอียดของการปรับปรุงการทำางานของวงจรสังเคราะห์ฟังก์ชันอาร์คไซน์และรายละเอียดของตัวแปลงสัญญาณรีโฉลเวอร์ที่ได้พัฒนาออกแบบขึ้นใหม่ภายในงานวิจัยจะได้กล่าวรายละเอียดในบทที่ ๔ ไป

### บทที่ 3

## การปรับปรุงความถูกต้องของวงจรสังเคราะห์ฟังก์ชันอาร์คไซน์ แบบใช้ออทีโอเป็นพื้นฐานในการออกแบบ

จากหัวข้อที่ 2.3 ซึ่งได้อธิบายถึงหลักการทำงานของวงจรสังเคราะห์ฟังก์ชันอาร์คไซน์แบบที่ออทีโอเป็นพื้นฐานในการออกแบบ โดยในงานวิจัยนี้จะใช้เป็นส่วนประกอบของตัวแปลงสัญญาณรีโซลูเวอร์ที่ได้พัฒนาออกแบบขึ้นใหม่ ในบทนี้จะเป็นการอธิบายถึงการปรับปรุงความถูกต้องของวงจรสังเคราะห์ฟังก์ชันอาร์คไซน์ดังกล่าว โดยทำการวิเคราะห์หาค่าพารามิเตอร์ต่าง ๆ ที่จะใช้ในวงจรเพื่อให้เหมาะสมและสามารถรองรับกับหลักการของตัวแปลงสัญญาณรีโซลูเวอร์แบบใหม่ที่ได้ออกแบบขึ้น

### 3.1 การวิเคราะห์หาค่าพารามิเตอร์ที่เหมาะสมของวงจรสังเคราะห์ฟังก์ชันอาร์คไซน์



รูปที่ 3.1 วงจรสังเคราะห์ฟังก์ชันอาร์คไซน์ที่อ่วมกับวงจรตามแรงดัน



จากหลักการของวงจรสังเคราะห์พิมพ์ชั้นอาร์คไซน์ซึ่งได้อธิบายในบทที่ 2 เพื่อทำไปในกหอสมุด  
เอาต์พุตของวงจรอยู่ในรูปของสัญญาณแรงดันไฟฟ้า ในที่นี่ได้ใช้วิธีนำตัวถ่วงท่าน  $R_o$  และวงจร<sup>๑</sup>  
ตามแรงดัน (voltage follower or buffer) มาต่อร่วมดังแสดงในรูปที่ 3.1 โดยจะสามารถวิเคราะห์หา  
ความสัมพันธ์ระหว่างค่าแรงดันเอาต์พุต  $V_{out}$  ของวงจรกับค่าแรงดันอินพุต  $V_{in}$  ได้ดังนี้คือ - ๕ JUL 2011

$$V_{out} = R_o I_{out} = R_o \left\{ \frac{m V_{in}}{R_{s1}} + \frac{I_{B2}}{K_T} \tanh^{-1} \left( \frac{m V_{in}}{I_{B2} R_{s1}} \right) \right\} \quad (3.1a)$$

$$m = 1 - \frac{V_{A(\max)}}{(R_{s2a} + R_{s2b}) I_{in(\max)}} = \frac{I_{l(\max)}}{I_{B2}} \quad (3.1b)$$

$$K_T = \frac{I_{B2}}{b I_{B4}} \quad (3.1c)$$

$$b = \frac{R_{s2b}}{(R_{s2a} + R_{s2b})} \quad (3.1d)$$

เมื่อ  $I_{Bi}$  ก็คือ ค่ากระแสใบอัลตร้าโอดำดับที่  $i$  (A)

$I_{l(\max)}$  ก็คือ ค่ากระแสสูงสุดที่ยอมให้ไฟล์ผ่าน OTA<sub>2</sub> (A)

$I_{in(\max)}$  ก็คือ ค่าแอนอล็อกหรือค่ายอดสูงสุดของสัญญาณกระแสอินพุต  $I_{in}$  (A)

$V_{A(\max)}$  ก็คือ ค่าแรงดันตกคร่อมขาอินพุตของ OTA<sub>2</sub> ขณะที่มีกระแส  $I_{in(\max)}$

ไฟล์ผ่านตัวถ่วงท่าน  $R_{s1}$  (V)

จากสมการที่ (3.1) ในทำนองเดียวกันกับหลักการในหัวข้อ 2.3 นั้นคือการอาศัยการกระจายอนุกรม<sup>๒</sup>  
กำลังของสมการที่ (3.1) จะสามารถประมาณค่าแรงดันเอาต์พุต  $V_{out}$  ของวงจรได้มีค่าเท่ากับ

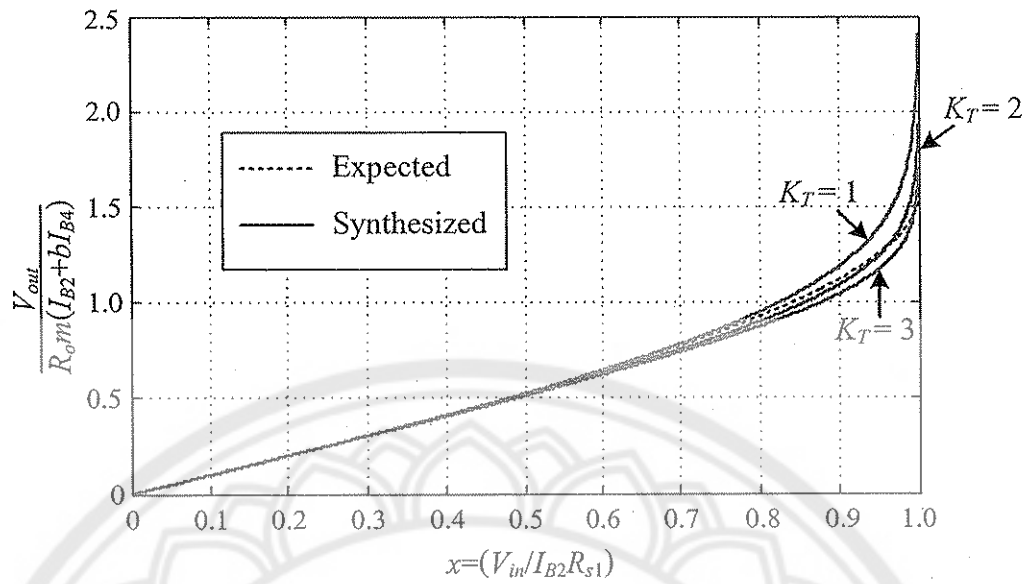
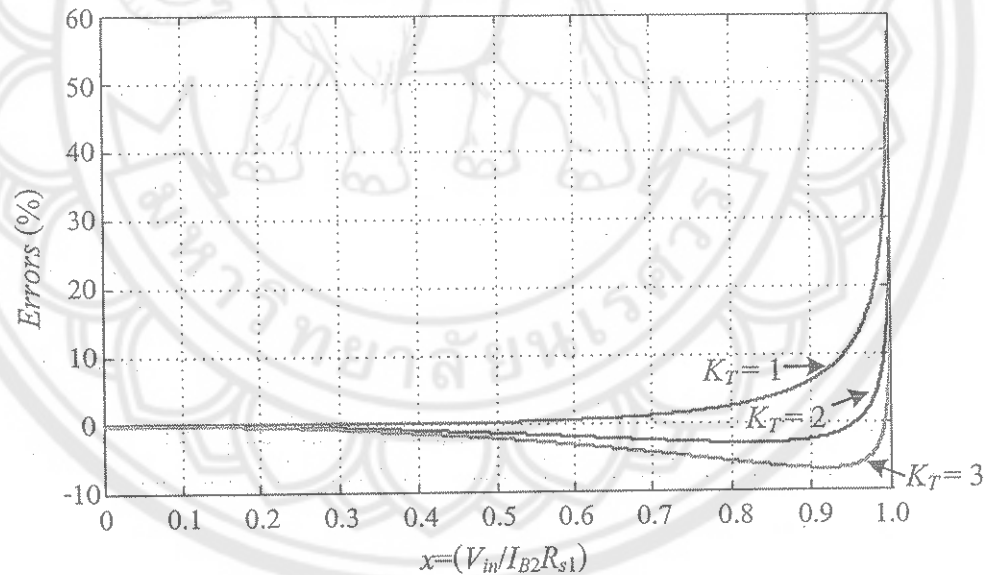
$$V_{out} = R_o m b I_{B4} (1 + K_T) \sin^{-1} \left( \frac{V_{in}}{I_{B2} R_{s1}} \right) \quad (3.2)$$

จากสมการที่ (3.1) และสมการที่ (3.2) ในการศึกษาค่าอนหน้าี้ [22-23] ได้กำหนดให้  $m$  มีค่าน้อยกว่า 1 เพื่อหลีกเลี่ยงกรณีที่เทอมของฟังก์ชัน  $\tanh^{-1}$  ในสมการที่ (3.1) มีค่าเป็นอนันต์ (infinity) ในขณะที่  $V_{in}/R_{s1}I_{B1}=1$  หรือในขณะที่ค่ามุมเท่ากับ  $\pi/2$  เรเดียน แต่ภายในงานวิจัยนี้ในส่วนของตัวแปลงสัญญาณรีไซล์เวอร์ที่ได้พัฒนาออกแบบขึ้น ได้ใช้ประโยชน์จากทั้งสัญญาณไซน์ค่ามุมแกนหมุนและสัญญาณโคลาชันค่ามุมแกนหมุนซึ่งจะมีเฟสแตกต่างกันอยู่  $\pi/2$  เรเดียน และเมื่อนำสัญญาณทั้งสองไปผ่านวงจรหาค่าสัมบูรณ์และวงจรหาค่าต่ำสุดก่อนที่จะนำมาป้อนเป็นอินพุตให้กับวงจรสังเคราะห์ฟังก์ชันอาร์คไซน์จะทำให้ขนาดของแรงดันอินพุตดังกล่าวมีค่าสูงสุดเท่ากับ 0.707 เท่าของค่าแรงดันอินพุตเดิมหรือเท่ากับมุม  $\pi/4$  เรเดียน ดังนั้นในงานวิจัยนี้จึงมุ่งความสนใจไปที่ช่วงปฏิบัติการดังกล่าวนี้

เพื่อทำให้สมการที่ (3.1) และสมการที่ (3.2) มีค่าใกล้เคียงกันมากที่สุดตลอดช่วงปฏิบัติการ 0 ถึง 0.707 ในงานวิจัยนี้ได้กำหนดให้  $m$  มีค่าเท่ากับ 1 และทำการเขียนโปรแกรมคอมพิวเตอร์เพื่อวิเคราะห์หาค่าพารามิเตอร์  $K_T$  ที่เหมาะสมที่จะใช้กับวงจรในรูปที่ 3.1

### 3.2 ผลการวิเคราะห์หาค่าพารามิเตอร์ที่เหมาะสมของวงจรสังเคราะห์ฟังก์ชันอาร์คไซน์

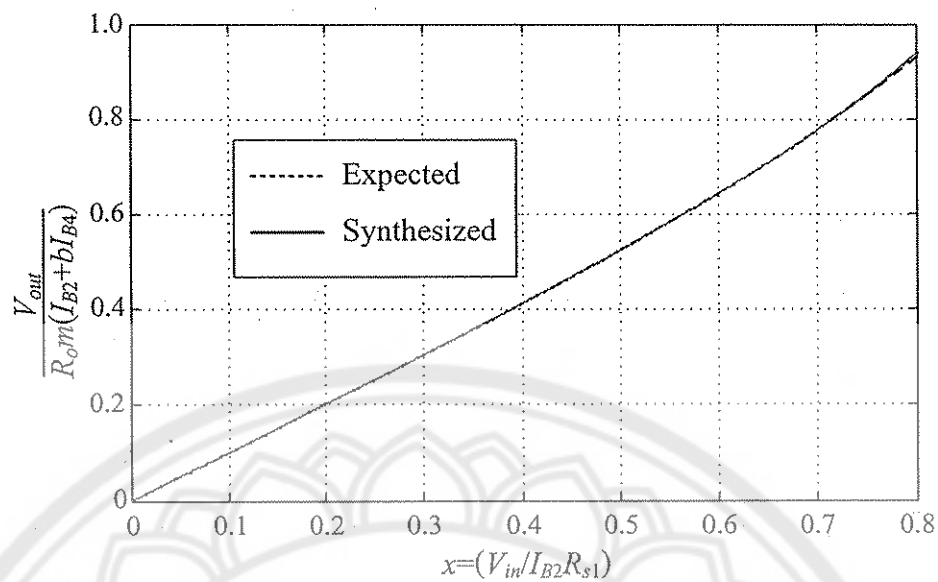
ในรูปที่ 3.2 และรูปที่ 3.3 แสดงผลการเขียนโปรแกรมเปรียบระหว่างสมการที่ต้องการสังเคราะห์ (Expected) นั่นคือสมการที่ (3.2) กับสมการที่ได้ทำการสังเคราะห์ขึ้น (Synthesized) ซึ่งได้แก่สมการที่ (3.1) โดยทำการแปรค่าขนาดของแรงดันอินพุต  $V_{in}$  และค่าพารามิเตอร์  $K_T$  เมื่อกำหนดให้พารามิเตอร์  $m = 1$  โดยจะเห็นได้ว่า ช่วงปฏิบัติการ  $V_{in}/I_{B2}R_{s1}$  มีค่าเท่ากับ 0 ถึง 1 ค่าความแตกต่างของทั้งสองสมการ (Errors) จากการเลือกใช้พารามิเตอร์  $K_T$  ต่าง ๆ จะมีความแตกต่างกัน เมื่อพิจารณาในช่วงที่ค่า  $V_{in}/I_{B2}R_{s1}$  มีค่าเข้าใกล้ 1 จะเห็นได้อย่างชัดเจนว่าค่า Errors ที่ได้จะมีการเปลี่ยนแปลงอย่างมาก โดยจะมีค่าความผิดพลาดสูงสุดมากกว่า 10 เปลอร์เซ็นต์ขึ้นไป แต่มีอพิจารณาในช่วง  $V_{in}/I_{B2}R_{s1}$  มีค่าเท่ากับ 0 ถึง 0.707 ดังแสดงในรูปที่ 3.3 จะเห็นได้ว่าทั้งสองสมการมีค่าใกล้เคียงกันมากโดยเฉพาะอย่างยิ่งที่ค่าพารามิเตอร์  $K_T$  มีค่าเท่ากับ 1.184 จะได้ค่าความแตกต่างสูงสุดของทั้งสองสมการประมาณเท่ากับ 0.195 เปลอร์เซ็นต์ ดังนั้นในงานวิจัยนี้จึงได้เลือกใช้พารามิเตอร์  $m = 1$  และพารามิเตอร์  $K_T = 1.184$  เป็นค่าคงที่หลักสำหรับใช้ในการออกแบบและการกำหนดค่าพารามิเตอร์อื่น ๆ ของวงจรสังเคราะห์ฟังก์ชันอาร์คไซน์

(ก) เอ่าต์พุตของสมการเมื่อใช้พารามิเตอร์  $K_T$  ค่าต่าง ๆ

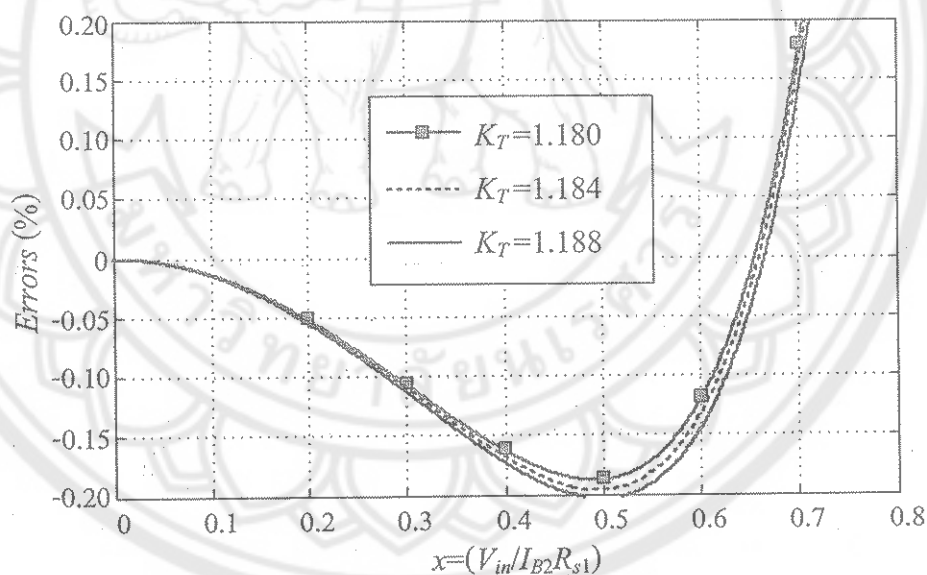
(ข) ค่าความแตกต่างของห้องส่องสมการ

รูปที่ 3.2 ผลการวิเคราะห์หาค่าพารามิเตอร์  $K_T$  ที่เหมาะสม

ณ ช่วงปฎิบัติการ  $V_{in}/I_{B2}R_{s1}$  มีค่าเท่ากับ 0 ถึง 1



(ก) เอาร์พุตของทั้งสองสมการ



(ข) ค่าความแตกต่างของทั้งสองสมการ

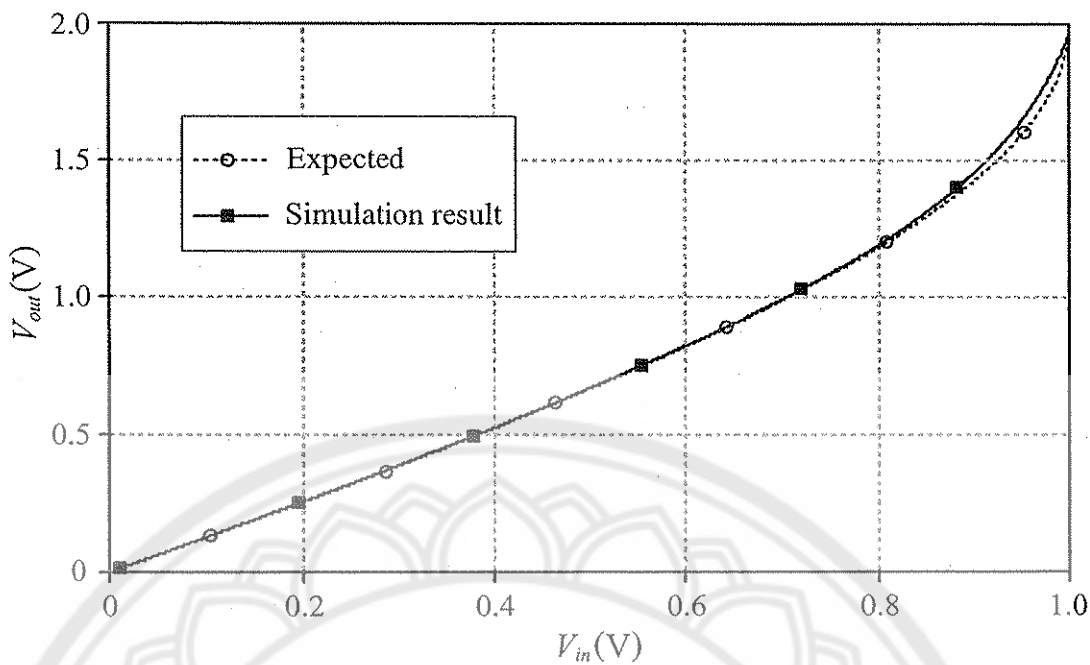
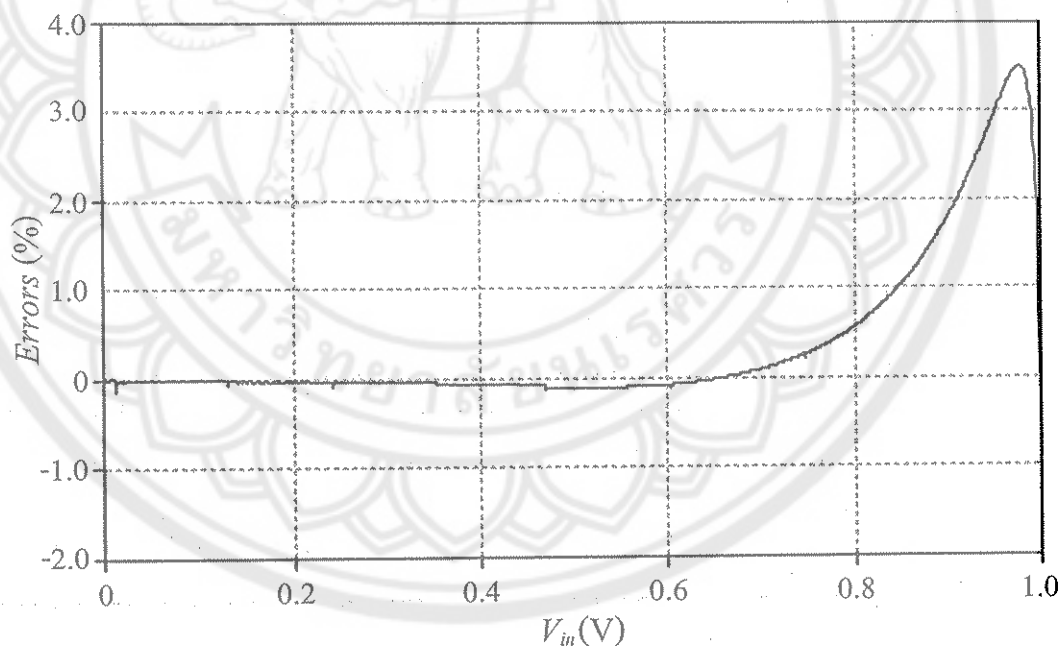
รูปที่ 3.3 ผลการวิเคราะห์หาค่าพารามิเตอร์  $K_T$  ที่เหมาะสม

ณ ช่วงปัจจัยการ  $V_{in}/I_{B2}R_{s1}$  มีค่าเท่ากับ 0 ถึง 0.707

### 3.3 การเลียนแบบและผลการเลียนแบบการทำงานของวงจรด้วยโปรแกรม PSPICE

สำหรับการทดสอบคุณสมบัติการทำงานของวงจรสังเคราะห์ฟังก์ชันอาร์คไซน์ในเบื้องต้นได้ใช้วิธีเลียนแบบการทำงานของวงจรด้วยโปรแกรม PSPICE โดยได้ใช้ไบโพลาร์ทรานซิสเตอร์ชนิดเอ็นพีเอ็น(npn) เบอร์ Q2N3904 ชนิดพีเอ็นพี(pnp) เบอร์ Q2N3906 ต่อร่วมกันเป็นวงจรไอทีเอ [28] และนำไอทีเอแต่ละตัวมาต่อร่วมกันเป็นวงจรสังเคราะห์ฟังก์ชันอาร์คไซน์ตามรูปที่ 3.1 โดยอุปกรณ์  $A_0$  ที่ใช้สำหรับต่อเป็นวงจรตามแรงดันคือรุ่น LM358 ค่าความด้านثان  $R_{s1}$ ,  $R_{s2a}$  และ  $R_{s2b}$  มีค่าเท่ากับ  $10 \text{ k}\Omega$ ,  $80 \text{ k}\Omega$  และ  $20 \text{ k}\Omega$  ตามลำดับ ค่ากระแสใบอัต  $I_{B1}$ ,  $I_{B2}$  และ  $I_{B3}$  มีค่าเท่ากับ  $500 \mu\text{A}$ ,  $100 \mu\text{A}$  และ  $100 \mu\text{A}$  ตามลำดับ เนื่องจากในที่นี้ได้กำหนดให้  $(R_{s2a} + R_{s2b})$  มีค่าสูงมากจนถือได้ว่าพารามิเตอร์  $m$  ในสมการที่ (3.1) และสมการที่ (3.2) มีค่าประมาณเท่ากับ 1 สำหรับพารามิเตอร์  $b$  จากการคำนวณตามสมการที่ (3.1d) จะมีค่าเท่ากับ 0.2 เมื่อเลือกใช้พารามิเตอร์  $K_T = 1.184$  ดังนั้นจะสามารถคำนวณค่ากระแส  $I_{B4}$  ได้มีค่าเท่ากับ  $422.3 \mu\text{A}$  แต่จากการทดลองพบว่าพารามิเตอร์  $b$  มีค่าน้อยกว่าการคำนวณค่อนข้างมากอันเนื่องมาจากค่าความด้านثانแฟรงก์ที่ขาอินพุตของ  $\text{OTA}_4$  ดังนั้นเพื่อทำให้  $K_T$  มีค่าตามที่กำหนดจึงต้องปรับค่ากระแส  $I_{B4}$  ให้มีค่ามากกว่าการคำนวณโดยมีหลักพิจารณาคือ  $bI_{B4} = I_{B2}/K_T$  จะต้องมีค่าเท่ากับ  $84.46 \mu\text{A}$  หรือ  $bI_{B4}\tanh^{-1}(0.707) = 74.42 \mu\text{A}$  ซึ่งจากการทดลองจะได้ค่า  $I_{B4}$  มีค่าเท่ากับ  $1300 \mu\text{A}$  และเมื่อต้องการกำหนดให้ค่าแรงดันเอต์พุต  $V_{out}$  มีค่าเท่ากับ  $1 \text{ V}$  ที่ค่ามุม  $\pi/4 \text{ rad}$ . หรือ  $90^\circ$  (ขณะที่  $V_{in}$  มีค่าเท่ากับ  $0.707 \text{ V}$ ) จะต้องกำหนดค่า  $R_o = 6.9 \text{ k}\Omega$

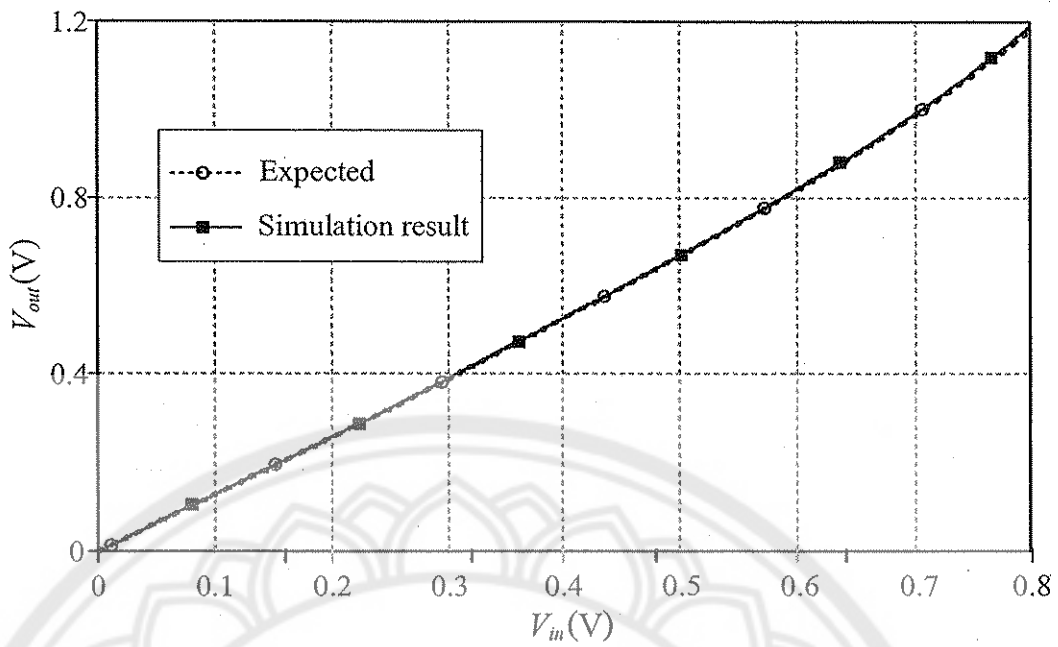
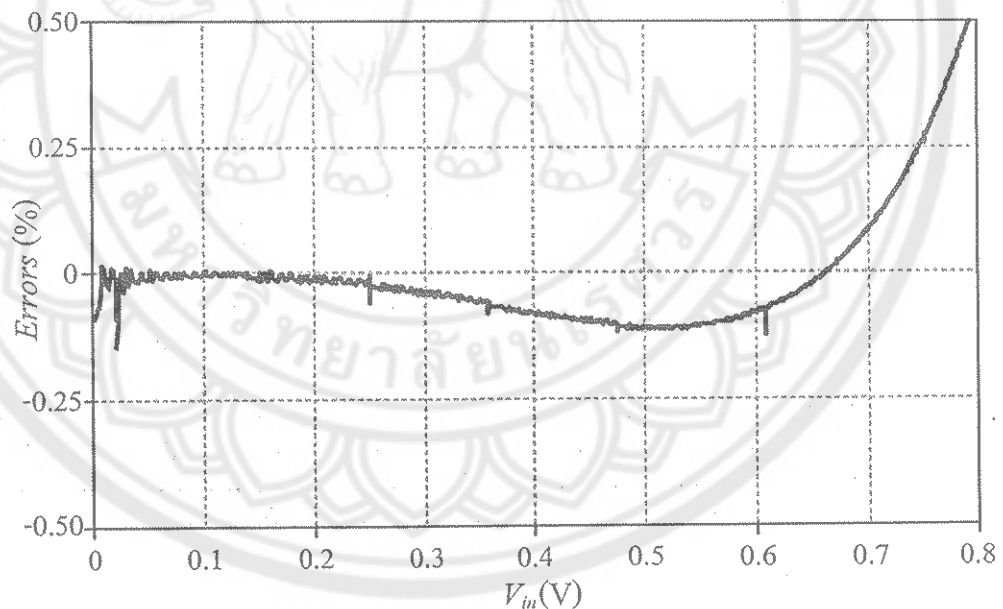
รูปที่ 3.4 ถึง 3.6 แสดงผลการเลียนแบบการทำงานของวงจรด้วยโปรแกรม PSPICE โดยในรูปที่ 3.4 แสดงผลการทดสอบคุณสมบัติทางดีซี (DC characteristics) ของวงจร ซึ่งทดสอบโดยทำการแปรค่าสัญญาณแรงดันอินพุต  $V_{in}$  ให้มีค่าเท่ากับ  $0 \text{ V}$  ถึง  $1 \text{ V}$  โดยจะเห็นได้ว่าที่ช่วงแรงดันอินพุต  $V_{in}$  มีค่าน้อยกว่า  $0.8 \text{ V}$  จะได้ค่าสัญญาณแรงดันเอต์พุต  $V_{out}$  จากผลการเลียนแบบการทำงาน (Simulation result) มีค่าใกล้เคียงกับค่าในอุดมคติ (Expected) และเมื่อ  $V_{in}$  มีค่ามากกว่า  $0.8 \text{ V}$  เป็นต้นไปค่าผิดพลาดจะมีค่ามากขึ้นอย่างมากทั้งนี้สามารถวัดค่าผิดพลาด (Errors) สูงสุดได้ประมาณเท่ากับ  $3.5\%$  ในรูปที่ 3.5 แสดงผลการทำงานเมื่อพิจารณาในช่วงของแรงดันอินพุตที่เล็กลง โดยทำการแปรค่าแรงดันอินพุต  $V_{in}$  ให้มีค่าเท่ากับ  $0 \text{ V}$  ถึง  $0.8 \text{ V}$  ซึ่งจะเห็นได้ว่าค่าแรงดันเอต์พุต  $V_{out}$  จากผลการเลียนแบบการทำงานมีค่าใกล้เคียงกับค่าในอุดมคติมาก เมื่อพิจารณาในช่วงขนาดของแรงดันอินพุตมีค่าไม่เกิน  $0.707 \text{ V}$  จะสามารถวัดค่าผิดพลาดได้น้อยกว่า  $0.2\%$  ซึ่งมีแนวโน้มไปในทางเดียวกันกับหลักการวิเคราะห์และประมาณในหัวข้อก่อนหน้านี้

(ก) สัญญาณเอาต์พุต  $V_{out}$  ของวงจร

(ก) ค่าผิดพลาดของวงจร

รูปที่ 3.4 ผลการทดสอบคุณสมบัติทางดีซีของวงจร จากการเลียนแบบการทำงาน

ในช่วงแรงดันอินพุต  $V_{in}$  มีค่าเท่ากับ 0 V ถึง 1 V

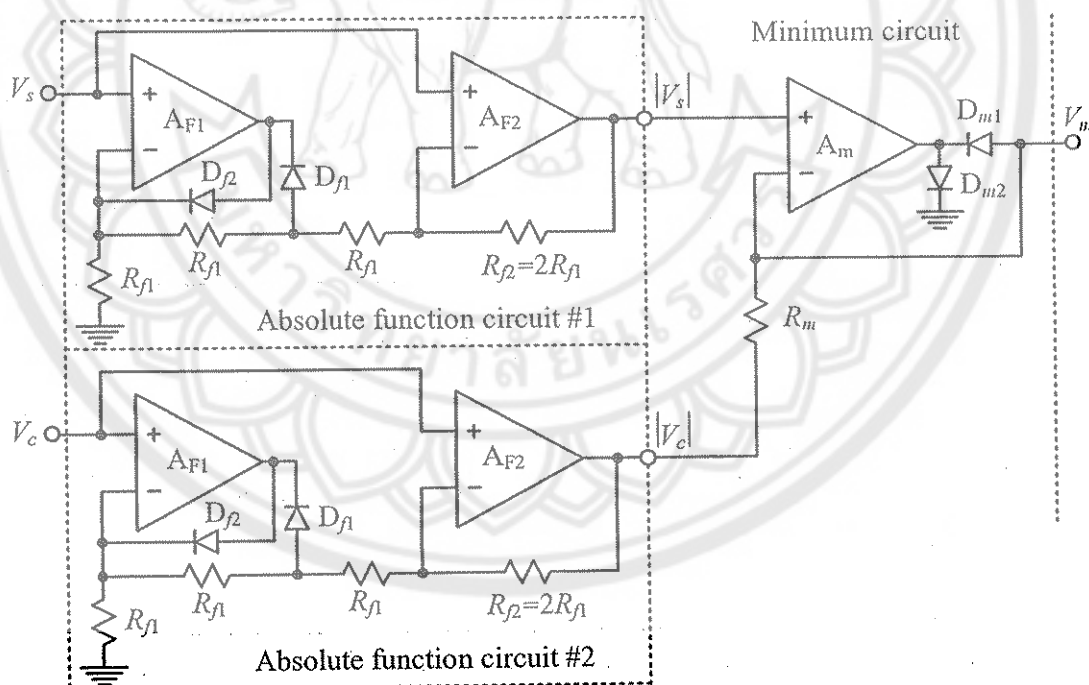
(ก) สัญญาณเอาต์พุต  $V_{out}$  ของวงจร

(ข) ค่าผิดพลาดของวงจร

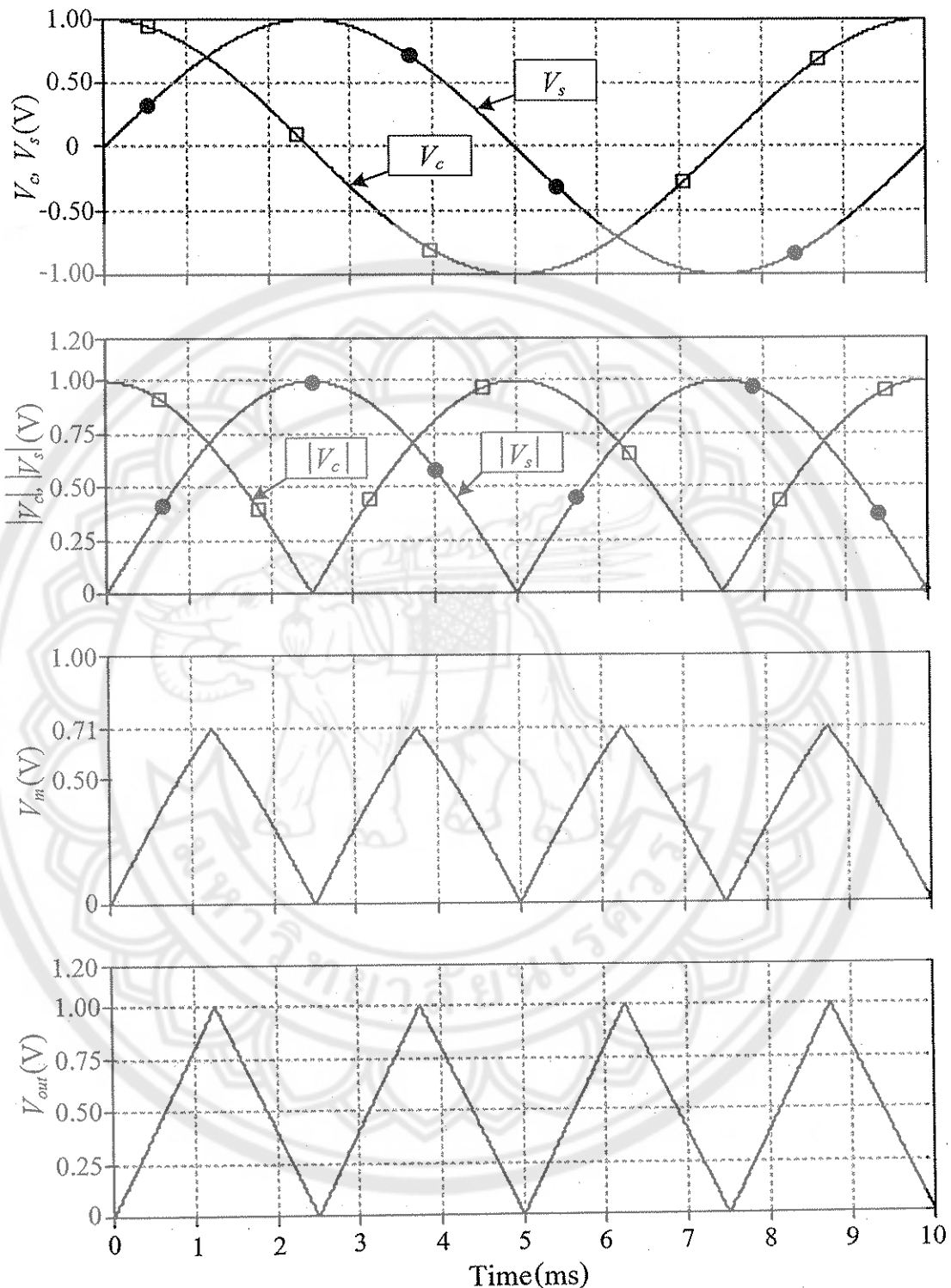
รูปที่ 3.5 ผลการทดสอบคุณสมบัติทางดีซีของวงจรจากการเลียนแบบการทำงาน

ในช่วงแรงดันอินพุต  $V_{in}$  มีค่าเท่ากับ 0 V ถึง 0.8 V

ในรูปที่ 3.7 แสดงผลการเลียนแบบการทำงาน โดยการนำสัญญาณไซนุซอยด์ (sinusoidal signals) สองสัญญาณที่มีความถี่และค่าแอมเพลจูดเท่ากันแต่มีเฟสแตกต่างกัน  $\pi/2$  rad. ไปผ่านวงจร หาค่าสัมบูรณ์ (Absolute function circuit or Full wave rectifiers) และวงจรหาค่าต่ำสุด (Minimum circuit) ดังแสดงในรูปที่ 3.6 และนำสัญญาณเอาต์พุต  $V_m$  ที่ได้จากการหาค่าต่ำสุดไปเป็นอินพุต  $V_{in}$  ของวงจรสัมคละที่ฟังก์ชันอาร์กไซน์ตามวงจรในรูปที่ 3.1 ออปแอมป์ที่ใช้สำหรับวงจรในรูปที่ 3.6 ทุกตัวคือรุ่น LM358 ไดโอดทุกตัวที่ใช้คือรุ่น D1N4148 ตัวด้านหน้า  $R_{f1}$ ,  $R_{f2}$  และ  $R_m$  มีค่าเท่ากับ  $1\text{ k}\Omega$ ,  $2\text{ k}\Omega$  และ  $1\text{ k}\Omega$  ตามลำดับ จากผลการเลียนแบบการทำงานจะเห็นได้ว่าสัญญาณแรงดันเอาต์พุต  $V_{out}$  ของวงจรที่ได้จะเป็นสัญญาณรูปสามเหลี่ยมที่มีความถี่เป็น 4 เท่าของสัญญาณไซนุซอยด์เริ่มต้น ( $V_s$  และ  $V_c$ ) เมื่อพิจารณาสัญญาณแรงดันเอาต์พุต  $V_{out}$  เปรียบเทียบกับค่ามุนของสัญญาณไซนุซอยด์อินพุตจะเห็นได้ว่าในขณะที่ค่ามุนแปรค่าไปจาก 0 ถึง  $2\pi$  จะได้อาต์พุตของวงจรเป็นสัญญาณที่มีความเป็นเชิงเส้นแบบเป็นช่วง (piecewise linear) กับค่ามุน โดยจะสามารถแบ่งความชันออกได้เป็น 8 ช่วง โดยมีทั้งความชันที่มีค่าเป็นบวกและความชันที่มีค่าเป็นลบสลับกัน



รูปที่ 3.6 วงจรหาค่าสัมบูรณ์ต่อร่วมกับวงจรหาค่าต่ำสุด



รูปที่ 3.7 ผลการทดสอบวงจรด้วยตัวอย่างไซนุซอยด์ จากการเลียนแบบการทำงาน

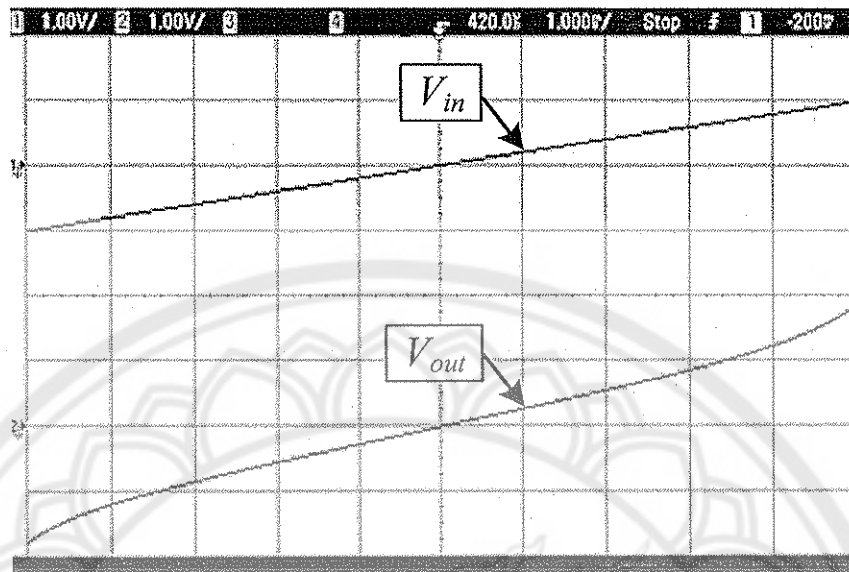
### 3.4 การทดสอบและผลการทดสอบการทำงานของวงจรโดยการต่อวงจรจริง

หลังจากทำการทดสอบการทำงานของวงจรด้วยโปรแกรม PSPICE ในลำดับต่อมาเป็นการทดสอบคุณสมบัติการทำงานของวงจรสัมเคราะห์ฟังก์ชันอาร์คไซน์ด้วยวิธีการต่อวงจรจริง โดยได้อาศัยหลักการเดือกกำหนดค่าพารามิเตอร์ต่างๆ เมื่อเทียบกับวิธีการเดียนแบบการทำงาน นั่นคือจะใช้ค่ากระแสในอัลตร้าจีที่  $I_{B4}$  แต่ได้อาศัยหลักการเดียวกันในการพิจารณาคือ  $bI_{B4} = I_{B2}/K_T$  จะต้องมีค่าเท่ากับ  $84.46 \mu\text{A}$  หรือ  $bI_{B4}\tanh^{-1}(0.707) = 74.42 \mu\text{A}$  ในส่วนของอุปกรณ์ต่างๆ ที่ใช้ เช่น օบป開啟ปีและไดโอด ได้ใช้รุ่นเดียวกับวิธีการเดียนแบบการทำงาน ยกเว้น โอทีเอที่ใช้เป็นแบบไอซีสำเร็จรูปรุ่น CA3280

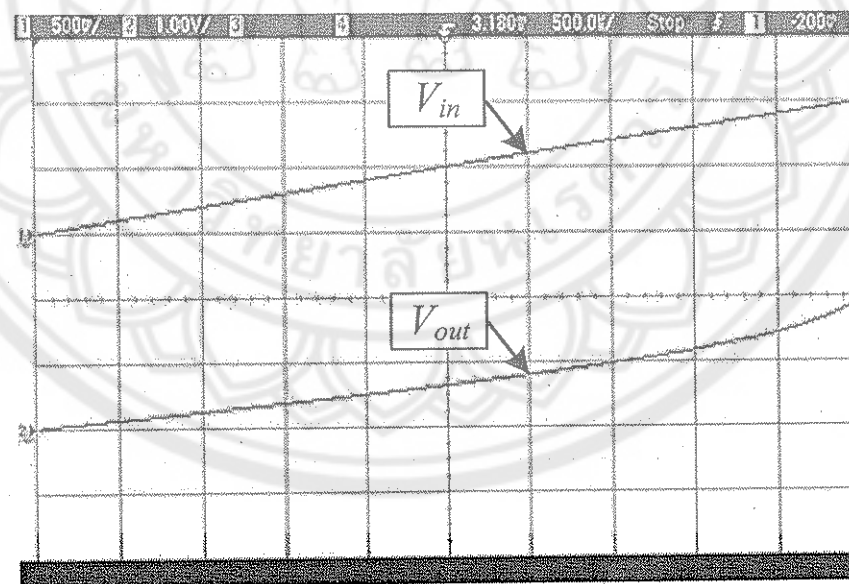
ในรูปที่ 3.8 และรูปที่ 3.9 แสดงผลการทดสอบคุณสมบัติทางดีซีของวงจร โดยในรูปที่ 3.8 เป็นการแปรค่าสัญญาณแรงดันอินพุต  $V_{in}$  จาก  $-1 \text{ V}$  ถึง  $1 \text{ V}$  ซึ่งคิดเป็นมุมเท่ากับ  $-\pi/2$  ถึง  $\pi/2$  ในรูปที่ 3.9 แสดงผลการทำงานเมื่อแรงดันอินพุตแปรค่าจาก  $0 \text{ V}$  ถึง  $1 \text{ V}$  ซึ่งคิดเป็นมุมเท่ากับ  $0$  ถึง  $\pi/2$  หรือเท่ากับ  $0^\circ$  ถึง  $90^\circ$  โดยจะเห็นได้ว่ารูปร่างของสัญญาณมีลักษณะเดียวกันกับผลจากการใช้โปรแกรมคอมพิวเตอร์วัดรูปของสัญญาณตามสมการที่ได้สังเคราะห์ขึ้นและผลจากการเดียนแบบการทำงานของวงจรด้วยโปรแกรม PSPICE โดยสามารถวัดขนาดของค่าผิดพลาดสูงสุดในช่วงที่สัญญาณแรงดันอินพุตมีค่าเท่ากับ  $0 \text{ V}$  ถึง  $0.707 \text{ V}$  (เท่ากับมุม  $0$  ถึง  $\pi/4$ ) ได้ประมาณเท่ากับ  $0.2\%$

ในรูปที่ 3.10 และรูปที่ 3.11 แสดงผลการทดสอบการทำงานของวงจรในรูปที่ 3.1 โดยกำหนดให้อินพุต ของวงจรเป็นสัญญาณแรงดันรูปสามเหลี่ยมและสัญญาณแรงดันรูปไซน์ตามลำดับ โดยที่ค่าแอมเพลิจูดและค่าความถี่ของสัญญาณแรงดันอินพุตทั้งสองกำหนดให้มีค่าเท่ากันนั่นคือมีค่าแอมเพลิจูดเท่ากับ  $1 \text{ V}$  และค่าความถี่เท่ากับ  $50 \text{ Hz}$  โดยจะเห็นได้ว่าผลการทำงานในรูปที่ 3.10 จะสอดคล้องกับผลการทดสอบคุณสมบัติทางดีซีของวงจรในรูปที่ 3.8 เมื่อพิจารณารูปที่ 3.11 จะเห็นได้ว่าในขณะที่ขนาดของสัญญาณแรงดันอินพุตรูปไซน์  $|V_{in}|$  มีค่าน้อยกว่า  $0.707 \text{ V}$  (พิจารณาเป็นค่ามุมจะอยู่ในช่วง  $\pm\pi/4$ ) จะได้สัญญาณแรงดันเอาต์พุต  $V_{out}$  ที่มีรูปร่างเป็นเชิงเส้นกับค่ามุมของสัญญาณแรงดันอินพุต  $V_{in}$  ในรูปที่ 3.12 แสดงผลการทดสอบการทำงานโดยการนำสัญญาณไซนุชอยด์สองสัญญาณที่มีแอมเพลิจูดเท่ากับ  $1 \text{ V}$  เท่ากัน ความถี่เท่ากับ  $50 \text{ Hz}$  เท่ากัน แต่มีเฟสแตกต่างกัน  $\pi/2$  ไปผ่านวงจรหาค่าสมบูรณ์และวงจรหาค่าต่ำสุดตามวงจรในรูปที่ 3.6 และนำสัญญาณเอาต์พุตของวงจรหาค่าต่ำสุด  $V_{m}$  ไปเป็นอินพุต  $V_{in}$  ให้กับวงจรสัมเคราะห์ฟังก์ชันอาร์คไซน์ เช่นเดียวกับวิธีการเดียนแบบการทำงาน โดยจะเห็นได้ว่าจะได้สัญญาณแรงดันเอาต์พุต  $V_{out}$

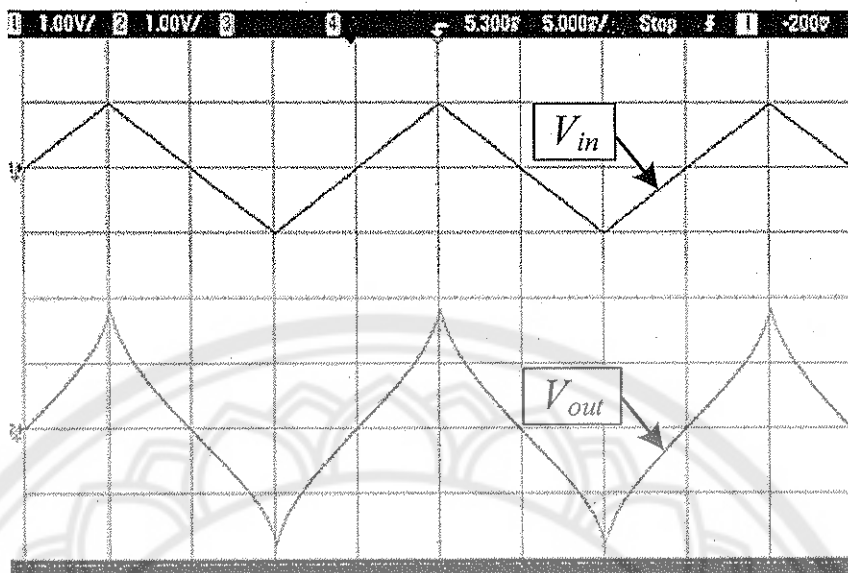
ของวงจรสัมเคราะห์ฟังก์ชันอาร์คไนน์เป็นสัญญาณรูปสามเหลี่ยม เช่นเดียวกับวิธีการเลือกแบบการทำงานด้วยโปรแกรม PSPICE



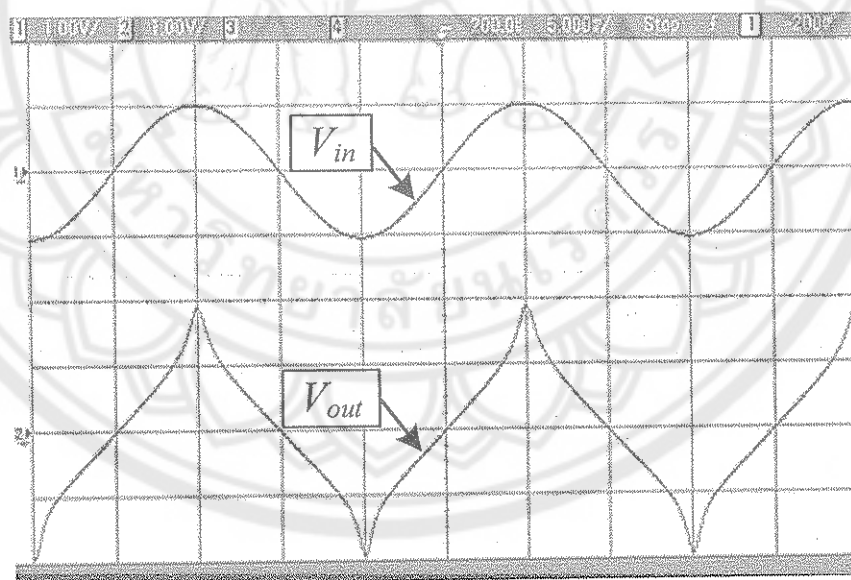
รูปที่ 3.8 ผลการทดสอบคุณสมบัติทางคีซีของวงจร จากการต่อวงจรบนบอร์ดทดลอง ในช่วงแรงดันอินพุต  $V_{in}$  มีค่าเท่ากับ -1 V ถึง 1 V



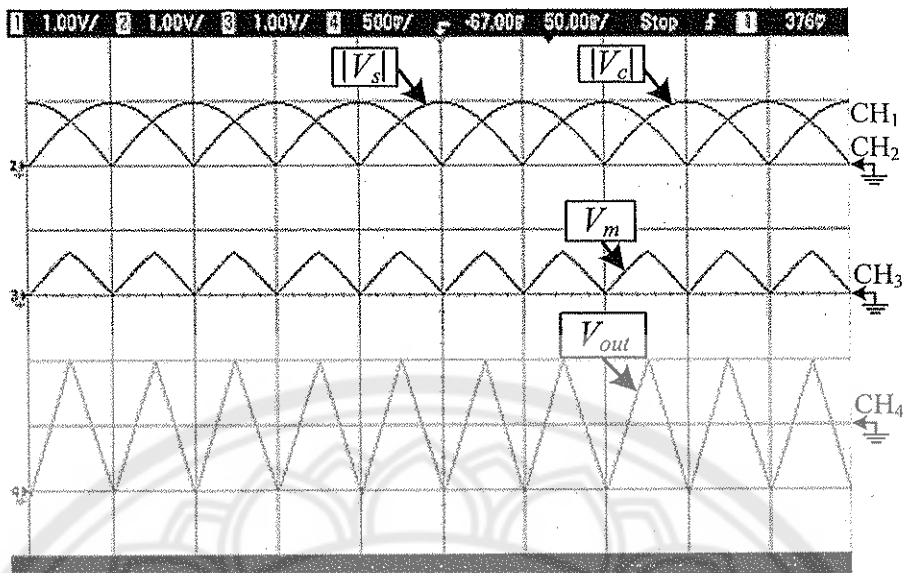
รูปที่ 3.9 ผลการทดสอบคุณสมบัติทางคีซีของวงจร จากการต่อวงจรบนบอร์ดทดลอง ในช่วงแรงดันอินพุต  $V_{in}$  มีค่าเท่ากับ 0 V ถึง 1 V



รูปที่ 3.10 ผลการทดสอบการทำงานของวงจร เมื่ออินพุตเป็นสัญญาณแรงดันรูปสามเหลี่ยมที่มีแอนพลิจูดเท่ากับ 1 V ความถี่เท่ากับ 50 Hz



รูปที่ 3.11 ผลการทดสอบการทำงานของวงจร เมื่ออินพุตเป็นสัญญาณแรงดันรูปไซน์ที่มีแอนพลิจูดเท่ากับ 1 V ความถี่เท่ากับ 50 Hz



รูปที่ 3.12 ผลการทดสอบการทำงานของวงจร เมื่อสัญญาณแรงดันอินพุต  
ถูกจำกัดให้อยู่ในช่วง 0 V ถึง 0.707 V

### 3.5 สรุป

การออกแบบวงจรสังเคราะห์ฟังก์ชันอาร์คไซน์แบบที่ใช้ไอทีเอเป็นพื้นฐานในการออกแบบ เป็นหลักการใหม่ที่น่าสนใจซึ่งได้เคยมีการนำเสนอไว้ในปี พ.ศ. 2549 [23] หลักการของการออกแบบเป็นการอาศัยการประมาณค่าของฟังก์ชันที่สังเคราะห์ขึ้นจากวงจรให้มีค่าใกล้เคียงกับฟังก์ชันอาร์คไซน์ ในบทนี้ได้อธิบายถึงการปรับปรุงความถูกต้องของวงจรสังเคราะห์ฟังก์ชันอาร์คไซน์ดังกล่าว จากหลักการวิเคราะห์วงจรจะได้ความสัมพันธ์ระหว่างฟังก์ชันที่สังเคราะห์ขึ้นและฟังก์ชันอาร์คไซน์ซึ่งได้จากการประมาณโดยมีพารามิเตอร์ในสมการที่สำคัญ 2 ตัวคือพารามิเตอร์  $m$  และพารามิเตอร์  $K_T$  เมื่อ  $m$  คืออัตราส่วนของค่ากระแส ( $I_1$ ) ที่ย้อนให้ไหลดผ่านตัว OTA<sub>2</sub> ต่อค่ากระแสอินพุต  $I_{in}$  ของวงจร (หรือ  $m = I_1/I_{in}$ ) สำหรับ  $K_T$  คืออัตราส่วนของค่ากระแสในอัตต  $I_{B2}$  ของ OTA<sub>2</sub> ต่อค่าของผลคูณระหว่างค่ากระแสในอัตต  $I_{B4}$  ของ OTA<sub>4</sub> กับค่าพารามิเตอร์  $b$  (หรือ  $K_T = I_{B2}/bI_{B4}$ ) เมื่อ  $b = R_{s2a} / (R_{s2a} + R_{s2b})$  คือค่าอัตราการลดตอนแรงดันที่ตอกคร่อมขาอินพุตของ OTA<sub>2</sub> ไปเป็นแรงดันอินพุตให้กับ OTA<sub>4</sub> จากหลักการเดิมที่ได้เคยมีการนำเสนอไว้ เป็นการเลือกใช้พารามิเตอร์  $m = 0.966$  และพารามิเตอร์  $K_T = 0.927$  สำหรับใช้กับอินพุตในช่วง -1 ถึง 1 (หรือเท่ากับมุม  $-\pi/2$  ถึง  $\pi/2$ ) โดยสามารถวัดค่าผิดพลาดสูงสุดของวงจรได้ประมาณเท่ากับ 0.92% แต่สำหรับในงานวิจัยนี้เนื่องจากต้องการนำไปประยุกต์ใช้งานกับอินพุตในช่วง 0 ถึง 0.707 (หรือ

เท่ากับมุม  $0$  ถึง  $\pi/4$ ) ดังนั้นในการศึกษาครั้งนี้จึงได้มุ่งเน้นที่การปรับปรุงความถูกต้องในการทำงานของวงจรสังเคราะห์ฟังก์ชันอาร์คไซน์สำหรับอินพุตในช่วง  $0$  ถึง  $0.707$  โดยได้เขียนโปรแกรมคอมพิวเตอร์เพื่อเปรียบเทียบสมการทั้งสองสำหรับช่วยในการตัดสินใจเลือกใช้พารามิเตอร์  $m$  และพารามิเตอร์  $K_T$  ที่เหมาะสม ซึ่งผลการเลือกใช้คือพารามิเตอร์  $m = 1$  และพารามิเตอร์  $K_T = 1.184$  โดยจะได้ค่าผิดพลาดสูงสุดของวงจร มีค่าประมาณเท่ากับ  $0.195\%$  และผลจากการเลียนแบบการทำงานของวงจรด้วยโปรแกรม PSPICE และวิธีทดสอบด้วยวิธีการต่อวงจรจริงแสดงให้เห็นถึงความถูกต้องในการทำงานของวงจรซึ่งสอดคล้องกับหลักการซึ่งได้นำเสนอ



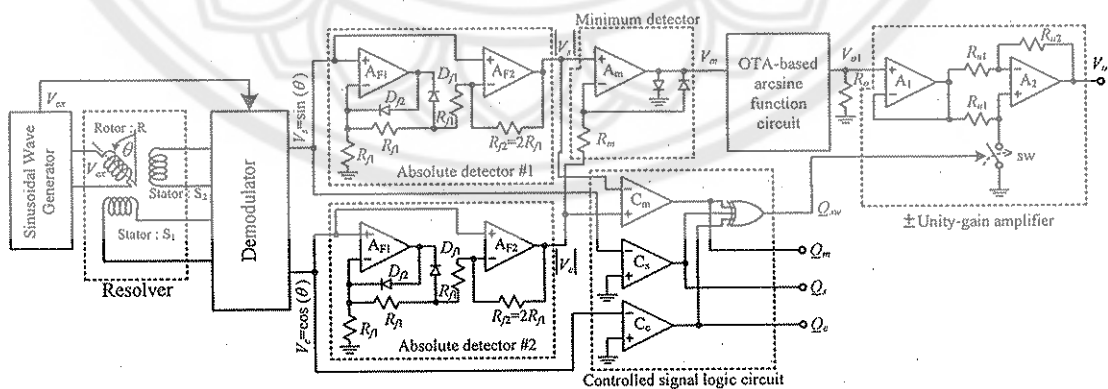
## บทที่ 4

### การออกแบบตัวแปลงสัญญาณรีโซลเวอร์เป็นสัญญาณดิจิทัล

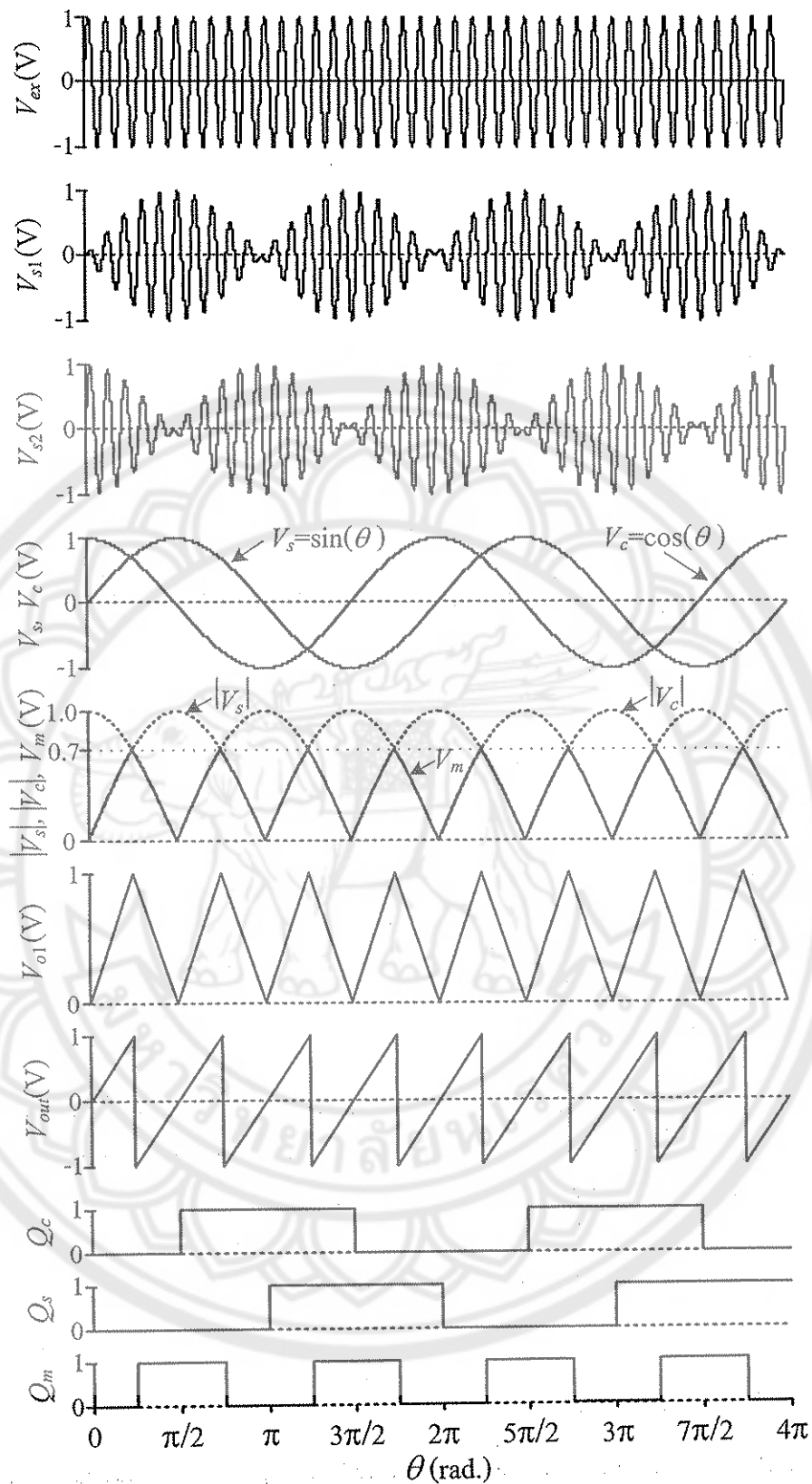
การออกแบบตัวแปลงสัญญาณรีโซลเวอร์เป็นสัญญาณดิจิทัลในงานวิจัยนี้ เป็นการประยุกต์ใช้ วงจรสังเคราะห์พงกชันอาร์คไซน์ซึ่งได้อธิบายในบทที่ 3 มาต่อร่วมกับวงจรเดินอุดลเอเตอร์ วงจรอ่า ค่าสัมบูรณ์ (หรือวงจรเรียงกระแสแบบเต็มคลื่น) วงจรอ่าค่าต่ำสุด วงจรขยาย  $\pm 1$  เท่า และวงจรสร้างสัญญาณลอจิกควบคุม ทั้งนี้เพื่อให้ได้สัญญาณเอาต์พุตของตัวแปลงสัญญาณรีโซลเวอร์เป็นสัญญาณดิจิทัลโดยมีความเป็นเชิงเส้นแบบเป็นช่วงกับค่ามุมแกนหมุนของรีโซลเวอร์ หลักการออกแบบจะใช้สัญญาณลอจิกสำหรับควบคุมจังหวะการทำงานของวงจรในส่วนอื่นๆ พร้อมทั้งใช้สำหรับเป็นตัวระบุช่วงต่างๆ ของค่ามุมแกนหมุน ในส่วนของการทดสอบการทำงานของตัวแปลงสัญญาณรีโซลเวอร์ที่ได้พัฒนาออกแบบขึ้นในเบื้องต้นจะใช้วิธีเลียนแบบการทำงานด้วยโปรแกรม PSPICE ต่อจากนั้นจะใช้วิธีต่อวงจรลงบนบอร์ดทดลองเพื่อทดสอบการทำงานจริง

#### 4.1 หลักการเบื้องต้นของตัวแปลงสัญญาณรีโซลเวอร์เป็นสัญญาณดิจิทัล

บล็อกໄโคะแกรมของตัวแปลงสัญญาณรีโซลเวอร์ที่ได้ทำการสังเคราะห์ขึ้นแสดงดังรูปที่ 4.1 ซึ่งจะประกอบด้วยส่วนที่เป็นตัวจ่ายสัญญาณกระแสต้น  $V_{ex}$  ให้กับรีโซลเวอร์ วงจรเดินอุดลเอเตอร์ (Demodulator) วงจรอ่าค่าสัมบูรณ์ (Absolute detector) หรือวงจรเรียงกระแสแบบเต็มคลื่น (Full-wave rectifier) วงจรอ่าค่าต่ำสุด (Minimum detector) วงจรสังเคราะห์พงกชันอาร์คไซน์แบบที่ใช้โอทีโอเป็นพื้นฐานในการออกแบบ วงจรขยาย  $\pm 1$  เท่า และวงจรสร้างสัญญาณลอจิกควบคุม



รูปที่ 4.1 บล็อกໄโคะแกรมของตัวแปลงสัญญาณรีโซลเวอร์เป็นสัญญาณดิจิทัล



รูปที่ 4.2 สัญญาณที่สำคัญต่าง ๆ ของตัวแปลงสัญญาณเรียลเวอร์

จากกฎที่ 4.1 จะเห็นได้ว่าในส่วนของวิธีการจ่ายสัญญาณกระแสให้กับรีไซล์เวอร์ในงานวิจัยนี้ใช้วิธีการจ่ายสัญญาณกระแสให้กับขดลวดโรเตอร์ และนำสัญญาณที่ได้จากขดลวด สเตเตอร์ทั้งสองไปประมวลผลเพื่อหาค่ามุมของแกนหมุนต่อไป จากหลักการทำงานของรีไซล์เวอร์ดังที่ได้อธิบายในหัวข้อที่ 2.1 เมื่อทำการจ่ายสัญญาณแรงดันกระแส  $V_{ex}$  ที่เป็นสัญญาณไซนัสoidalให้กับขดลวดโรเตอร์ R จะได้แรงดันต่อกคร่องขดลวดต่าง ๆ ของรีไซล์เวอร์ซึ่งสามารถเขียนได้เป็น

แรงดันต่อกคร่องขดลวดโรเตอร์ (R) ;  $V_R$

$$V_R = V_{ex} = A_{ex} \sin(\omega t) \quad (4.1)$$

แรงดันต่อกคร่องขดลวดสเตเตอร์ชิดแรก (S<sub>1</sub>) ;  $V_{s1}$

$$V_{s1} = kV_{ex} \sin(\theta) = kA_{ex} \sin(\omega t) \sin(\theta) \quad (4.2)$$

แรงดันต่อกคร่องขดลวดสเตเตอร์ชิดที่สอง (S<sub>2</sub>) ;  $V_{s2}$

$$V_{s2} = kV_{ex} \cos(\theta) = kA_{ex} \sin(\omega t) \cos(\theta) \quad (4.3)$$

- เมื่อ  $A_{ex}$  คือ ค่าแอนพลิจูดของสัญญาณกระแส (V)
- $\omega$  คือ ค่าความถี่ชิงมุมของสัญญาณกระแส (rad./s)
- $t$  คือ ค่าเวลา (s)
- $\theta$  ค่ามุมแกนหมุนของรีไซล์เวอร์ (rad.)
- $k$  คือ ค่าอัตราการส่งผ่านระหว่างขดลวดสเตเตอร์กับขดลวดโรเตอร์

จากสมการที่ (4.2) และ (4.3) เมื่อนำสัญญาณ  $V_{s1}$  และ  $V_{s2}$  ไปผ่านวงจรคีมอคูเตอร์ จะได้สัญญาณ  $V_s$  และ  $V_c$  ตามลำดับ และเมื่อทำการปรับค่าแอนพลิจูดของสัญญาณที่ได้ทั้งสองให้มีค่าเท่ากับ 1 โดยจะสามารถเขียนสมการแสดงความสัมพันธ์ได้เป็น

$$V_s = \sin(\theta) \quad (4.4)$$

$$V_c = \cos(\theta) \quad (4.5)$$

จากสมการที่ (4.4) และสมการที่ (4.5) เมื่อนำสัญญาณ  $V_s$  และ  $V_c$  ไปผ่านวงจรหาค่าสัมบูรณ์ หรือ วงจรเรียงกระแสแบบเด้มคลื่น ซึ่งจะได้สัญญาณ  $V_{sf}$  และ  $V_{cf}$  เป็นไปตามสมการที่ (4.6) และสมการที่ (4.7) ตามลำดับ

$$V_{sf} = |V_s| = |\sin(\theta)| \quad (4.6)$$

$$V_{cf} = |V_c| = |\cos(\theta)| \quad (4.7)$$

ในลำดับต่อมาเป็นการนำสัญญาณ  $V_{sf}$  และ  $V_{cf}$  ไปเป็นอินพุตของวงจรค่าต่ำสุดซึ่งออกแบบโดยใช้ตัวต้านทานต่อร่วมกับไอดิโอดและօปแอมป์ (operational amplifier; op-amp.) โดยจะได้สัญญาณเอาท์พุต  $V_m$  ของวงจรหาค่าต่ำสุดมีค่าเท่ากับ

$$V_m = \begin{cases} V_{sf} & ; V_{sf} < V_{cf} \\ V_{cf} & ; V_{sf} \geq V_{cf} \end{cases} \quad (4.8a)$$

หรือ

$$V_m = \begin{cases} |\sin \theta| & ; |\sin \theta| < |\cos \theta| \\ |\cos \theta| & ; |\sin \theta| \geq |\cos \theta| \end{cases} \quad (4.8b)$$

จากสมการที่ (4.8) เมื่อนำสัญญาณ  $V_m$  ไปผ่านวงจรวงจรตั้งเคราะห์พิงก์ชันอาร์คไซน์แบบที่ใช้ไอที่เอเป็นพื้นฐานในการออกแบบซึ่งได้อธิบายในบทที่ 3 โดยเมื่อพิจารณาจากการหมุนครบ 1 รอบ แกนหมุนของริโอแลเวอร์ (360 องศา หรือเท่ากับ  $2\pi$  เรเดียน) จะได้สัญญาณ  $V_{o1}$  ที่มีลักษณะเป็นเชิงเส้นแบบเป็นช่วง (piecewise linear) ซึ่งสามารถเขียนได้เป็น

$$V_{o1} = R_o G_o \begin{cases} \theta & ; 0 < \theta \leq \pi/4 \\ \pi/2 - \theta & ; \pi/4 < \theta \leq \pi/2 \\ \theta - \pi/2 & ; \pi/2 < \theta \leq 3\pi/4 \\ \pi - \theta & ; 3\pi/4 < \theta \leq \pi \\ \theta - \pi & ; \pi < \theta \leq 5\pi/4 \\ 3\pi/2 - \theta & ; 5\pi/4 < \theta \leq 6\pi/4 \\ \theta - 3\pi/2 & ; 6\pi/4 < \theta \leq 7\pi/4 \\ 2\pi - \theta & ; 7\pi/4 < \theta \leq 2\pi \end{cases} \quad (4.9)$$

เมื่อ  $G_o$  คือ ค่าอัตราขยายของวงจรวงจรสังเคราะห์ฟังก์ชันอาร์คไซน์ (A/rad.)  
 $R_o$  คือค่าความต้านทานที่ทำหน้าที่เป็นโหลดให้กับวงจรวงจรสังเคราะห์  
 ฟังก์ชันอาร์คไซน์ ( $\Omega$ )

จากสมการที่ (4.9) จะเห็นได้ว่าตลอด 1 รอบการหมุนของรีโซลเวอร์ ความสัมพันธ์ระหว่างสัญญาณ  $V_{o1}$  กับค่า  $\theta$  สามารถแบ่งออกได้เป็น 8 ช่วง โดยมีค่าความชันที่มีทั้งแบบที่มีค่าเป็นบวก และแบบที่มีค่าเป็นลบสลับกัน เพื่อทำการแก้ปัญหาดังกล่าวนี้ภายในการศึกษาครั้งนี้ได้ใช้วิธีนำสัญญาณ  $V_s$  และ  $V_c$  ไปผ่านวงจรตรวจจับผ่านสูญญากาศ  $C_s$  และ  $C_c$  เพื่อให้ได้สัญญาณลอจิก  $Q_s$  และ  $Q_c$  ตามลำดับ และนำสัญญาณ  $|V_s|$  และ  $|V_c|$  ไปผ่านวงจรเปรียบเทียบแรงดัน  $C_m$  เพื่อให้ได้สัญญาณลอจิก  $Q_m$  ทั้งนี้สัญญาณลอจิก  $Q_s$ ,  $Q_c$  และ  $Q_m$  จะใช้สำหรับเป็นอินพุตให้กับส่วนของการสร้างสัญญาณลอจิกควบคุม  $Q_{sw}$  ซึ่งจะใช้สำหรับการควบคุมจังหวะการทำงานของสวิตท์อิเล็กทรอนิกส์ SW ภายในวงจรขยาย ±1 เท่า

วงจรขยาย ±1 เท่า ทำหน้าที่สำหรับกลับค่าความชันของสัญญาณ  $V_{o1}$  ให้มีค่าเป็นบวกทั้งหมดตลอดช่วงการทำงาน ซึ่งจะได้ความสัมพันธ์ระหว่างแรงดันเอาต์พุต  $V_{out}$  ของตัวแปลงสัญญาณรีโซลเวอร์ กับค่ามุมแกนหมุน  $\theta$  ของรีโซลเวอร์ มีค่าเป็น

$$V_{out} = R_o G_o \begin{cases} \theta & ; 0 < \theta \leq \pi/4 \\ \theta - \pi/2 & ; \pi/4 < \theta \leq \pi/2 \\ \theta - \pi/2 & ; \pi/2 < \theta \leq 3\pi/4 \\ \theta - \pi & ; 3\pi/4 < \theta \leq \pi \\ \theta - \pi & ; \pi < \theta \leq 5\pi/4 \\ \theta - 3\pi/2 & ; 5\pi/4 < \theta \leq 6\pi/4 \\ \theta - 3\pi/2 & ; 6\pi/4 < \theta \leq 7\pi/4 \\ \theta - 2\pi & ; 7\pi/4 < \theta \leq 2\pi \end{cases} \quad (4.10)$$

ในรูปที่ 4.2 แสดงแผนภาพที่สำคัญ ๆ ของตัวแปลงสัญญาณรีโซลเวอร์ ณ ที่ค่ามุม  $\theta$  ต่าง ๆ โดยเพื่อความสะดวกสำหรับการคำนวณในที่นี้ได้ตั้งค่าให้แอนเพลจูดของสัญญาณ  $V_{o1}$  มีค่าเท่ากับ 1 โวลต์ ซึ่งทำได้โดยกำหนดให้  $R_o G_o = 4/\pi$  และได้กำหนดให้ค่าสูงสุดของสัญญาณ  $V_{out}$  มีค่าเท่ากับ 1 โวลต์ โดยรายละเอียดของวงจรขยาย ±1 เท่าจะได้กล่าวในหัวข้อที่ 4.3 วงจรสร้างสัญญาณลอจิกควบคุมจะอธิบายในหัวข้อที่ 4.4 สำหรับหลักการทำงานของวงจรคืนอคูเดเตอร์ซึ่งภายในวิธีนี้ได้อาศัยวงจรคืนอคูเดเตอร์แบบง่ายซึ่งเป็นที่รู้จักกันโดยทั่วไปนั่นคือการใช้วงจรคูมสัญญาณต่อร่วมกับวงจรกรองความถี่ต่อผ่าน [1-2] ซึ่งสามารถอธิบายหลักการทำงานได้ดังในหัวข้อที่ 4.2

## 4.2 วงจรดีมอคูลเอเตอร์ [1]

จากสมการที่ (4.2) และสมการที่ (4.3) เมื่อกำหนดให้  $\omega = 2\pi f_{ex}$  และ  $\theta = 2\pi f_R t$  โดยที่  $f_{ex}$  และ  $f_R$  คือค่าความถี่ของสัญญาณแรงดันกระตุ้นและค่าความถี่ของสัญญาณที่เกิดจากการหมุนของรีไซลิวอร์ตามลำดับ ดังนั้นสมการที่ (4.2) และ สมการที่ (4.3) จะสามารถเขียนใหม่ได้เป็น

$$V_{s1} = kA_{ex} \sin(2\pi f_{ex}t) \sin(2\pi f_R t) \quad (4.11a)$$

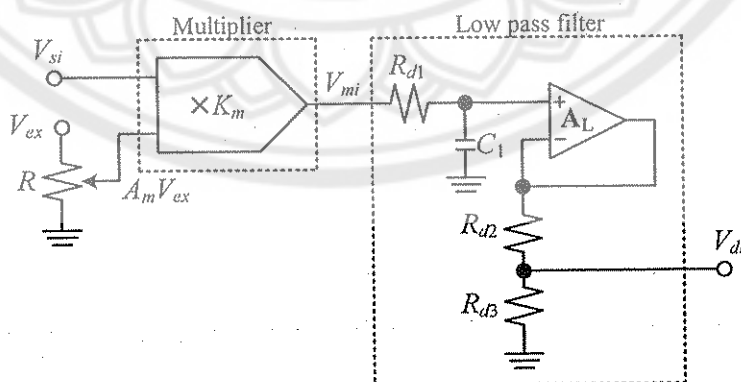
$$V_{s1} = \frac{kA_{ex}}{2} \cos 2\pi(f_{ex} - f_R)t - \frac{kA_{ex}}{2} \cos 2\pi(f_{ex} + f_R)t \quad (4.11b)$$

และ

$$V_{s2} = kA_{ex} \sin(2\pi f_{ex}t) \cos(2\pi f_R t) \quad (4.12a)$$

$$V_{s2} = \frac{kA_{ex}}{2} \sin 2\pi(f_{ex} - f_R)t + \frac{kA_{ex}}{2} \sin 2\pi(f_{ex} + f_R)t \quad (4.12b)$$

จากสมการที่ (4.11b) และสมการที่ (4.12b) จะเห็นได้ว่าสัญญาณ  $V_{s1}$  และ  $V_{s2}$  มีลักษณะเป็นสัญญาณที่เกิดจากมอคูลเอเตกันทางขนาด (amplitude modulator; AM) ระหว่างสัญญาณแรงดันกระตุ้นกับสัญญาณที่เกิดจากการหมุนของรีไซลิวอร์ ดังนั้นเพื่อเป็นการลดสัญญาณที่เกิดจากการหมุนของรีไซลิวอร์ออกจากสัญญาณแรงดันกระตุ้นในที่นี้ได้ดำเนินการโดยใช้วงจรดีมอคูลเอเตอร์ ดังแสดงในรูปที่ 4.3



รูปที่ 4.3 วงจรดีมอคูลเอเตอร์

จากวงจรในรูปที่ 4.3 เมื่อกำหนดให้  $V_{si}$  คือ  $V_{s1}$  ซึ่งมีค่าดังแสดงในสมการที่ (4.11) ดังนั้นจะได้ เอาต์พุตของวงจรคุณลักษณะ คือ  $V_{m1}$  ซึ่งสามารถเขียนได้เป็น

$$V_{m1} = M \sin 2\pi(2f_{ex} - f_R)t - M \sin 2\pi(2f_{ex} + f_R)t + 2M \sin 2\pi f_R t \quad (4.13a)$$

$$M = \frac{kK_m A_m A_{ex}^2}{4} \quad (4.13b)$$

เมื่อ  $K_m$  คือค่าคงที่ของตัวคุณลักษณะ ซึ่งโดยทั่วไปมักกำหนดให้  $K_m = 1/10$  จากสมการที่ (4.13) จะเห็นได้ว่า  $V_{m1}$  ประกอบไปด้วยผลรวมของสัญญาณไซนัสอยู่ด้วย 3 ความถี่คือ ความถี่  $2f_{ex} f_R$ , ความถี่  $2f_{ex} + f_R$  และความถี่  $f_R$  และเนื่องจากการประยุกต์ใช้งานริโซลเวอร์มักกำหนดให้ค่า  $f_{ex} \gg f_R$  ซึ่งทำให้สามารถแยกองค์ประกอบของสัญญาณที่เกิดจากการหมุนของริโซลเวอร์ ( $f_R$ ) ออกมายังงานได้โดยง่าย จากวงจรในรูปที่ 4.3 เป็นการใช้วงจรกรองความถี่ต่ำ (low pass filter) สำหรับกำจัด องค์ประกอบของสัญญาณ  $V_{m1}$  ที่ความถี่สูง ( $2f_{ex} + f_R$  และ  $2f_{ex} - f_R$ ) ออกไป เมื่อกำหนดให้  $V_s = V_{di}$  คือ สัญญาณเอาต์พุตของวงจรกรองความถี่ต่ำผ่าน โดยมี  $V_{m1}$  เป็นสัญญาณอินพุตของวงจร ซึ่งจะ สามารถแสดงความสัมพันธ์ได้ดังนี้คือ

$$V_s = L_o \frac{\omega_c}{s + \omega_c} V_{m1} \quad (4.14a)$$

เมื่อ

$$L_o = \frac{R_{d3}}{R_{d3} + R_{d2}} \quad (4.14b)$$

$$\omega_c = \frac{1}{R_{d1} C_1} \quad (4.14c)$$

จากสมการที่ (4.14) กำหนดให้  $f_c$  คือค่าความถี่คักห้อฟของวงจรกรองความถี่ต่ำผ่าน โดยที่  $f_R \ll (f_c = \omega_c / 2\pi = 1 / (2\pi R_{d1} C_1)) \ll 2f_{ex} - f_R$  ซึ่งจะสามารถประมาณได้ว่า

$$V_s = D \sin(2\pi f_R t) = D \sin(\theta) \quad (4.15a)$$

$$D = \frac{L_o k K_m A_m A_{ex}^2}{2} \quad (4.15b)$$

ในท่านองเดียวกันเมื่อกำหนดให้  $V_{si}$  ของวงจรคีมอคูเลเตอร์คือ  $V_{s2}$  ดังแสดงในสมการที่ (4.12) จะได้เอาต์พุตของวงจรคุณสัญญาณคือ  $V_{m2}$  ซึ่งสามารถเขียนได้เป็น

$$V_{m2} = 2M \cos 2\pi f_R t - M \cos 2\pi(2f_{ex} - f_R)t - D \cos 2\pi(2f_{ex} + f_R)t \quad (4.16a)$$

$$M = \frac{kK_m A_m A_{ex}^2}{4} \quad (4.16b)$$

และเมื่อนำสัญญาณ  $V_{m2}$  ไปผ่านวงจรกรองความถี่ต่ำผ่านในเงื่อนไขเดียวกันกับกรณี  $V_{m1}$  นั้นคือ กำหนดให้ความถี่คักหอฟของวงจรกรองความถี่ต่ำผ่าน  $f_R \ll f_c \ll 2f_{ex}f_R$  และกำหนดให้  $V_c$  คือค่า เอาต์พุตของวงจรกรองสัญญาณในการดึงกล่าวนี้ ซึ่งจะสามารถประมาณได้ว่า

$$V_c = D \cos(2\pi f_R t) = D \cos(\theta) \quad (4.17a)$$

$$\text{เมื่อ } D = \frac{L_o k K_m A_m A_{ex}^2}{2} \quad (4.17b)$$

จากสมการที่ (4.15) และ สมการที่ (4.17) เพื่อให้ง่ายต่อการออกแบบและการคำนวณสำหรับการนำ สัญญาณ  $V_s$  และ  $V_c$  ไปใช้เป็นอินพุตให้กับวงจรประมวลผลในภาคต่อไป ในที่นี้ได้กำหนดให้ค่า  $D$  ซึ่งเป็นค่าสูงสุดของสัญญาณ  $V_s$  และ  $V_c$  มีค่าเท่ากับ 1 โวลต์

### 4.3 วงจรขยาย ±1 เท่า

จากหลักการของตัวแปลงสัญญาณรีไซล์เวอร์เป็นสัญญาณเดิมในหัวข้อ 4.1 เมื่อพิจารณา สมการที่ (4.9) จะเห็นได้ว่าความสัมพันธ์ระหว่างสัญญาณแรงดัน  $V_{o1}$  กับค่ามุมแกนหมุนของรีไซล์เวอร์  $\theta$  มีลักษณะเป็นสมการเชิงเส้นแบบเป็นช่วง โดยมีทั้งค่าความชันแบบที่มีค่าเป็นบวกและแบบ ที่มีค่าเป็นลบ ซึ่งสามารถแบ่งออกได้เป็น 8 ช่วง โดยในงานวิจัยนี้ได้ใช้วงจรขยาย ±1 เท่า สำหรับ กลับค่าความชันของสัญญาณ  $V_{o1}$  ให้มีค่าเป็นบวกทั้ง 8 ช่วงการทำงาน หลักการทำงานของ วงจรขยาย ±1 เท่า ดังแสดงในรูปที่ 4.4 สามารถอธิบายได้ดังนี้คือ ออกแบบปี  $A_1$  ทำหน้าที่เป็นวงจร ตามแรงดัน ซึ่งจะมีผลทำให้ค่าแรงดัน  $V_{o2}$  มีค่าเท่ากับ

$$V_{o2} = V_{o1} \quad (4.18)$$

ในขณะที่สัญญาณลอจิก  $Q_{sw} = 1$  สวิตท์อิเล็กทรอนิกส์ SW จะปิดวงจรดังแสดงในรูปที่ 4.4(ข) ซึ่งมีผลทำให้ขาบวกของอุปแอนป์ A<sub>2</sub> ถูกเชื่อมต่อกับศักย์ดิน ดังนั้นอุปแอนป์ A<sub>2</sub> จะทำหน้าที่เป็นวงจรขยายสัญญาณแบบกลับเฟส ซึ่งจะได้ความสัมพันธ์ระหว่างค่าแรงดันเอาต์พุต  $V_{out}$  กับค่าแรงดัน  $V_{o2}$  และ  $V_{o1}$  ดังนี้คือ

$$V_{out} = -\frac{R_{u2}}{R_{u1}} V_{o2} = -\frac{R_{u2}}{R_{u1}} V_{o1} \quad (4.19)$$

จากสมการที่ (4.19) เมื่อกำหนดให้  $R_{u2}=R_{u1}$  จะได้

$$V_{out} = -V_{o2} = -V_{o1} \quad (4.20)$$

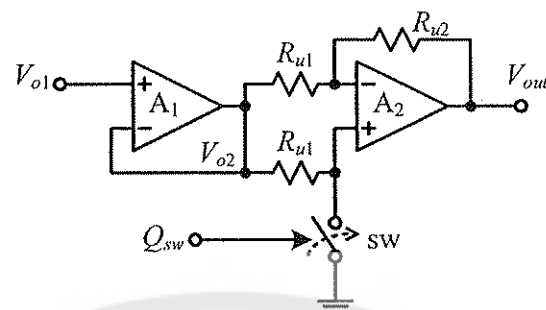
ในขณะที่สัญญาณลอจิก  $Q_{sw} = 0$  สวิตท์อิเล็กทรอนิกส์ SW จะเปิดวงจรดังแสดงในรูปที่ 4.4(ค) ซึ่งมีผลทำให้ขาบวกของอุปแอนป์ A<sub>2</sub> อยู่ในสภาพว่างอย (floating) โดยจะมีผลทำให้ค่าแรงดันที่ขาบวกและค่าแรงดันที่ขาลบของอุปแอนป์ A<sub>2</sub> มีค่าเท่ากับ  $V_{o2}$  ซึ่งจะได้ความสัมพันธ์ของค่าแรงดันเอาต์พุต  $V_{out}$  สามารถเขียนได้เป็น

$$V_{out} = V_{o2} = V_{o1} \quad (4.21)$$

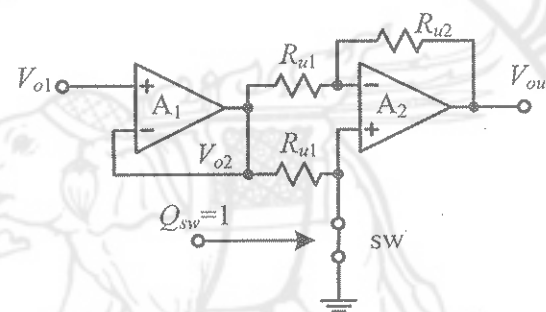
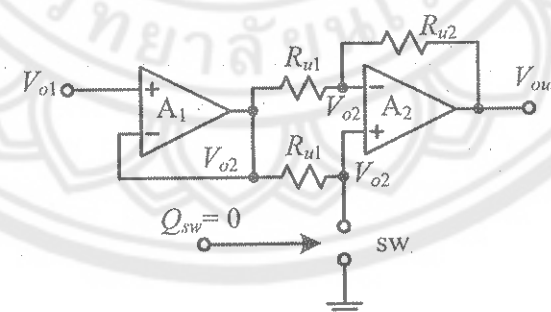
จากสมการที่ (4.20) และสมการที่ (4.21) สามารถรวมเป็นสมการเดียวกันได้ดังนี้คือ

$$V_{out} = \begin{cases} -V_{o1} & ; Q_{sw} = 1 \\ V_{o1} & ; Q_{sw} = 0 \end{cases} \quad (4.22)$$

จากสมการที่ (4.22) เมื่อสัญญาณแรงดัน  $V_{o1}$  มีค่าเป็นไปตามสมการที่ (4.9) และกำหนดให้สัญญาณลอจิก  $Q_{sw}$  มีสถานะเป็นลอจิก 0 และลอจิก 1 สลับกันตามลำดับทั้ง 8 ช่วงของค่ามุมแกนหมุน θ ซึ่งจะได้ความสัมพันธ์ระหว่างค่าแรงดันเอาต์พุต  $V_{out}$  ของตัวแปลงสัญญาณเรซิโซลเวอร์กับค่ามุมแกนหมุน θ เป็นไปดังสมการที่ (4.10)



(n)

(u) ធម៌  $Q_{sw} = 1$ (v) ធម៌  $Q_{sw} = 0$ 

រូបទី 4.4 ងារឈប់  $\pm 1$  ពេល

#### 4.4 วงจรสร้างสัญญาณลอจิกควบคุม

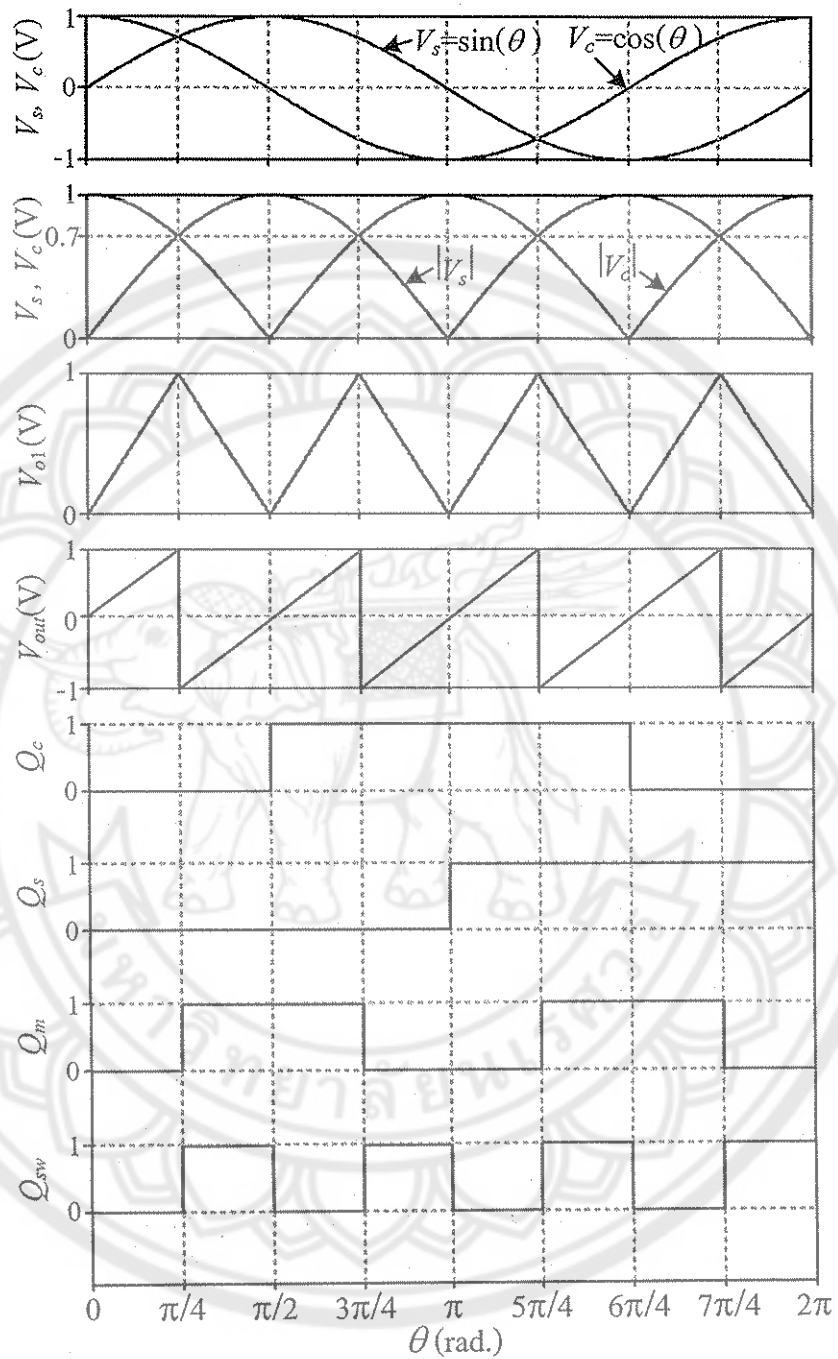
พิจารณาเงื่อนไขขั้งหัวการทำางานของวงจรขยาย ±1 เท่า ประกอบกับแผนภาพของสัญญาณในรูปที่ 4.5 เพื่อทำการประมวลผลสัญญาณแรงดัน  $V_{in}$  ตามสมการที่ (4.9) ให้ได้สัญญาณแรงดัน  $V_{out}$  เป็นไปตามสมการที่ (4.10) จะเห็นได้ว่าจะต้องออกแบบให้สัญญาณลอจิก  $Q_{sw}$  มีสถานะเป็นลอจิก 0 และลอจิก 1 สลับกันตามลำดับทั้ง 8 ช่วงของค่ามุมแกนหมุน  $\theta$  (1 รอบการทำางานมีค่าเท่ากับ  $0 \text{ ถึง } 2\pi$ ) โดยเมื่อกำหนดให้สัญญาณลอจิก  $Q_s$  และ  $Q_c$  เกิดจากการนำสัญญาณ  $|V_s|$  และ  $|V_c|$  ไปผ่านวงจรตรวจผ่านศูนย์  $C_s$  และ  $C_c$  ตามลำดับ สัญญาณลอจิก  $Q_m$  เกิดจากการนำสัญญาณ  $|V_s|$  และ  $|V_c|$  ไปผ่านวงจรปรีรีบเทียบแรงดัน  $C_m$  โดยจะสามารถทำความสัมพันธ์ระหว่างสัญญาณลอจิก  $Q_{sw}$  กับสัญญาณลอจิก  $Q_s$ ,  $Q_c$  และ  $Q_m$  ได้ดังนี้คือ

$$Q_{sw} = Q_c \oplus Q_s \oplus Q_m \quad (4.23)$$

พิจารณาแผนภาพของสัญญาณในรูปที่ 4.5 จะเห็นได้ว่าสัญญาณลอจิก  $Q_s$ ,  $Q_c$  และ  $Q_m$  นอกจากจะสามารถใช้สำหรับการสั่งเคราะห์สัญญาณลอจิกควบคุม  $Q_{sw}$  ได้แล้ว ยังสามารถใช้สำหรับการจำแนกช่วงมุมแกนหมุน  $\theta$  ของรีเซลเวอร์ดังแสดงในตารางที่ 4.1

ตารางที่ 4.1 ความสัมพันธ์ระหว่างสัญญาณลอจิก  $Q_s$ ,  $Q_c$  และ  $Q_m$  กับค่ามุมแกนหมุน  $\theta$

ช่วงมุม $\theta$	สถานะ		
	$Q_s$	$Q_c$	$Q_m$
$0 < \theta \leq \pi/4$	0	0	0
$\pi/4 < \theta \leq \pi/2$	0	0	1
$\pi/2 < \theta \leq 3\pi/4$	0	1	1
$3\pi/4 < \theta \leq \pi$	0	1	0
$\pi < \theta \leq 5\pi/4$	1	1	0
$5\pi/4 < \theta \leq 6\pi/4$	1	1	1
$6\pi/4 < \theta \leq 7\pi/4$	1	0	1
$7\pi/4 < \theta \leq 2\pi$	1	0	0



รูปที่ 4.5 ความสัมพันธ์ระหว่างสัญญาณผลิตกับค่า  $Q_{sw}$  กับสัญญาณอื่นๆ

#### 4.5 วงจรแปลงสัญญาณรีโซลเวอร์เป็นสัญญาณดิจิทัลและการทดสอบการทำงานของวงจร

จากหลักการเบื้องต้นของตัวแปลงสัญญาณรีโซลเวอร์เป็นสัญญาณดิจิทัลในรูปของบล็อกไซโคะแกรมที่ได้ออกแบบขึ้นในหัวข้อที่ 4.1 และอาศัยหลักการของวงจรกลุ่มย่อยในแต่ละส่วน ซึ่งได้แก่ วงจรดิมอคูเลเตอร์ วงจรสหค่าสัมบูรณ์ วงจรสหค่าต่ำสุด วงรสังเคราะห์ฟิงก์ชัน อาร์คไชน์แบบที่ใช้ให้เป็นพื้นฐานในการออกแบบ วงจรขยาย  $\pm 1$  เท่า และวงสร้างสัญญาณ ลองจิกควบคุมสามารถสังเคราะห์เป็นวงจรแปลงสัญญาณรีโซลเวอร์ได้ดังในรูปที่ 4.6 โดยในส่วนของการขับสัญญาณกระแสตู้น  $V_a$  ในงานวิจัยนี้ได้ใช้เครื่องกำเนิดสัญญาณคลื่นรูปไซน์ (function generators หรือ sinusoidal generators) ในห้องปฏิบัติการเป็นตัวกำเนิดสัญญาณรีโซลเวอร์ที่ใช้ทดสอบคือรุ่น Sanyo Denki, 101-4100 ซึ่งใช้สัญญาณไซนัสอยู่ด้วยความถี่ 3 kHz เป็นตัวกระแสตู้น และใช้มอเตอร์ดิจิทัลเป็นตัวขับเคลื่อนแกนหมุนของรีโซลเวอร์ แรงดันไฟเลี้ยงวงจร มีค่าเท่ากับ  $\pm 9$  โวลต์ สำหรับวงจรย่อยในแต่ละส่วนสามารถแยกอินบายนายและอิบดิลกการกำหนดค่าพารามิเตอร์ต่างๆ ได้ดังนี้

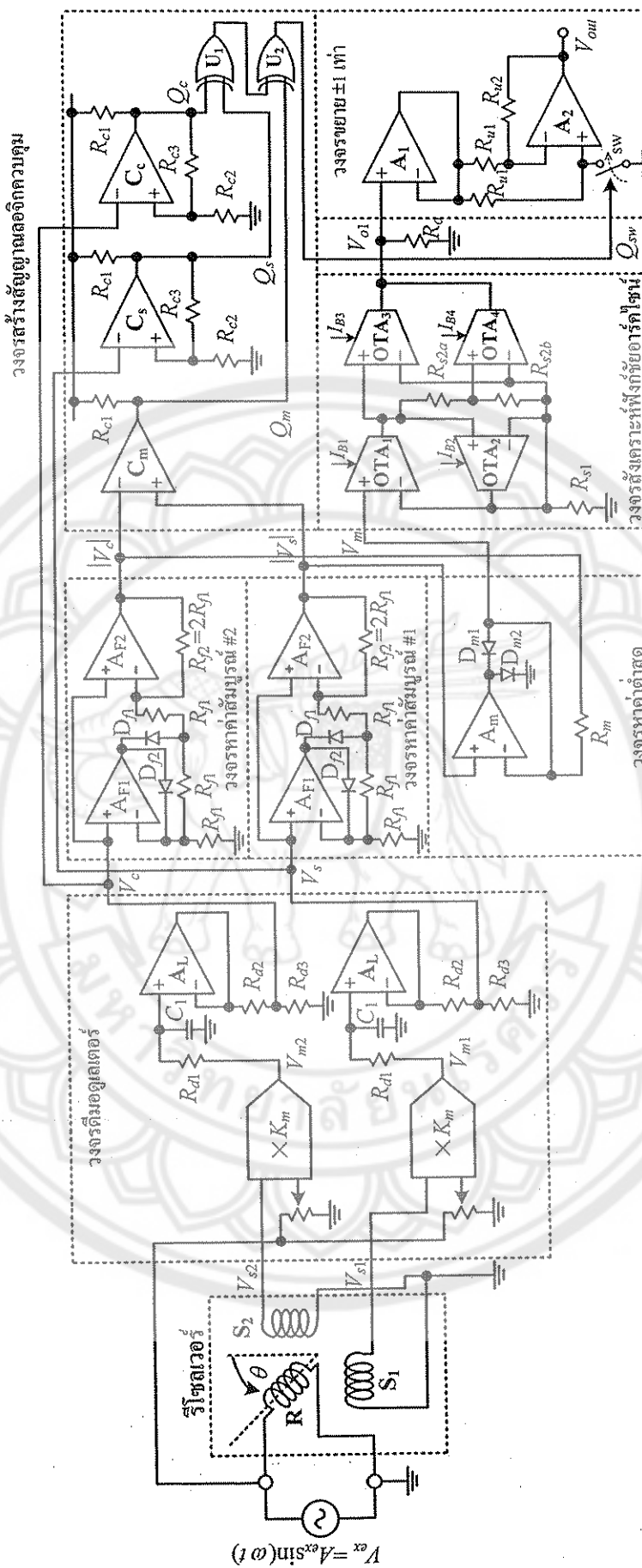
ส่วนของวงจรดิมอคูเลเตอร์ ออกแบบโดยใช้โซลูชันสัญญาณเบอร์ AD644 ต่อร่วมกับวงจรของสัญญาณความถี่ต่ำผ่านชิ้นใช้อปแอมป์เบอร์ LM358 เป็นพื้นฐานในการออกแบบ โดยได้กำหนดค่าความถี่ตัดพอฟไว้ที่ประมาณ 300 Hz นั่นคือการกำหนดให้ค่า  $\omega_c = 1/R_{d1}C_1$  ในสมการที่ (4.14c) มีค่าประมาณ  $600\pi$  rad./s และทำการเลือกปรับค่า  $R_{d2}$  และ  $R_{d3}$  จนกระทั่งแอนเพลจูดของสัญญาณ  $V_u$  และ  $V_c$  มีค่าเท่ากับ 1 โวลต์

สำหรับวงจรสหค่าสัมบูรณ์และวงจรสหค่าต่ำสุด ออกแบบที่ใช้ทุกตัวคือรุ่น LM358 ได้โดยทุกตัวที่ใช้คือรุ่น DIN4148 ตัวต้านทาน  $R_{f1}$ ,  $R_{f2}$  และ  $R_m$  มีค่าเท่ากับ  $1 k\Omega$ ,  $2 k\Omega$  และ  $1 k\Omega$  ตามลำดับ

วงสร้างสัญญาณลองจิกควบคุม ออกแบบที่ใช้ในวงจรคือรุ่น LM311 โดยได้ใช้อปแอมป์  $C_s$  และ  $C_c$  ต่อร่วมกับตัวต้านทาน  $R_{c1}$  ถึง  $R_{c3}$  เพื่อออกแบบเป็นวงจรตรวจจับผ่านสูญญ์แบบมีไฮสเตอเรซิส (hysteresis) ดังแสดงในรูป ตัวต้านทาน  $R_{c1}$ ,  $R_{c2}$  และ  $R_{c3}$  ที่ใช้มีค่าเท่ากับ  $1k\Omega$ ,  $100k\Omega$  และ  $1k\Omega$  ตามลำดับ สำหรับวงจรเปรียบเทียบแรงดันให้ใช้อปแอมป์  $C_m$  ต่อร่วมกับตัวต้านทาน  $R_{c1}$  ในส่วนของลองจิกเกท  $U_1$  และ  $U_2$  ที่ใช้เป็นแบบซีมอสเทกโนโลยี

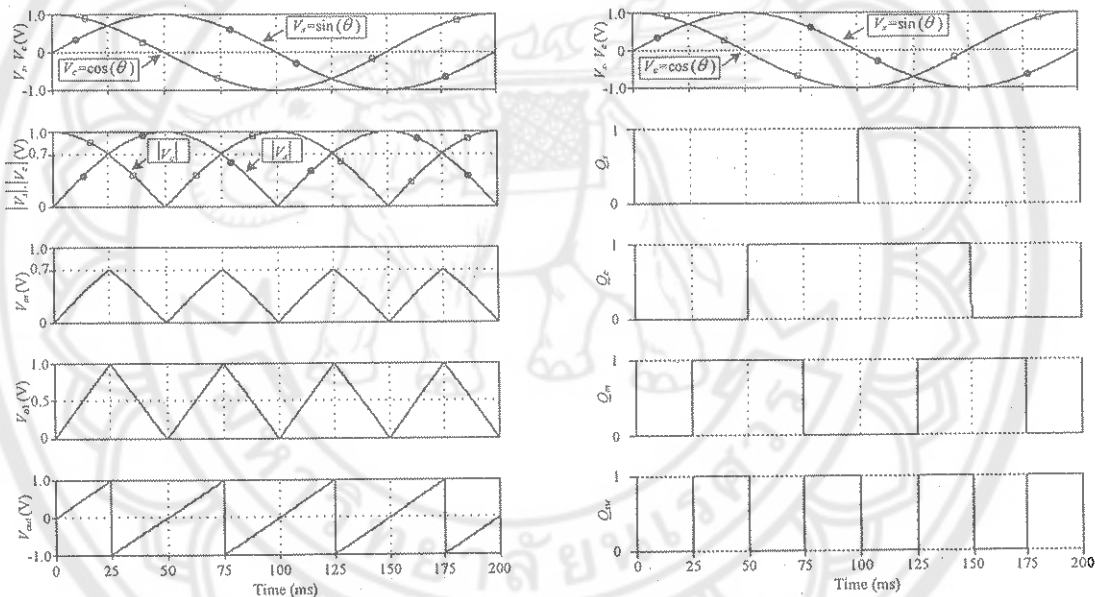
ส่วนของวงจรขยาย  $\pm 1$  เท่าเลือกใช้อปแอมป์ทุกตัวคือเบอร์ LM358 ตัวต้านทาน  $R_{u1}$  และ  $R_{u2}$  ที่ใช้มีค่าเท่ากับ  $1k\Omega$  และสวิตซ์อิเล็กทรอนิกส์ sw ที่ใช้คือ MC14066BCP

ในส่วนของวงรสังเคราะห์ฟิงก์ชันอาร์คไชน์ เพื่อความสะดวกสำหรับการออกแบบในที่นี้ได้เลือกกำหนดค่าพารามิเตอร์ต่างๆ ตามการทดลองในบทที่ 3



#### 4.6 ผลการทดสอบการทำงานและการวิจารณ์

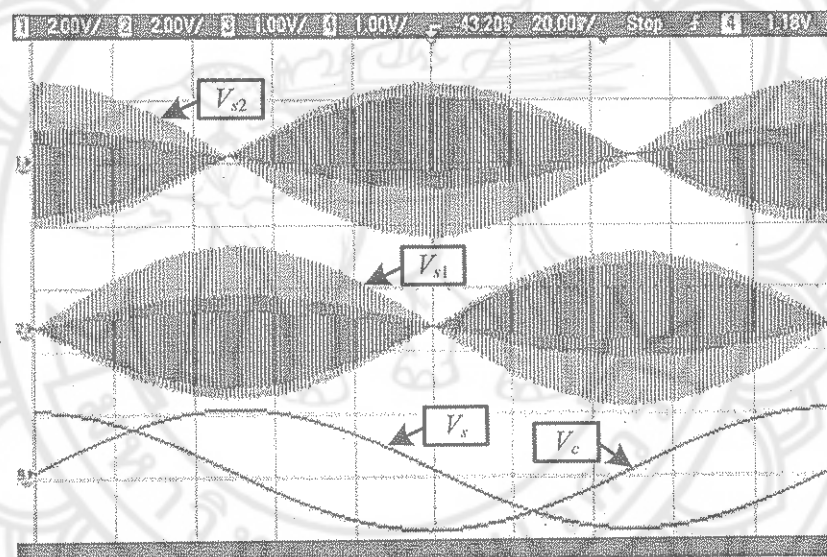
ในรูปที่ 4.7 แสดงผลการเลือบแบบการทำงานของวงจรแปลงสัญญาณรีไซล์เวอร์เป็นสัญญาณเดซีด้วยโปรแกรม PSPICE เพื่อเป็นการทดสอบหลักการทำงานของวงจรเบื้องต้น ในส่วนของสัญญาณ  $V_s$  และ  $V_c$  ได้จากการใช้ตัวแอลจิตริคเดซีนิดสัญญาณภายในโปรแกรมโดยยังไม่ได้ต่อ กับตัวรีไซล์เวอร์และวงจรดีมอนดูเลเตอร์ นอกจานนี้ในส่วนอื่น ๆ ของวงจรจะใช้อุปกรณ์และค่าพารามิเตอร์ต่าง ๆ เมื่อกับกับวิธีการต่อวงจรจริง ในการทดสอบได้กำหนดให้ค่าแอลจิตริค สัญญาณ  $V_s$  และ  $V_c$  มีค่าเท่ากับ 1 โวลต์ ความถี่เท่ากับ 5 Hz ซึ่งจะตรงกับค่าความเร็วแกนหมุนของรีไซล์เวอร์เท่ากับ 300 รอบต่อนาที จากผลการทดสอบการทำงานเบื้องต้นนี้จะเห็นได้ว่างจริงที่สามารถทำงานได้และให้ผลตรงกับหลักการทำงานที่ออกแบบขึ้น



รูปที่ 4.7 ผลการเลือบแบบการทำงานของวงจรแปลงสัญญาณรีไซล์เวอร์เป็นสัญญาณเดซี

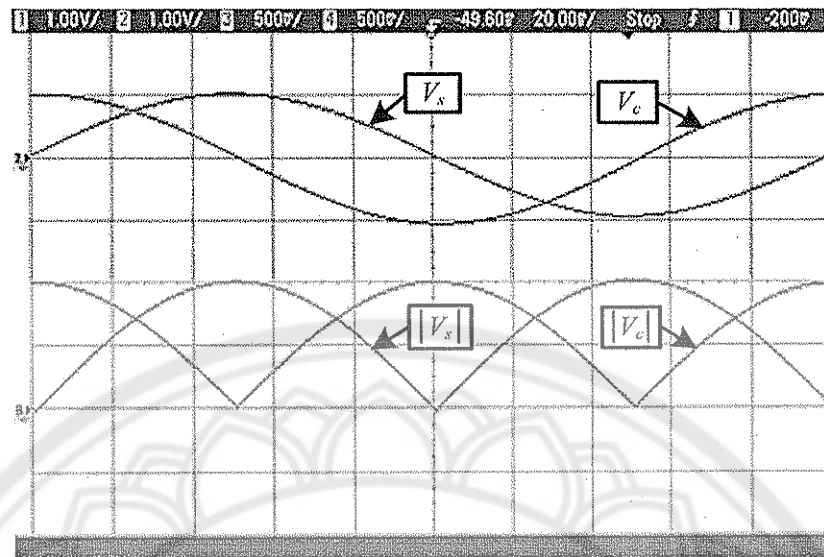
ในรูปที่ 4.8 แสดงผลการทดสอบการทำงานด้วยวิธีการต่อวงจรทดลองจริง โดยแกนหมุนของรีไซล์เวอร์หมุนด้วยความเร็วประมาณ 300 รอบต่อนาที โดยที่ในรูปที่ 4.8(ก) แสดงผลการวัดสัญญาณ  $V_{s1}$  และ  $V_{s2}$  ที่คลัวด์สเตเตอร์ทั้งสองของรีไซล์เวอร์และสัญญาณที่ได้จากการดีมอนดูเลเตอร์  $V_s$  และ  $V_c$  ซึ่งจะเห็นได้ว่างจรดีมอนดูเลเตอร์ที่ใช้สามารถแยกสัญญาณที่เกิดจากการหมุนของรีไซล์เวอร์ออกจากสัญญาณกระแสตู้นได้จริง รูปที่ 4.8(ข)- 4.8(ก) แสดงความสัมพันธ์ของสัญญาณ

$V_{out}$ ,  $V_{o1}$ ,  $V_m$ ,  $|V_s|$  และ  $|V_c|$  เปรียบเทียบกับสัญญาณ  $V_s$  และ  $V_c$  โดยจะเห็นได้ว่าสัญญาณ  $|V_s|$  และ  $|V_c|$  คือค่าสัมบูรณ์ของสัญญาณ  $V_s$  และ  $V_c$  ตามลำดับจริง ลำดับต่อมาสัญญาณ  $V_m$  คือค่าต่ำสุดในขณะนั้นระหว่างสัญญาณ  $|V_s|$  และ  $|V_c|$  ซึ่งจะมีผลทำให้ได้สัญญาณ  $V_{o1}$  และ  $V_{out}$  เป็นสัญญาณแรงดันรูปสามเหลี่ยมและสัญญาณแรงดันรูปฟันเลื่อยตามลำดับ ในรูปต่อมาคือรูปที่ 4.8(จ) แสดงผลการวัดสัญญาณ  $Q_m$ ,  $Q_s$  และ  $Q_c$  เปรียบเทียบกับสัญญาณแรงดัน  $V_c$  โดยจะเห็นได้ว่าไฟฟ้าของสัญญาณ  $Q_c$  จะตรงข้ามกับไฟฟ้าของสัญญาณ  $V_c$  และจะนำหน้าไฟฟ้าของสัญญาณ  $Q_s$  อยู่ 90 องศา โดยเมื่อพิจารณารูปที่ 4.7 และรูปที่ 4.8 จะเห็นได้ว่าตรงกับแผนภาพที่ได้ออกแบบไว้ตามรูปที่ 4.2 จริง

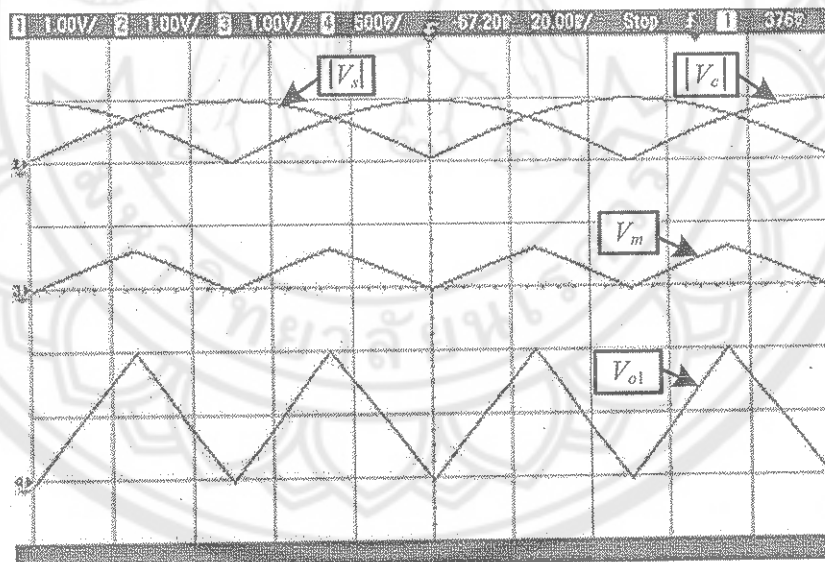


(ก) สัญญาณ  $V_s$  และ  $V_c$  เปรียบเทียบกับสัญญาณ  $V_{s1}$  และ  $V_{s2}$

รูปที่ 4.8 ผลการทำงานของเครื่องแปลงสัญญาณเรโซลเวอร์เป็นสัญญาณดิจิทัล

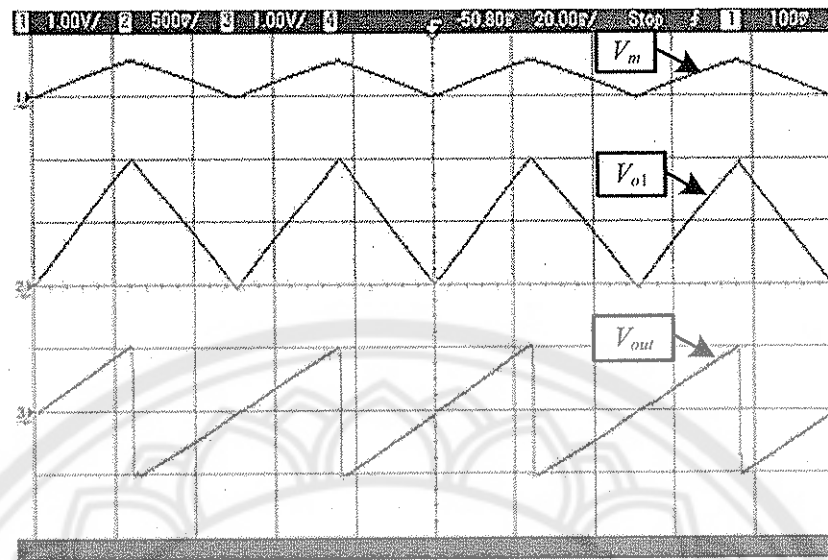


(บ) สัญญาณ  $|V_s|$  และ  $|V_c|$  เปรียบเทียบกับสัญญาณ  $V_s$  และ  $V_c$

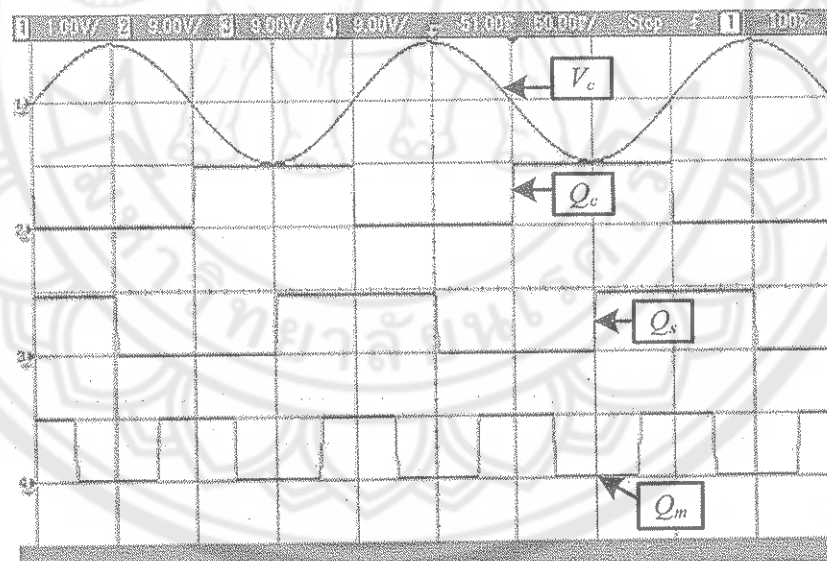


ค) สัญญาณ  $V_{o1}$  และ  $V_m$  เปรียบเทียบกับสัญญาณ  $|V_s|$  และ  $|V_c|$

รูปที่ 4.8 (ต่อ) ผลการทำงานของจาระแปลงสัญญาณรีไซล์ເວອร์เป็นสัญญาณดิจิ



ก) สัญญาณ  $V_{out}$  และ  $V_{o1}$  เมื่อเทียบกับสัญญาณ  $V_m$



ข) สัญญาณ  $Q_m$ ,  $Q_s$  และ  $Q_c$  เมื่อเทียบกับสัญญาณ  $V_c$

รูปที่ 4.8 (ต่อ) ผลการทำงานของจาระเปล่งสัญญาณรีไซล์เวอร์เป็นสัญญาณดิจิทัล

## 4.7 สรุป

ในบทนี้ได้อธิบายถึงหลักการของการออกแบบตัวแปลงสัญญาณรีไซล์เวอร์เป็นสัญญาณดิจิตโดยโครงสร้างของตัวแปลงสัญญาณรีไซล์เวอร์ประกอบด้วยวงจรกรดูมยอย 6 ส่วน ซึ่งได้แก่วงจรดิจิตดูแลเตอร์ วงหาราค่าสมนูรรณ์ วงหาราค่าต่ำสุด วงรสังเคราะห์ฟังก์ชันอาร์คไซน์แบบที่ใช้โดยท่อเป็นพื้นฐานในการออกแบบ วงจรขยาย  $\pm 1$  เท่า และวงจรสร้างสัญญาณตอบอิจิกควบคุม ในส่วนของวิธีการจ่ายสัญญาณกระแสตู้นให้กับรีไซล์เวอร์ได้ใช้วิธีการทั่วไปนั่นคือ การจ่ายสัญญาณไซนัลซอยด์ ให้กับบัดลวต โรเตอร์และนำสัญญาณที่ได้จากบัดลวตสแตเตอร์ทั้งสองไปประมวลผล เมื่อพิจารณาเปรียบเทียบหลักการที่ได้พัฒนาออกแบบขึ้นใหม่นี้กับหลักการเดิมในแบบที่ใช้โดยท่อสำหรับการสังเคราะห์ฟังก์ชันอาร์คไซน์เหมือนกัน จะมีส่วนประกอบที่เหมือนกันสองส่วนคือ ส่วนของวงจรดิจิตดูแลเตอร์และส่วนของวงจรสังเคราะห์ฟังก์ชันอาร์คไซน์ โดยจะมีส่วนที่แตกต่างกันที่สำคัญคือ พารามิเตอร์ที่ใช้ภายในวงจรสังเคราะห์ฟังก์ชันอาร์คไซน์ ซึ่งได้อธิบายหลักการเลือกใช้ไว้ในบทที่ 3 นอกจากนี้ในงานวิจัยได้ใช้วงหาราค่าสมนูรรณ์และวงหาราค่าต่ำสุดเพื่อจำกัดขนาดของสัญญาณที่จะป้อนเป็นอินพุตให้กับวงจรสังเคราะห์ฟังก์ชันอาร์คไซน์และได้ทำการออกแบบวงจรสร้างสัญญาณตอบอิจิกควบคุมขึ้นใหม่เพื่อใช้สำหรับควบคุมจังหวะการทำงานของวงจรขยาย  $\pm 1$  เท่า ซึ่งจะทำให้ເຫດพุทธของตัวแปลงสัญญาณรีไซล์เวอร์มีความซับซ้อนมากขึ้น นำไปในแนวทางเดียวกัน จากการทดสอบการทำงานของวงจรด้วยโปรแกรม PSPICE และด้วยวิธีการต่อวงจรบนบอร์ดทดลองพบว่า วงจรสามารถทำงานได้เป็นไปตามหลักการที่ได้นำเสนอ

## บทที่ 5

### บทสรุปและวิจารณ์

#### 5.1 บทสรุปและวิจารณ์

ตัวแปลงสัญญาณรีโซลเวอร์เป็นสัญญาณเดิมที่ได้พัฒนาออกแบบขึ้นในงานวิจัยนี้เป็นการออกแบบบนพื้นฐานของการใช้วงจรตั้งเคราะห์ฟังก์ชันอาร์คไซน์แบบที่ใช้โอลิเอสังเคราะห์ ต่อร่วมกับวงจรยอยอิก 5 ส่วนคือ วงจรดีมอคูลาเตอร์ วงจรหาค่าสัมบูรณ์ วงจรหาค่าทำสุด วงจรขยาย ±1 เท่า และวงจรสร้างสัญญาณลองจิคควบคุม เมื่อพิจารณาเปรียบเทียบกับหลักการเดิมในแบบที่ใช้โอลิเอสังเคราะห์ฟังก์ชันอาร์คไซน์เหมือนกันจะพบว่างจรที่ได้พัฒนาออกแบบขึ้นใหม่นี้จะมีความซับซ้อนมากกว่าเดิม ให้มีการเพิ่มวงจรหาค่าสัมบูรณ์และวงจรหาค่าทำสุดเพื่อทำหน้าที่จำกัดขนาดของสัญญาณแรงดันก่อนที่จะนำไปป้อนเป็นอินพุตให้กับวงจรตั้งเคราะห์ฟังก์ชันอาร์คไซน์ แต่ด้วยวิธีการดังกล่าวเนื่องจากมีผลทำให้สามารถออกแบบค่าพารามิเตอร์ต่างๆ ที่จะใช้ในวงจรตั้งเคราะห์ฟังก์ชันอาร์คไซน์ได้ง่ายและถูกต้องยิ่งขึ้น โดยในการศึกษาครั้งนี้ได้เขียนโปรแกรมเปรียบเทียบระหว่างสมการที่ได้สังเคราะห์ขึ้นจริงกับสมการของฟังก์ชันอาร์คไซน์ที่ต้องการสังเคราะห์เพื่อใช้สำหรับช่วยในการตัดสินใจเลือกใช้ค่าพารามิเตอร์ต่างๆ ที่เหมาะสม ผลที่ได้คือวงจรตั้งเคราะห์ฟังก์ชันอาร์คไซน์จะมีค่าขนาดความผิดพลาดสูงสุดลดลงช่วงการทำงานต่ำกว่า 0.2% ซึ่งเป็นค่าที่ต่ำกว่าหลักการเดิมที่ได้เคยมีการนำเสนอไว้นั้นคือ 0.92% จากผลการทดสอบการทำางานของวงจรด้วยโปรแกรม PSPICE และด้วยวิธีการต่อวงจรบนบอร์ดทดลองจริงทั้งในส่วนของวงจรตั้งเคราะห์ฟังก์ชันอาร์คไซน์ซึ่งได้อธิบายโดยละเอียดในบทที่ 3 และการทดสอบการทำางานของวงจรแปลงสัญญาณรีโซลเวอร์ซึ่งได้กล่าวในบทที่ 4 เป็นการยืนยันถึงคุณสมบัติการทำางานของวงจรซึ่งสามารถทำงานได้เป็นไปตามหลักการที่ได้นำเสนอ

#### 5.2 ข้อเสนอแนะและแนวทางในการทำวิจัยต่อ

เมื่อพิจารณาสัญญาณแรงดันเอาต์พุตของวงจรแปลงสัญญาณรีโซลเวอร์เป็นสัญญาณเดิมที่เปรียบเทียบกับค่ามุมแกนหมุนของรีโซลเวอร์สำหรับการดำเนินการในครั้งนี้ จะได้ว่าต่อลดช่วงการหมุนของรีโซลเวอร์ครบ 1 รอบซึ่งเท่ากับมุม 360 องศา หรือเท่ากับ  $2\pi$  เรเดียน จะได้อ่าต์พุตของวงจรเป็นสัญญาณแรงดันที่มีความเป็นเชิงเส้นแบบเป็นช่วงกับค่ามุมแกนหมุน โดยสามารถแบ่งออกได้เป็น 8 ช่วง ทั้งนี้อาศัยการพิจารณารวมกับสัญญาณลองจิค  $Q_s$ ,  $Q_c$  และ  $Q_m$  ตามตารางที่ 4.1 ในขณะที่หลักการที่ได้เคยมีการนำเสนอไว้จะให้สัญญาณเอาต์พุตที่มีความเป็นเชิงเส้นลดลงช่วง

การหมุนครบ 1 รอบ อย่างไรก็ตามในการดำเนินการวิจัยในครั้งนี้ได้มุ่งเน้นที่การปรับปรุงความถูกต้องของการออกแบบตัวเปล่งสัญญาณรีไซล์เวอร์เป็นสัญญาณดิจิทัลแบบที่ใช้โอลิอังเคราะห์พังก์ชันอาร์คไซน์ ซึ่งหากต้องการปรับปรุงให้วงจรสามารถจ่ายสัญญาณเอาต์พุตที่มีความเป็นเชิงเส้นตลอดช่วงการหมุนครบ 1 รอบ ก็จะสามารถดำเนินการได้โดยไม่ยุ่งยากนัก โดยทางเลือกหนึ่งนั้นคือการนำสัญญาณแรงดัน  $V_{out}$  ไปผ่านการประมวลผลเพื่อให้ได้สัญญาณแรงดันเอาต์พุตค่าใหม่  $V_{out(new)}$  ตามสมการดังนี้คือ

$$V_{out(new)} = V_{out} + 2V_p Q_{n1} + 2V_p Q_{n2} + 2V_p Q_{n3} + 2V_p Q_{n4} \quad (5.1)$$

โดยที่

$$Q_{n1} = Q_c + Q_s + Q_m \quad (5.2)$$

$$Q_{n2} = Q_c \overline{Q}_m + Q_s \quad (5.3)$$

$$Q_{n3} = Q_s (\overline{Q}_c + Q_m) \quad (5.4)$$

$$Q_{n4} = \overline{Q}_c \overline{Q}_m Q_s \quad (5.5)$$

เมื่อ  $V_{out}$  คือสัญญาณแรงดันเอาต์พุตของวงจรขยาย ±1 เท่า ตามสมการที่ (4.10),  $V_p$  คือค่าขนาดสูงสุดของสัญญาณ  $V_{out}$ , สัญญาณ  $Q_c$ ,  $Q_s$ , และ  $Q_m$  คือสัญญาณโลจิกซึ่งได้อธิบายในหัวข้อที่ 4.1 จากสมการที่ (5.1) เมื่อกำหนดให้  $V_{out}$  มีค่าเป็นไปตามสมการที่ (4.12) โดยมีค่า  $R_o G_o = 4/\pi$  และกำหนดให้  $V_p$  มีค่าเท่ากับ 1 V แทนค่าสมการที่ (5.2) และสมการที่ (5.5) ลงในสมการที่ (5.1) ซึ่งจะได้

$$V_{out(new)} = \frac{4}{\pi} \theta \quad ; 0 \leq \theta \leq 2\pi \quad (5.6)$$

## เอกสารอ้างอิง

- [1] อนุชา แก้วพูลสุข. “การสังเคราะห์วงจรแปลงสัญญาณรีโซลเวอร์เป็นสัญญาณดิจิทีล”. วิทยานิพนธ์วิศวกรรมศาสตรดุษฎีบัณฑิต สาขาวิศวกรรมไฟฟ้า บัณฑิตวิทยาลัย, สถาบันเทคโนโลยีพระจอมเกล้าเจ้าคุณทหารลาดกระบัง. 2551
- [2] Data Device Corporation. “**Synchro/Resolver Conversion Handbook**”. [Online]. Available : <http://www.ddc-web.com>. 2007.
- [3] MOOG Components Group. “**Synchro and Resolver Engineering Handbook**”. [Online]. Available : [www.moog.com](http://www.moog.com). 2007.
- [4] Motorola, Inc. **DSP56F80x Resolver Driver and Hardware Interface [Data Book]**. Motorola, Inc., 2002.
- [5] Gasperi, M. L. and Onarheim, W. G. “**Method and Apparatus for Correcting Resolver Error**”. U.S. Patent no. 4933674, 1990.
- [6] Yim, C. H., Ha, I. J. and Ko, M. S. “**A Resolver-to-Digital Conversion Method for Fast Tracking**”. **IEEE Trans. Ind. Electron.** 39, 1992. pp. 369-378.
- [7] Hanselman, D. C. “**Techniques for Improving Resolver-to-Digital Conversion Accuracy**”. **IEEE Trans. Ind. Electron.** 38, 1991. pp. 501-504.
- [8] Hanselman, D. C. “**Resolver Signal Requirements for High Accuracy Resolver-to-Digital Conversion**”. **IEEE Trans. Ind. Electron.** 37, 1990. pp. 556-561.
- [9] Hanselman, D. C. “**Signal Processing Techniques for Improved Resolver-to-Digital Conversion Accuracy**”. **Industrial Electronics Society, IECON'90, 16<sup>th</sup> Annual Conference of IEEE**, vol.1, Nov, 1990. pp. 6-10.
- [10] Serev, P. G. and Bogin, R. M. “**Programmable Limit Switch System Using a Resolver-to-Digital Angle Converter**”. U.S. Patent no. 4511884, 1985.
- [11] Serev, P. G. “**Microcontroller Based Resolver-to-Digital Converter**”. U.S. Patent no. 4989001, 1991.
- [12] Vlahu, S. P. “**Variable Reluctance Resolver to Digital Converter**”. U.S. Patent no. 5949359, 1999.
- [13] Deppe, J. G. and Biel, J. R. “**AC Encoded Signal to Digital Converter**”. U.S. Patent no. 5034743, 1991.
- [14] Vlahu, S. P. “**Direct Resolver to Digital Converter**”. U.S. Patent no. 5912638, 1999.

- [15] Attaianese, C., Tomasso, G. and DeBonis, D. "A Low-cost Resolver-to-Digital Conveter". In **Proc. IEEE Electric Machines and Drives Conf Cambridge, MA, USA**, June. 2000. pp. 917-921.
- [16] Alhorn, D. C., Howard, D. E. and Smith, D. A. "**Resolver to 360 Linear Analog Converter and Method**". U.S. Patent no. 6104328, 2000.
- [17] Ono, T. "**Resolver-Type Rotational Positioning Arrangement**". U.S. Patent no. 4529922, 1985.
- [18] Duckworth, J. J. "**Resolver to Incremental Shaft Encoder Converter**". U.S. Patent no. 4486845, 1984.
- [19] Benammar, M., Ben-Brahim, L. and Alhamadi, M. A. "A Novel Resolver-to-360° Linearized Converter". **IEEE Sensors Journal.**, vol. 4, no. 1, Feb. 2004. pp. 96-101.
- [20] Benammar, M., Ben-Brahim, L. and Alhamadi, M. A. "A High Precision Resolver-to-DC Converter". **IEEE Trans. on Instrumentation and Measurement.**, vol. 54, no. 6, Dec. 2005. pp. 2289-2296.
- [21] Benammar, M., Ben-Brahim, L. and Alhamadi, M. A. "Precise, Wide-Range Approximations to Arc Sine Function Suitable for Analog Implementation in Sensors and Instrumentation Applications". **IEEE Trans. on Circuits and Systems-I.**, vol. 52, no.2, Feb. 2005. pp. 262-270.
- [22] Kaewpoonsuk, A., Kamsri, T., Petchmaneelumka, W. and Riewruja, V. "A Full-Range-360° Resolver-to-DC Converter." **International Conference on Control, Automation and Systems 2007**, in COEX, Seoul, Korea, Oct. 17-20, 2007, pp. 802-805.
- [23] Riewruja, V. and Kaewpoonsuk, A. "OTA-based Sine-to-triangular Wave". **Circuits Systems Signal Processing.**, vol.25, no.6, 2006, pp. 753-765.
- [24] Randall, L. G. and Edgar, S. S. "Active Filter Design Using Operational Transconductance Amplifiers : A Tutorial". **IEEE Circuits and Devices Magazine.**, 1985. pp. 20-32.
- [25] Abuelma' atti, M. T. and Bentrcia, A. "A novel Mixed-Mode OTA-C Universal Filter". **International Journal of Electronics.**, vol.92, no.7 July 2005, pp. 375-383.
- [26] Tao, Y. and Fidler, J. K. "Generation of Second – Order Single-OTA RC Oscillators". **IEE Proc. Circuits Devices Syst.**, vol.145, no.4, Aug 1998, pp. 271-277.
- [27] Surakampontorn, W., Riewruja, V., Kumwachara, K., Surawatpunya, C. and Anuntahirirunrat, K. "Temperature – Insensitive Voltage-to-Current Converter and Its

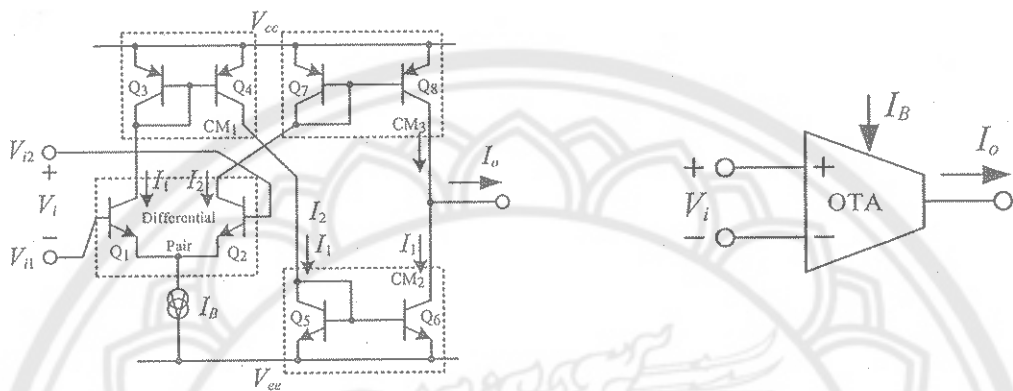
- Applications". **IEEE Transactions on Instrumentation and Measurement.**, vol.48, no.6, Dec. 1999, pp. 1270-1277.
- [28] Greeneich, E. W. **Analog Integrated Circuits.** New York : Chapman & Hall. 1997.





## ภาคผนวก ก.

การวิเคราะห์ความสัมพันธ์ระหว่างค่ากระแสอาต์พูด  $I_o$  กับค่าแรงดันอินพุต  $V_{in}$  ของวงจรโอทีเอ



(ก) วงจรภายในของ โอทีเอ

(ข) สัญลักษณ์ของ โอทีเอ

รูปที่ ก1 วงจรภายในและสัญลักษณ์วงจร โอทีเอ

จากการในรูปที่ ก1(ก) จะได้ผลรวมของกระแสที่ไหลผ่านขาอิมิตเตอร์ของทรานซิสเตอร์  $Q_1$  และ  $Q_2$  มีค่าเท่ากับ

$$I_{el} + I_{e2} = I_B = \frac{I_{el}}{\alpha_F} + \frac{I_{e2}}{\alpha_F} \quad (\text{ก.1})$$

เมื่อ  $I_{el}$  และ  $I_{e2}$  คือค่ากระแสที่ไหลผ่านขาอิมิตเตอร์ของทรานซิสเตอร์  $Q_1$  และ  $Q_2$  ตามลำดับ  $I_{el}$  และ  $I_{e2}$  คือค่ากระแสที่ไหลผ่านขาคลอดเล็กเตอร์ของทรานซิสเตอร์  $Q_1$  และ  $Q_2$  ตามลำดับ และ  $\alpha_F$  คืออัตราส่วนระหว่างค่ากระแสคลอดเล็กเตอร์ต่อค่ากระแสอิมิตเตอร์ จากคุณสมบัติการทำงานของทรานซิสเตอร์จะได้ค่ากระแส  $I_1$  และ  $I_2$  มีค่าเท่ากับ

$$I_1 = I_{el} = I_s e^{(V_{be1}/V_T)} \quad (\text{ก.2})$$

$$I_2 = I_{c2} = I_s e^{(V_{be2}/V_T)} \quad (k.3)$$

เมื่อ  $I_s$  คือค่ากระแสอิมตัว (saturation current) ของไบโพลาร์ทรานซิสเตอร์,  $V_{be1}$  และ  $V_{be2}$  คือค่าแรงดันตกคร่อมขาอิมิตเตอร์-เบส ของทรานซิสเตอร์  $Q_1$  และ  $Q_2$  ตามลำดับ และ  $V_T$  คือค่าแรงดันเชิงอุณหภูมิ (thermal voltage) จากสมการที่ (ก.1), (ก.2) และ (ก.3) เมื่อกำหนดให้ทรานซิสเตอร์ แต่ละตัวมีค่าอัตราขยายกระแสระหว่างกระแสออกและเล็กเตอร์กระแสเบสนี้ค่าสูงมาก โดยจะถือว่าค่า  $\alpha_f$  มีค่าประมาณเท่ากับ 1 ดังนั้นจะสามารถเขียนความสัมพันธ์ใหม่ได้เป็น

$$I_B = I_s (e^{(V_{be1}/V_T)} + e^{(V_{be2}/V_T)}) \quad (k.4)$$

$$I_s = \frac{I_B}{(e^{(V_{be1}/V_T)} + e^{(V_{be2}/V_T)})} \quad (k.5)$$

แทนค่าสมการที่ (ก.5) ลงในสมการที่ (ก.2) และ (ก.3) จะได้

$$I_1 = \frac{I_B e^{(V_{be1}/V_T)}}{(e^{(V_{be1}/V_T)} + e^{(V_{be2}/V_T)})} \quad (k.6)$$

$$I_2 = \frac{I_B e^{(V_{be2}/V_T)}}{(e^{(V_{be1}/V_T)} + e^{(V_{be2}/V_T)})} \quad (k.7)$$

เนื่องจากการกำหนดให้วงจรสะสม (CM) ทุกตัวมีค่าอัตราการสะสมท่อนกระแส เท่ากับ 1 ดังนั้นจะได้กระแสเอาต์พุต  $I_o$  มีค่าเท่ากับ

$$I_o = I_2 - I_1 \quad (k.8)$$

แทนค่าสมการที่ (ก.6) และ (ก.7) ลงในสมการที่ (ก.8) จะได้

$$I_o = \frac{I_B [e^{(V_{be2}/V_T)} - e^{(V_{be1}/V_T)}]}{(e^{(V_{be1}/V_T)} + e^{(V_{be2}/V_T)})} \quad (\text{ก.9})$$

เมื่อพิจารณาความสัมพันธ์ของค่าแรงดันอินพุต  $V_i$  จะได้

$$V_{i2} - V_{il} = V_{be2} - V_{be1} \quad (\text{ก.10})$$

จากสมการที่ (ก.10) เมื่อทราบชีสเตอร์  $Q_1$  และ  $Q_2$  มีความสมพงษ์กัน ซึ่งจะสามารถประมาณได้ว่า

$$V_{be2} = -V_{be1} \quad (\text{ก.11})$$

แทนค่าสมการที่ (ก.10) และ (ก.11) ลงในสมการที่ (ก.9) จะได้

$$I_o = \frac{I_B [e^{\left(\frac{V_{i2}-V_{il}}{2V_T}\right)} - e^{-\left(\frac{V_{i2}-V_{il}}{2V_T}\right)}]}{\left(e^{\left(\frac{V_{i2}-V_{il}}{2V_T}\right)} + e^{-\left(\frac{V_{i2}-V_{il}}{2V_T}\right)}\right)} \quad (\text{ก.12})$$

จาก

$$\tanh(x) = \frac{[e^{(x)} - e^{-(x)}]}{(e^{(x)} + e^{-(x)})} \quad (\text{ก.13})$$

เมริยบเทียบสมการที่ (ก.12) กับสมการที่ (ก.13) จะได้

$$I_o = I_B \tanh\left(\frac{V_{i2} - V_{il}}{2V_T}\right) \quad (\text{ก.14})$$

และเมื่อกำหนดให้  $V_i = V_o - V_n$  จะได้

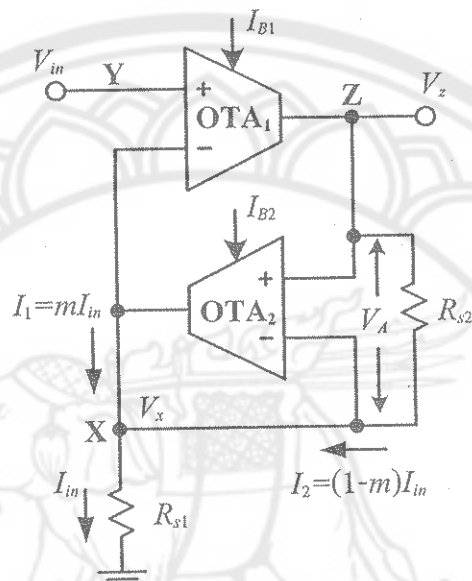
$$I_o = I_B \tanh\left(\frac{V_i}{2V_T}\right) \quad (\text{ก.15})$$



## ภาคผนวก ข.

การวิเคราะห์หาคุณสมบัติการทำงานของวงจรสังเคราะห์ฟังก์ชันอาร์กไชน์

### ข1. การวิเคราะห์ความสัมพันธ์ระหว่างค่าแรงดัน $V_x$ ค่ากระแส $I_{in}$ กับค่าแรงดัน $V_{in}$



รูปที่ ข1 การวิเคราะห์หาค่า  $V_x$  และ  $I_{in}$

จากวงจรในรูปที่ ข1 จะได้ความสัมพันธ์ของค่ากระแสและค่าแรงดันที่จุดต่าง ๆ ดังนี้คือ

$$I_1 = g_{m2}(V_z - V_x) \quad (\text{ข1.1})$$

$$I_2 = g_{m1}(V_{in} - V_x) \quad (\text{ข1.2})$$

$$V_z = V_x + I_2 R_{s2} \quad (\text{ข1.3})$$

แทนค่าสมการ (ข1.3) ลงในสมการที่ (ข1.2) จะได้

$$I_1 = g_{m2}(V_x + I_2 R_{s2}) - g_{m2} V_x \quad (\text{ญ}1.4)$$

$$I_1 = g_{m2} V_x + g_{m1} g_{m2} R_{s2} V_{in} - g_{m1} g_{m2} R_{s2} V_x - g_{m2} V_x \quad (\text{ญ}1.5)$$

และเนื่องจาก

$$V_x = (I_1 + I_2) R_{s1} \quad (\text{ญ}1.6)$$

แทนค่าสมการที่ (ญ1.2) และสมการที่ (ญ1.5) ลงในสมการที่ (ญ1.6) และจัดรูปสมการใหม่จะได้  
ความสัมพันธ์

$$\begin{aligned} V_x &= g_{m1} R_{s1} V_{in} - g_{m1} R_{s1} V_x + g_{m2} R_{s1} V_x \\ &\quad + g_{m1} g_{m2} R_{s1} R_{s2} V_{in} - g_{m1} g_{m2} R_{s1} R_{s2} V_x - g_{m2} R_{s1} V_x \end{aligned} \quad (\text{ญ}1.7)$$

ซึ่งจะได้ค่าแรงดัน  $V_x$  มีค่าเท่ากับ

$$V_x = \frac{R_{s1} g_{m1} (1 + g_{m2} R_{s2})}{1 + g_{m1} R_{s1} + g_{m1} g_{m2} R_{s1} R_{s2}} V_{in} \quad (\text{ญ}1.8)$$

และจะได้ค่ากระแส  $I_{in}$  มีค่าเท่ากับ

$$I_{in} = \frac{g_{m1} (1 + g_{m2} R_{s2})}{1 + g_{m1} R_{s1} (1 + g_{m2} R_{s2})} V_{in} \quad (\text{ญ}1.9)$$

## ข2. การวิเคราะห์ความผิดพลาดของการแปลงสัญญาณแรงดันอินพุต $V_{in}$ ให้เป็นสัญญาณกระแสอินพุต $I_{in}$

กำหนดให้  $I_{in0}$  คือค่าสัญญาณกระแสอินพุตในอุดมคติซึ่งมีค่าเท่ากับ

$$I_{in0} = \frac{V_{in}}{R_{s1}} \quad (\text{ข2.1})$$

แต่เนื่องจากค่าสัญญาณกระแสอินพุต  $I_{in}$  ที่สังเคราะห์ได้จริงจะมีค่าเป็นไปตามสมการที่ (3.7) นั้นคือ

$$I_{in} = \frac{g_{m1}(1+g_{m2}R_{s2})}{1+g_{m1}R_{s1}(1+g_{m2}R_{s2})} V_{in} \quad (\text{ข2.2})$$

เมื่อกำหนดให้  $er_a$  คือค่าผลต่างระหว่างสมการที่ (ข2.1) กับสมการที่ (ข2.2) ซึ่งสามารถเขียนได้เป็น

$$er_a = \frac{V_{in}}{R_{s1}} - \frac{g_{m1}(1+g_{m2}R_{s2})}{1+g_{m1}R_{s1}(1+g_{m2}R_{s2})} V_{in} \quad (\text{ข2.3})$$

จากสมการที่ (ข2.3) จัดรูปใหม่จะได้

$$er_a = - \left[ \frac{1}{1+g_{m1}R_{s1} + g_{m1}g_{m2}R_{s1}R_{s2}} \right] \frac{V_{in}}{R_{s1}} \quad (\text{ข2.4})$$

ซึ่งจะได้

$$er_a = - \varepsilon_a \frac{V_{in}}{R_{s1}} \quad (\text{ข2.5})$$

เมื่อ

$$\varepsilon_a = \frac{1}{1+g_{m1}R_{s1} + g_{m1}g_{m2}R_{s1}R_{s2}} \quad (\text{ข2.6})$$

### ข3. การวิเคราะห์ความผิดพลาดอันเนื่องมาจากการของอุณหภูมิ

จากสมการที่ (2.6) พารามิเตอร์ที่ขึ้นอยู่กับผลของอุณหภูมิคือค่า  $V_T$  ซึ่งແຈງมากับตัวแปร  $g_{m1}$  และ  $g_{m2}$  ดังนั้นการวิเคราะห์ค่าความไว (sensitivity) ของค่ากระแส  $I_{in}$  ที่ขึ้นอยู่กับผลของอุณหภูมิ ( $T$ );  $S_T^{I_{in}}$  ในวิทยานิพนธ์นี้จะใช้วิธีการพิจารณาสมการที่ (2.6) เพิ่บยกับตัวแปร  $V_T$  ดังนี้คือ

$$S_T^{I_{in}} = \frac{V_T}{I_{in}} \frac{\partial I_{in}}{\partial V_T} = \frac{V_T}{I_{in}} \frac{\partial}{\partial V_T} \left[ \frac{(2V_T I_{B1} + I_{B1} I_{B2} R_{s2}) V_{in}}{4V_T^2 + 2V_T I_{B1} R_{s1} + I_{B1} I_{B2} R_{s1} R_{s2}} \right] \quad (\text{ข3.1})$$

เนื่องจาก  $I_{B1} I_{B2} R_{s2} \gg 2V_T I_{B1}$  ดังนั้นจะสามารถประมาณได้ว่า

$$S_T^{I_{in}} = - \frac{V_T}{I_{in}} \frac{I_{B1} I_{B2} R_{s2} V_{in} (8V_T + 2I_{B1} R_{s1})}{4V_T^2 + 2V_T I_{B1} R_{s1} + I_{B1} I_{B2} R_{s1} R_{s2}} \quad (\text{ข3.2})$$

$$S_T^{I_{in}} = \frac{-8V_T^2 - 2I_{B1} R_{s1} V_T}{4V_T^2 + 2V_T I_{B1} R_{s1} + I_{B1} I_{B2} R_{s1} R_{s2}} \quad (\text{ข3.3})$$

เมื่อนิยามให้  $\varepsilon_b$  คือค่าความผิดพลาดอันเนื่องจากการเปลี่ยนแปลงของอุณหภูมิซึ่งจะได้

$$\varepsilon_b = S_T^{I_{in}} \frac{\Delta T}{T} \quad (\text{ข3.4})$$

ดังนั้นจะได้

$$\varepsilon_b = \frac{-8V_T^2 - 2I_{B1} R_{s1} V_T}{4V_T^2 + 2V_T I_{B1} R_{s1} + I_{B1} I_{B2} R_{s1} R_{s2}} \frac{\Delta T}{T} \quad (\text{ข3.5})$$

## ภาคพนวก ๓.

ตัวอย่าง Source code ที่ใช้สำหรับการวิเคราะห์วิเคราะห์หาค่าพารามิเตอร์  $K_T$

```

clear all
n=1;
Ro=6900;
Ib2=100e-6;
m=1;

for j=1.18:0.002:1.19
    KT=j;

    p=1;
    for i=0:0.001:1

        Vout1(p,n) = Ro*m*Ib2*(1+(1/KT))*asin(i);
        Vout2(p,n) = (Ro*Ib2*(m*i+(1/KT)*atanh(m*i)));
        X(p,n) = i;

        if i~=0
            Error(p,n)=(Vout2(p,n)-Vout1(p,n))*100/(Vout1(p,n));
        else
            Error(p,n)=0;
        end
        p=p+1;
    end
    n=n+1;
end

figure(1);
plot(X,Error, 'm')

figure(2);
plot(X,Vout2, 'b', X,Vout1, 'm')

```

## ภาคผนวก จ.

### บทความวิจัยที่ได้เผยแพร่ในวารสาร 1 บทความดังนี้คือ

A. Kaewpoonsuk, W. Petchmaneelumka, A. Rerkratn, S. Tammaruckwattana and V. Riewruja, "A Novel Resolver-to-DC Converter Based on OTA-based Inverse-Sine Function Circuit.", SICE Annual Conference 2008, International Conference on Instrumentation, Control and Information Technology., Chofu, Tokyo, Japan, Aug. 20-22, 2008.



**1st CALL for PAPERS SICE IEEE JAPAN**

# SICE Annual Conference 2008

International Conference on Instrumentation, Control and Information Technology

August 20(Wed.)-22(Fri.), 2008

The University of Electro-Communications, Chofu, Tokyo, JAPAN

<http://www.sice.or.jp/sice2008/>

Secretary: sice2008-secret@hi.mce.uet.ac.jp



**Advisory Board**

- **Chair**  
Susumu Tachi (President of SICE)
- **Member**  
Wayne J. Beck (Georgia Tech., USA)  
Theodore E. Djatmiko (President of IEEE/CSS)  
Charles W. Lindell, Jr. (President of IEEE/IES)  
Li-Chen Fu (President of CACS, Taiwan)  
Toshio Fukuda (Nagoya Univ., Japan)  
Kazuhisa Furuta (Tokyo Denki Univ., Japan)  
Fumio Hirasawa (President of Tokyo Denki Univ., Japan)  
Shigeru Hirose (Tokyo Inst. of Tech., Japan)  
Kraiwoon Kiatkamol (President of KMUTT, Thailand)  
Song Kwon Kim (President of ICROS, Korea)  
Akira Nagashima (Yokogawa Electric Co., Japan)  
Chong-Kuk Park (Kyung Hee Univ., Korea)  
Günther Schmidt (Tech. Univ. of Munich, Germany)  
Bruno Siciliano (President-Elect of IEEE/RAS)  
Kitiporn Tirasesik (President of KMUT, Thailand)  
Wenjun Zhang (Vice-President of SJTU, China)

**Organizing Committee**

- **General Chair**  
Keiji Haga (Univ. of Electro-Communications (UEC), Japan)
- **General Vice-Chair**  
Kesin Chamnongchai (KMUTT, Thailand)  
Kebchai Dajha (KMUT, Thailand)  
Youngjin Park (KAIST, Korea)

**International Program Committee**

- **Chair**  
Takashi Kida (UEC, Japan)
- **Vice-Chair**  
Wachirachada (Chulalongkorn Univ., Thailand)  
Thumrongrat Runcornraksa (KMUTT, Thailand)  
Tak-Li Ho (National Chung-Hsing Univ., Taiwan)  
Uk-Yeon Huh (Inha Univ., Korea)  
Prasit Autarorawong (KMUT, Thailand)
- **Regional Program Chairs**  
Martin Buss (Tech. Univ. of Munich, Germany)  
Jae-Weon Choi (Korea National Univ., Korea)  
Tetsuya Iwatsu (Univ. of Wyoming, USA)  
Tzau-Deong Lin (National Cheng-Kung Univ., Taiwan)  
Baodong Li (SJTU, China)  
Domenico Prattico (Sapienza Univ. of Roma, Italy)  
Kenyuu Yamamoto (KMUTT, Thailand)  
Dowen Wang (Nanyang Tech. Univ., Singapore)
- **International Relations**  
Bundit Thipakorn (KMUTT, Thailand)  
Kang-Bok Park (Korean Adv. Inst., Korea)  
Junko Nakanishi (KMUTT, Thailand)

The SICE Annual Conference 2008, an international conference on instrumentation, control and information technology, will take place in Chofu, Tokyo, Japan in 2008. This conference covers a wide range of fields from measurement and control to system analysis and design, from theory to application and from software to hardware. The official language of the conference is English. Novel interdisciplinary challenges transferable between plural fields are especially welcome. The conference will be focused on, but not limited to, the following topics:

- Measurement**
  - Signal and/or Image Processing
  - Opto-Electronic Measurement
  - Remote Sensing
  - Mass and Force Measurement
  - Temperature Measurement
  - Ultra-High Precision Measurement
  - Networked Sensor System
- Control**
  - Multivariable control
  - Nonlinear Control
  - Robust Control
  - Adaptive and Optimal Control
  - Intelligent Control
  - Modeling, System Identification and Estimation
- System and Information**
  - System Theory and Engineering
  - Biological and Physiological Engineering
  - Intelligent Systems
  - Neural Networks and Computational Intelligence
  - Autonomous Decentralized Systems
  - Discrete Event Systems
  - Man-Machine Systems
- System Integration**
  - Robotics and Mechatronics Systems
  - Human Interfaces
  - Network and Virtual Reality Systems
  - Entertainment Systems
  - Medical and Welfare Systems
  - Safety, Environment and Eco-Systems
  - Agricultural and Bio-Systems
  - Rescue Systems
- Industrial Applications**
  - Industrial Automation Systems
  - Information Management Systems
  - Industrial Network Systems
  - Macro and Nano Devices
  - Components and Devices
- Advanced Integration**
  - Emergent Technologies
  - Educational Systems/E-Learning
  - Fuzzy Systems
- Others**
  - Discrete Event Systems
  - Man-Machine Systems

**Location and Venue**  
The conference activities will all be taking place in the University of Electro-Communications, Chofu City, Tokyo, Japan. Chofu City is located in the west part of Tokyo, 45 minutes by a rapid train from Tokyo Terminal Station, 2 hours by a super express train from Narita Airport. From its convenient location, there are a lot of institutes that represent Japan as JAXA etc. Chofu is also a historical city with many sightseeing spots as JINDAIJI, an old temple. Chofu offers you a perfect location for a great experience of Japanese institutes and a relaxing stay in downtown before or after your congress day.

**Important Dates**

February 11, 2008	: Proposal of Organized Sessions
February 25, 2008	: Submission of Extended Abstracts for Regular Papers
April 25, 2008	: Notification of Paper Acceptance
May 16, 2008	: Submission of Final Camera-ready Papers
May 16, 2008	: Proposal of Workshops and Tutorials

**Regular Paper Submission**  
Prospective authors are invited to submit an extended abstract on 2 pages of A4, 800-1000 words in English. For further information, please visit the SICE2008 conference website at <http://www.sice.or.jp/sice2008/> or contact the program committee (E-mail: [sice2008-prog@hi.mce.uec.ac.jp](mailto:sice2008-prog@hi.mce.uec.ac.jp)). It is recommended that your draft paper includes paper title, names of all authors, affiliations, postal mails, email addresses and phone/fax numbers.

Organized by The Society of Instrument and Control Engineers (SICE), Japan  
Supported by Chofu City, The Univ. of Electro-Communications, Japan  
(Tentative) Co-Sponsored by IEEE Industrial Electronics Society, IEEE Robotics and Automation Society, IEEE Control Systems Society, IEEE Systems, Man & Cybernetics, The Instrumentation, Systems and Automation Society (ISA), Institute of Control, Robotics and Systems (ICROS),  
(Tentative) In association with China Instrument and Control Society (CIS), Chinese Association of Automation (CAA), Chinese Automatic Control Society (CACS), International Measurement Confederation (IMEKO), IEEE Japan Council, IFAC MNG-Japan



#### ④ Organized Session Submission

Proposals of organized session are welcome. The goal of organized sessions is to provide focused discussions on a new topic and innovative applications of a new approach. Each session consists of 5-6 papers which will be reviewed via normal review process. The session organizer should submit the proposal electronically by February 11, 2008. The proposal is recommended to include a brief statement of the session focus, together with the extended abstract of individual papers submitted. For further instruction, please visit the conference website, or send an e-mail to:

Prof. Hirotsu Ohmori (Kobe Univ., Japan) E-mail: ohm@ed.kobe.ac.jp

#### ⑤ Workshops and Tutorials

Proposals of workshops or tutorials that address the technical topics related to control, automation, and systems in general are welcome. We encourage such programs that will attract industrial members, and programs with highly anticipated level of interest, impact, creativity and technical background of presenters. Proposals should be submitted to the following e-mail address by May 16, 2008. Submitting Instructions will appear on the SICE2008 webpage.

A. Prof. Hiroki Takahashi (UEC, Japan) E-mail: rocky@hc.uec.ac.jp

#### ⑥ Laboratory Tour

Pre/post-conference technical tours will be held on Aug. 19(Fri) and 20(Sat). The pre-conference technical tour will start from afternoon and visit national research institutes near the conference venue including JAXA (Japan aerospace exploration agency). The post-conference technical tour will be open laboratories of University of Electro-Communications, the conference venue. Number of participants may be limited in pre-conference tour.

#### ⑦ Student Support Program

SICE will provide a Student Travel Grant Award and SICE International Scholarship which are to help those foreign researchers who are young and come to Japan to present their papers.

#### Organizing Committee

##### - Program Publication

Koiki Takedama (UEC, Japan)

##### - Finance

Kazushi Nakano (UEC, Japan)

Kazuyuki Sakurama (UEC, Japan)

##### - Industrial Relation

Solichin Shin (UEC, Japan)

Masanori Idesawa (UEC, Japan)

Kan Taguchi (UEC, Japan)

Shinsuke Oh-hara (UEC, Japan)

##### - Workshop & Tutorial

Hiroki Takahashi (UEC, Japan)

##### - Local Arrangement

Kazuo Tanaka (UEC, Japan)

Hiroyuki Ochiai (UEC, Japan)

Hiroyuki Kajimoto (UEC, Japan)

##### - Registration

Koichi Higuchi (UEC, Japan)

Algyo Ming (UEC, Japan)

##### - Student Grant Award

Kumikatsu Takase (UEC, Japan)

Takanori Nara (UEC, Japan)

Makoto Blumroj (UEC, Japan)

##### - Banquet

Nakaji Honda (UEC, Japan)

Wataru Mitsubishi (UEC, Japan)

##### - Internet Service

Masayuki Yokota (UEC, Japan)

Mitsunori Fujita (UEC, Japan)

##### - Publicity

Kenji Tanaka (UEC, Japan)

Daisuke Chogo (UEC, Japan)

##### - Secretary

Naoshi Iwakura (UEC, Japan)

Hideyuki Oya (Shanen Inst. of Tech., Japan)

Hiromi Fukushima (UEC, Japan)

##### - Technical Tour

Shoichi Hasegawa (UEC, Japan)

Hisayuki Aoyama (UEC, Japan)

Takeya Nojima (JAXA, Japan)

Masahiko Inami (UEC, Japan)

#### International Program Committee

##### - Organized Session Chair

Hirotsu Ohmori (Kobe Univ., Japan)

##### - Organized Session Vice-Chair

Wadzhah Assarafchishehza (KMUTT, Thailand)

Qixia Cao (SJTU, China)

Koichi Hidaka (Tokyo Denki Univ., Japan)

Hiroshi Ito (Kyushu Inst. of Tech., Japan)

Kamol Jancharapongvai (KMITL, Thailand)

Klaus Schilling (Univ. Wurzburg, Germany)

Kyeon-Bo Sim (Chung-Ang Univ., Korea)

##### - Track Chairs

###### Measurement

Kanbu Teramoto (Saga Univ., Japan)

###### Control

Tomohisa Hayakawa (Tokyo Inst. of Tech., Japan)

###### System and Information

Toshiya Kaihara (Kobe Univ., Japan)

###### System Integration

Noboru Matsumura (Toshiba Corp., Japan)

###### Industrial Applications

Akio Ima (Yokogawa Electric Co., Japan)

###### Advanced Integration

(To be assigned)

#### Steering Committee

##### - Chair

Fumiochi Matsuno (UEC, Japan)

##### - Advisers

Shinji Hirai (Univ. of Tokyo, Japan)

Masao Itoh (Osaka Univ., Japan)

Hiroyuki Kikuta (RIKEN, Japan)

Hirotumi Kobayashi (Tokyo Univ. of Agriculture, Japan)

Akira Nagashima (Yokogawa Electric Co., Japan)

##### - Members

Kojiro Hagiwara

Eitaku Nobuyama

Hiroyuki Hashimoto

Ryoji Onippa

Seiji Hata

Tetsuya Ohnari

Atsushi Imae

Masahiro Okutomi

Koji Ito

Mitsuru Tomi

Takashi Kida

Susumu Tsuji

Mitsumi Konishi

Satoharu Tadokoro

Yoshinori Kuro

Ryosuke Takahashi

Yasushi Kurata

Mitsuo Wada

Kazuhisa Kyuma

Yutaka Yamamoto

Tadashi Matsumoto

#### Program Committee Members (to be added)

Hai Lin (The National Univ. of Singapore)

Hajime Sugiyoshi (Yokohama National Univ.)

Yancong Zhang (Sun Yat Sen Univ.)

Takahiro Suzuki (Univ. of Tokyo)

Zhiping Wang (Tsinghua Univ., China)

Mitsuyuki Tsukakoshi (Tokyo Inst. of Tech.)

Phongsuk Sirisuk (Mahasarakham Univ. of Tech.)

Masahiro Matsunaga (Osaka Univ.)

P. Tangamathil (King Mongkut Univ. of Tech., Thailand)

Takao Saito (Kyushu Seisyo Univ.)

Phongsak Keeratiwhetkaew (King Mongkut Institute of Tech., North Bangkok)

Etsushi Ono (AIST)

Hirobumi Nishida (Necoh Co., Ltd.)

Yoshihiko Azuma (Dihbara Inst. of Tech.)

Mitsuru Kuze (Chiba Univ.)

Tadashi Yoshikawa (Kanagawa Inst. of Tech.)

Masayuki Taniguchi (Fukuoka Bunka Gakuen Univ.)

Moruya Takasaki (Saitama Univ.)

Hiroyuki Hontani (Nagoya Inst. of Tech.)

Takeshi Omichi (Meijo Univ.)

Toshiro Taki (Univ. of Tokyo)

Tetsuo Kotoku (AIST)

Minoru Nagamura (Takuyo Univ. of Science and Tech.)

Masazumi Yamakita (Tokyo Inst. of Tech.)

Shigezumi Kawaji (Kumamoto Univ.)

Masamori Sugimura (Oita Univ.)

Makoto Shimoda (UEC)

Keigo Watanabe (Saga Univ.)

Satoshi Iwaki (Fukushima City Univ.)

Shigeki Sugano (Waseda Univ.)

Kazuhiko Kosugi (Tobu Univ.)

Norioaki Sakamoto (Hosei Univ.)

Tomoyuki Nagashita (UEC)

## A Novel Resolver-to-DC Converter Based on OTA-based Inverse-Sine Function Circuit

Anucha Kaewpoonsuk<sup>1</sup>, Wandee Petchmananeelomka<sup>2</sup>, Apinai Rekrath<sup>2</sup>, Sirichai Tammaruckwattana<sup>2</sup>, and Vanchai Riewruja<sup>2</sup>

<sup>1</sup> Department of Physics, Faculty of Science, Naresuan University, Phitsanulok 65000, Thailand  
(Tel: +66-5-526-1000-4; E-mail: anuchak@nu.ac.th)

<sup>2</sup> Faculty of Engineering, King Mongkut's Institute of Technology Ladkrabang, Ladkrabang, Bangkok 10520, Thailand  
(Tel: 66-2-739-0758; Fax: 66-2-739-0758; Email: kyanchai@kmitl.ac.th)

**Abstract:** A new technique for realizing the resolver-to-DC converter using the OTA-based inverse-sine function circuit is presented. The proposed converter comprises the demodulator, absolute detector, minimum detector,  $\pm$  unity-gain amplifier, controlled signal logic circuit, and OTA-based inverse-sine function circuit. The output voltage is linearly proportional to the resolver angle with maximum absolute error of about 0.195%, which is less than the error from the conventional resolver-to-DC converter based on the similar OTA-based inverse-sine function circuit. PSPICE simulation and experimental results verifying the performances of the proposed circuit are in close agreement with the expected values.

**Keywords:** resolver-to-DC, resolver converter, inverse-sine function circuit, sine-to-triangular wave converter, OTA

## 1. INTRODUCTION

Resolver is a shaft angle transducer especially designed to determine an absolute position of a motor shaft over one revolution. Furthermore, the speed and encoder simulation for position control of the servo-drives can be derived from resolver signals. The resolver-to-DC converter is to convert the resolver signals, sine and cosine functions, into an output voltage proportional to the resolver shaft angle. The implementation techniques of the converter can be found in the literature [1-3]. Alternatively, the approach based upon the OTA-based inverse-sine function circuit (sine-to-triangular wave converter) [4] has been introduced in [5]. In this scheme (see Fig. 1), the demodulated sine signal is determined by the inverse-sine function circuit and triangular-to-sawtooth waveform converter that provide the output voltage proportional to the resolver shaft angle. However, this converter has about 0.92% maximum error. This error depends on the range of the input signal  $V_s$  and some parameters used in the OTA-based inverse-sine function circuit.

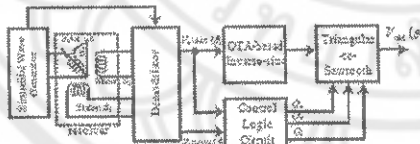


Fig. 1 Conventional resolver-to-DC converter using the OTA-based inverse-sine function circuit.

This paper aims to present a new technique for implementing the resolver-to-DC converter. The

proposed converter employs the OTA-based inverse-sine function circuit as shown in Fig. 2, which is similar the scheme reported in [5]. In order to improve the circuit accuracy, we use the absolute circuits connected with the minimum circuit to limit the range of signal applied to the OTA-based inverse-sine function circuit. Then two parameters used in the inverse-sine function circuit are changed.

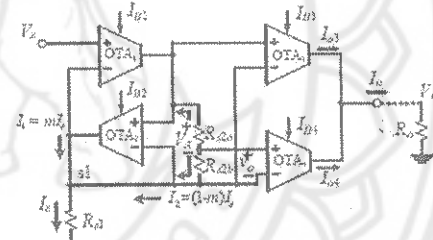


Fig. 3 OTA-based inverse-sine function circuit.

## 2. CIRCUIT DESCRIPTION

### 2.1 OTA-based inverse-sine function circuit

Fig. 2 shows the inverse-sine function circuit formed by the OTA<sub>1</sub> to OTA<sub>2</sub>. If all OTAs have ideal characteristics. When the input signal voltage  $V_i$  is applied to the circuit, then the voltage at node s1 will follow the voltage  $V_i$  with unity gain. This voltage is converted into the input signal current  $I_s$  by the resistor  $R_s$  ( $I_s = V_s/R_s$ ). From the routine circuit analysis, the relationship of the output current  $I_o$  and the voltage  $V_o$  can be expressed as [4]

$$I_o = \frac{mV_s + bI_{B4} \tanh^{-1}\left(\frac{mV_s}{I_{B2}R_{21}}\right)}{R_{21}} \quad (1a)$$

$$m = \frac{I_1}{I_2} \quad (1b)$$

$$K_T = \frac{I_{B2}}{bI_{B4}} \quad (1c)$$

$$b = \frac{R_{22}}{R_{21b} + R_{21d}} = \frac{V_o}{V_s} \quad (1d)$$

where  $I_{Bj}$  and  $I_j$  are the bias current of the OTA<sub>j</sub>, and the output current of the OTA<sub>j</sub> provided by the voltage  $V_s$ , respectively. The signal  $v_o$  is the input voltage of the OTA<sub>4</sub>. The resistors  $R_{21b}$  and  $R_{21d}$  connected in series are employed to bypass the remainder current  $I_2 = (1-m)I_1$  for the OTA<sub>2</sub>. Based on the power series expansion principle [4-5], Eq. (1a) can be approximately equal to

$$I_o = mbI_{B4}(1 + K_T)\sin^{-1}\left(\frac{V_s}{I_{B2}R_{21}}\right) \quad (2)$$

To achieve Eq. (2), the parameters  $m = 0.966$  and  $K_T = 0.927$  were chosen through the use of the method in literature [4-5]. The maximum difference between the current  $I_o$  from Eq. (1) and Eq. (2), termed the absolute error, will be equal to 0.92% for the value of  $V_s/I_{B2}R_{21}$  in range of -1 to 1. To minimize this maximum absolute error, the parameters  $m$  and  $K_T$  are adapted by using MATLAB simulation results as shown in Fig. 3, where the values of  $V_s/I_{B2}R_{21}$  are set in range of 0 to 0.707. To simply the parameter setting, we let  $m = 1$ . The plots of the error against the value of  $x = (V_s/I_{B2}R_{21})$  for three different values of  $K_T$ , i.e. 1.180, 1.184, and 1.188, are shown in Fig. 3. It can be seen that the  $K_T = 1.184$  provides the smallest error for  $x = 0.707$ .

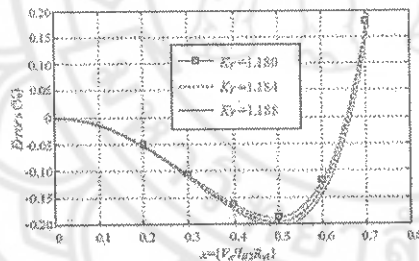
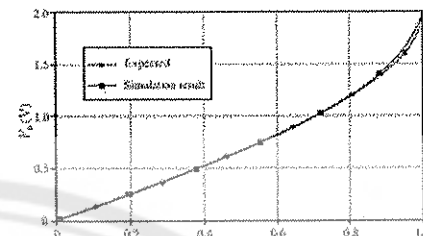
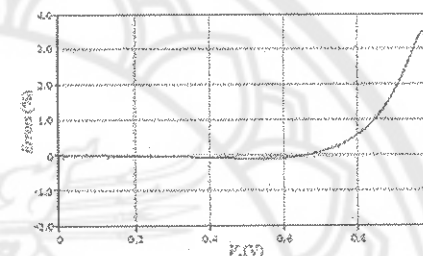


Fig. 3 Plots of the error against the value of  $x = (V_s/I_{B2}R_{21})$ .

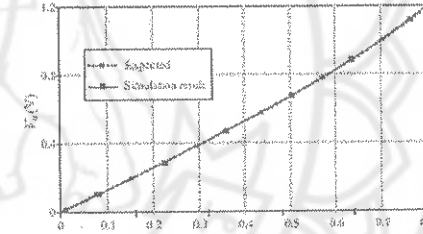
The performances of the circuit in Fig. 2 were studied through the PSPICE simulation and experimental results as shown in Figs. 4-5, where the parameters were set to  $m \approx 1$ ,  $K_T = 1.184$ , and  $R_o = 6.9k\Omega$ .



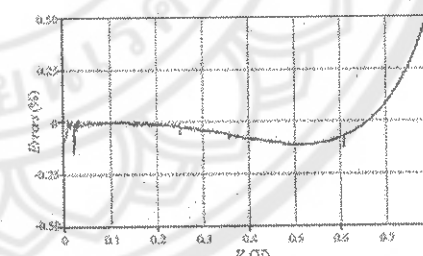
(a) Plots of the output voltage  $V_o$  against the input voltage  $V_s$ .



(b) Plots of the absolute error against the input voltage  $V_s$ .



(c) Results from Fig. 4(a) for the  $V_s$  in range of 0-0.8V.



(d) Results from Fig. 4(b) for the  $V_s$  in range of 0-0.8V.

Fig. 4 PSPICE simulation results of the circuit in Fig. 2.

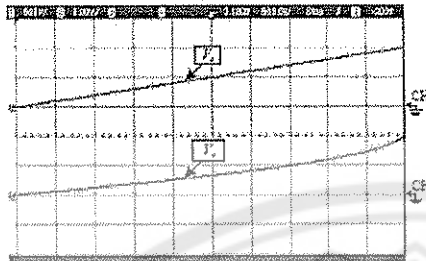


Fig. 5 Experimental results of the circuit in Fig. 2. (vertical scale, CH<sub>1</sub>:  $V_d$ , 500mV/div, CH<sub>2</sub>:  $V_o$ , 1V/div; horizontal scale: 500μs/div)

The simulation results as shown in Fig. 4(a) are closely agreed with the experimental results in Fig. 5. From Figs. 4(b)-4(d), it is evident that the maximum error is less than 0.2%, when the values of the voltage  $V_d$  are in range of 0-0.707V. Consequently, the parameters  $m = 1$  and  $K_T = 1.184$  are adequately suitable to be used in Fig. 2.

### 1.2 Proposed resolver-to-DC converter

Fig. 6 shows the circuit diagram of the proposed resolver-to-DC converter, that consists of the demodulators, absolute detectors, minimum detector, ± unity-gain amplifier, controlled signal logic circuit, and OTA-based inverse-sine function circuit. The proposed technique uses the traditional principle for stimulating the rotor winding of the resolver. The sinusoidal voltage signal  $V_{rc}$  is applied to the rotor winding. The output signals of two stator windings  $V_{s1}$  and  $V_{s2}$  are demodulated using an introduced demodulator in literature [6], then the output voltages  $V_s$  and  $V_c$  of demodulators can be stated as

$$V_s = A \sin(\theta) \quad (3)$$

$$V_c = A \cos(\theta) \quad (4)$$

where  $\theta$  is the resolver shaft angle.  $A$  is referred to the peak amplitude of both signals  $V_s$  and  $V_c$ . The voltages  $V_s$  and  $V_c$  are supplied to the absolute detectors and passed through the minimum detector. Then the output voltage  $V_m$  of the minimum detector can be written as

$$V_m = A \begin{cases} |V_s| & ; V_s < V_c \\ |V_c| & ; V_s > V_c \end{cases} \quad (5a)$$

or

$$V_m = A \begin{cases} |\sin(\theta)| & ; V_s < V_c \\ |\cos(\theta)| & ; V_s > V_c \end{cases} \quad (5b)$$

The voltage  $V_m$  is applied to the following inverse-sine function circuit. In order to obtain the ease of design, we let the amplitudes of the voltages  $V_s$  and  $V_c$  are equal to one. Then the maximum value of  $V_m$  is equal to 0.707V and the output voltage of the inverse-sine function circuit  $V_{oi}$  that can be expressed as

$$V_{oi} = R_o G \begin{cases} \theta & ; 0 < \theta \leq \pi/4 \\ \pi/2 - \theta & ; \pi/4 < \theta \leq \pi/2 \\ \theta - \pi/2 & ; \pi/2 < \theta \leq 3\pi/4 \\ \pi - \theta & ; 3\pi/4 < \theta \leq \pi \\ \theta - \pi & ; \pi < \theta \leq 5\pi/4 \\ 3\pi/2 - \theta & ; 5\pi/4 < \theta \leq 6\pi/4 \\ \theta - 3\pi/2 & ; 6\pi/4 < \theta \leq 7\pi/4 \\ 2\pi - \theta & ; 7\pi/4 < \theta \leq 2\pi \end{cases} \quad (6)$$

where  $G = mbL_D(1+K_T)$  denotes the constant gain of the inverse-sine function circuit. The resistor  $R_o$  is used as a load of the inverse-sine function circuit to convert the output current  $I_o$  into the output voltage  $V_{oi}$ . The digital logic signals  $Q_s$ ,  $Q_c$ , and  $Q_m$  are the output signals of the zero crossing detectors  $C_s$ ,  $C_c$ , and the comparator  $C_m$ , respectively. The voltage  $V_m$  is assigned to the input voltage for the positive and negative unity-gain amplifier controlled by the digital signal  $Q_m$ . The amplifier functions as a triangular-to-sawtooth converter. Thus the output voltage  $V_{os}$  and the logic signal  $Q_{os}$  can, respectively, be expressed as

$$V_{os} = \begin{cases} +V_m & ; Q_{os} = 0 \\ -V_m & ; Q_{os} = 1 \end{cases} \quad (7a)$$

$$V_{os} = R_o G \begin{cases} \theta & ; 0 < \theta \leq \pi/4 \\ \theta - \pi/2 & ; \pi/4 < \theta \leq \pi/2 \\ \theta - \pi/2 & ; \pi/2 < \theta \leq 3\pi/4 \\ \theta - \pi & ; 3\pi/4 < \theta \leq \pi \\ \theta - \pi & ; \pi < \theta \leq 3\pi/4 \\ \theta - 3\pi/2 & ; 3\pi/4 < \theta \leq 6\pi/4 \\ \theta - 3\pi/2 & ; 6\pi/4 < \theta \leq 7\pi/4 \\ \theta - 2\pi & ; 7\pi/4 < \theta \leq 2\pi \end{cases} \quad (7b)$$

$$Q_{os} = Q_s \oplus Q_c \oplus Q_m \quad (8)$$

From Eq. (7b), it can be seen that the relation between the output  $V_{os}$  and the resolver shaft angle  $\theta$  is linear in each condition. The digital logic signals  $Q_s$ ,  $Q_c$ , and  $Q_m$  are related with the shape angle  $\theta$  as shown in Table 1.

Table 1 Relations between the logic signals  $Q_s$ ,  $Q_c$ , and  $Q_m$  and the shape angle  $\theta$ .

Range of $\theta$	$Q_s$	$Q_c$	$Q_m$
$0 < \theta \leq \pi/4$	0	0	0
$\pi/4 < \theta \leq \pi/2$	0	0	1
$\pi/2 < \theta \leq 3\pi/4$	0	1	1
$3\pi/4 < \theta \leq \pi$	0	1	0
$\pi < \theta \leq 5\pi/4$	1	1	0
$5\pi/4 < \theta \leq 6\pi/4$	1	1	1
$6\pi/4 < \theta \leq 7\pi/4$	1	0	1
$7\pi/4 < \theta \leq 2\pi$	1	0	0

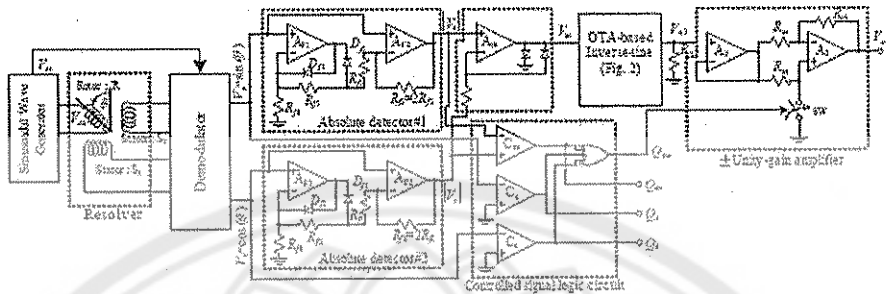


Fig. 6 Proposed resolver-to-DC converter.

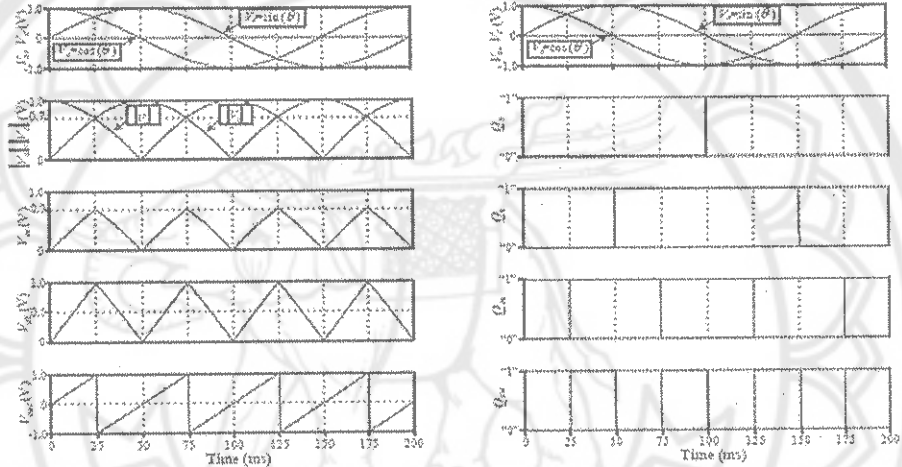


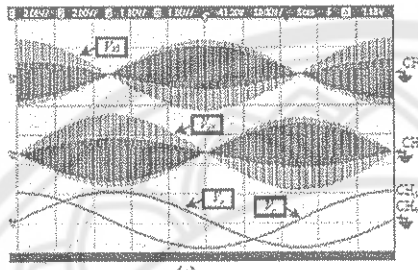
Fig. 7 PSPICE simulation results of the proposed resolver-to-DC converter.

### 3. PSPICE SIMULATION AND EXPERIMENTAL RESULTS

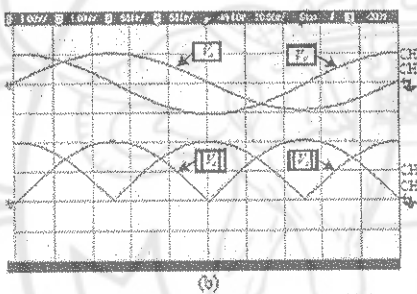
The performances of the proposed circuit as shown in Fig. 6 were studied though the PSPICE simulation program and experiment. The LM358 op amps are employed to function as the amplifier and absolute detectors. The LM311 and CD4066BC devices form as the comparator and analog switch, respectively. The supply voltages were set to  $\pm 5$ V. The circuit parameters  $I_{M1} = 500\mu A$ ,  $I_{M2} = 100\mu A$ ,  $R_{A1} = 10k\Omega$ ,  $R_s = 6.9k\Omega$ , and  $R_{D1} = R_{D2} = 2R_{A1} = 10k\Omega$  were chosen. The procedures to determine the values of  $R_{A2}$ ,  $R_{D3}$ , and  $I_{B4}$  can be discussed as follows. In order to obtain the parameter  $m \approx 1$ , the resistances  $R_{A2}$  and  $R_{D3}$  in Fig. 2 should be large, thus we design such that  $R_{A2} = 80k\Omega$  and  $R_{D3} = 20k\Omega$ . From Eq. (1d), the parameter  $b$  will be equal to 0.2. In

practice, the voltage  $v_o$  is less than the calculated value by using Eq. (1d) because of the parasitic input resistance of the OTA<sub>4</sub>. To alleviate this limitation, we let the conditions as  $bI_{A4}\text{tanh}^{-1}(mV/J_{D2}R_{A4}) = (J_{D2}/K_T)\text{tanh}^{-1}(mV/J_{D2}R_{A4}) = I_{A4}$ . Substituting  $m = 1$ ,  $I_{D2} = 100\mu A$ ,  $K_T = 1.184$ , and  $V/J_{D2}R_{A4} = 0.707$  in this condition, the bias current  $I_{B4} = 1.3mA$  will be achieved. One method to implement the simple OTA based on 2N3904 and 2N3906 transistors has been described in [7]. To simply the experiment, we use the commercially available CA3289 device to construct the OTA-based inverse-sine function circuit in Fig. 2. The synchro resolver, Seijo Denki 101-4100, driven by a variable speed dc motor was used. The demodulator can be realized by using multiplier and low-pass filter circuits [6]. The peak amplitudes of the voltage signals  $V_s$  and  $V_o$  and the value of  $R_oG$  in Eq. (7b) were set to 1V and  $\pi/4$ , respectively.

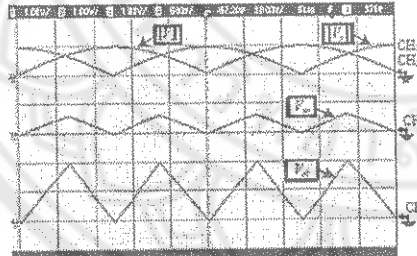
The simulation and experimental results of the proposed converter are shown in Figs. 7~8, respectively. Fig. 7 shows the signals for 5Hz-sinusoidal voltages  $V_s$  and  $V_r$  of amplitude 1V. Fig. 8 shows the measured results for a 300-rpm motor speed. There are apparent that the results of the proposed method are in close agreement with the expected values.



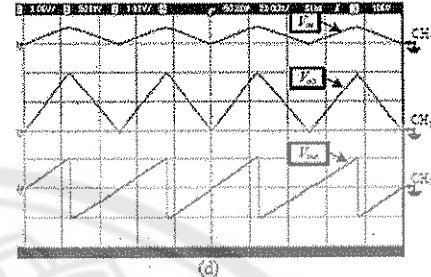
(a)  
(vertical scale, CH<sub>1</sub>  $V_s$ : 2V/div, CH<sub>2</sub>  $V_r$ : 2V/div,  
CH<sub>3</sub>  $V_a$ : 1V/div, CH<sub>4</sub>  $V_d$ : 1V/div;  
horizontal scale: 20ms/div).



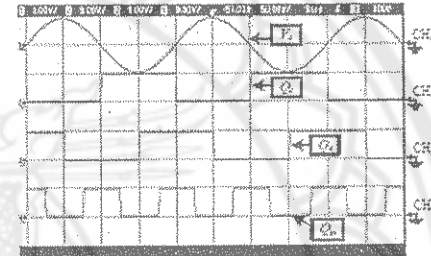
(b)  
(vertical scale, CH<sub>1</sub>  $I_a$ : 1V/div, CH<sub>2</sub>  $I_d$ : 1V/div,  
CH<sub>3</sub>  $|V_a|$ : 500mV/div, CH<sub>4</sub>  $|V_d|$ : 500mV/div;  
horizontal scale: 20ms/div).



(c)  
(vertical scale, CH<sub>1</sub>  $|I_a|$ : 1V/div, CH<sub>2</sub>  $|I_d|$ : 1V/div,  
CH<sub>3</sub>  $V_m$ : 1V/div, CH<sub>4</sub>  $V_{ad}$ : 500mV/div;  
horizontal scale: 20ms/div).



(d)  
(vertical scale, CH<sub>1</sub>  $V_s$ : 1V/div, CH<sub>2</sub>  $V_r$ : 500mV/div,  
CH<sub>3</sub>  $V_m$ : 1V/div; horizontal scale: 20ms/div).



(e)  
(vertical scale, CH<sub>1</sub>  $I_a$ : 1V/div, CH<sub>2</sub>  $I_d$ : 9V/div,  
CH<sub>3</sub>  $|Q_a|$ : 9V/div, CH<sub>4</sub>  $|Q_d|$ : 9V/div;  
horizontal scale: 50ms/div).

Fig. 8 Experimental results of the proposed circuit.

#### 4. CONCLUSION

This paper has described the accurate resolver-to-DC converter. The realization method utilizes the OTA-based inverse-sine function circuit to improve the accuracy of the previous approach in literature [5]. The maximum absolute error of about 0.195% can be obtained. PSPICE simulation and experimental results confirming the circuit performances have also been demonstrated.

#### ACKNOWLEDGMENTS

The authors would like to express sincere gratitude to the faculty of Science, Naresuan University, Thailand, for the financial support of this work.

## REFERENCES

- [1] D. C. Alhorn, D. E. Howard, and D. A. Smith, "Resolver to 360° Linear Analog Converter and method," U.S. Patent 6 104 328, 2000.
- [2] M. Benammar, L. Ben-Brahim, and M.A. Alhamadi, "A Novel Resolver-to-360° Linearized Converter" *IEEE Sensors Journal*, Vol. 4, No. 1, pp.96-101, Feb. 2004.
- [3] M. Benammar, L. Ben-Brahim, and M.A. Alhamadi, "A High Precision Resolver-to-DC Converter" *IEEE Trans. Instrum. Meas.*, Vol. 54, No. 6, pp.2289-2296, Dec. 2005.
- [4] V. Riewnija and A. Kaewpoonsuk, "OTA-based Sine-to-Triangular Wave Converter", *Circuits Systems Signal Processing*, Vol. 25, No. 6, pp. 753-765, 2006.
- [5] A. Kaewpoonsuk, T. Kamst, W. patchmaneechumka, and V. Riewnija, "A Full-Range- 360° Resolver-to-DC Converter," ICAS-2007, COEX, Seoul, Korea, pp.802-805, Oct. 17-20, 2007
- [6] The Moog Components Group engineering staff, *Synchro and Resolver Engineering Handbook* [Online]. Available:[www.polysci.com/Resolver/Resolver.html](http://www.polysci.com/Resolver/Resolver.html).2003.
- [7] E. W. Greeneich, *Analog Integrated Circuits*, Chapman&Hall, 1997, pp.184.

## ภาควิชานวัตฯ

### ประวัติผู้วิจัย

นายอนุชา แก้วพูลสุข เกิดเมื่อวันที่ 12 กุมภาพันธ์ พ.ศ. 2517 จังหวัดพิษณุโลก สำเร็จการศึกษาปริญญาวิทยาศาสตรบัณฑิต สาขาฟิสิกส์-คอมพิวเตอร์และอิเล็กทรอนิกส์ จากมหาวิทยาลัยนเรศวร ในปีการศึกษา 2539 สำเร็จการศึกษาปริญญาวิศวกรรมศาสตรมหาบัณฑิต สาขาวิศวกรรมไฟฟ้า จากสถาบันเทคโนโลยีพระจอมเกล้าเจ้าคุณทหารลาดกระบัง ในปี พ.ศ. 2544 และสำเร็จการศึกษาปริญญาวิศวกรรมศาสตรดุษฎีบัณฑิต สาขาวิศวกรรมไฟฟ้า จากสถาบันเทคโนโลยีพระจอมเกล้าเจ้าคุณทหารลาดกระบัง ในปี พ.ศ. 2551 ปัจจุบันทำงานเป็นพนักงานสายวิชาการ ตำแหน่งอาจารย์ ภาควิชาฟิสิกส์ คณะวิทยาศาสตร์ มหาวิทยาลัยนเรศวร

